



Vendo o universo através dos neutrinos



Gustavo F. S. Alves





Vendo o universo através dos ν eutrinos



Gustavo F. S. Alves



O caminho para descobrir os neutrinos

O caminho para descobrir os neutrinos



O caminho para chegar ao Modelo Padrão

O modelo padrão

A melhor descrição da natureza que temos até o presente momento.

Three generations of matter (fermions)				Higgs
	I	II	III	
mass →	2.4 MeV/c ²	1.27 GeV/c ²	171.2 GeV/c ²	
charge →	2/3	2/3	2/3	
spin →	1/2	1/2	1/2	
name →	u up	c charm	t top	γ photon
Quarks				
mass →	4.8 MeV/c ²	104 MeV/c ²	4.2 GeV/c ²	
charge →	-1/3	-1/3	-1/3	
spin →	1/2	1/2	1/2	
name →	d down	s strange	b bottom	g gluon
Leptons				
mass →	<2.2 eV/c ²	<0.17 MeV/c ²	<15.3 MeV/c ²	
charge →	0	0	0	
spin →	1/2	1/2	1/2	
name →	ν _e electron neutrino	ν _μ muon neutrino	ν _τ tau neutrino	Z ⁰ Z boson
Gauge bosons				
mass →	0.511 MeV/c ²	105.7 MeV/c ²	1.777 GeV/c ²	
charge →	-1	-1	-1	
spin →	1/2	1/2	1/2	
name →	e electron	μ muon	τ tau	W [±] W boson
Higgs				
mass →	≈ 125 GeV		0	
charge →	0		0	
spin →	0		1	
name →	H		Higgs	

Um pouquinho de história: O caminho para descobrir os neutrinos



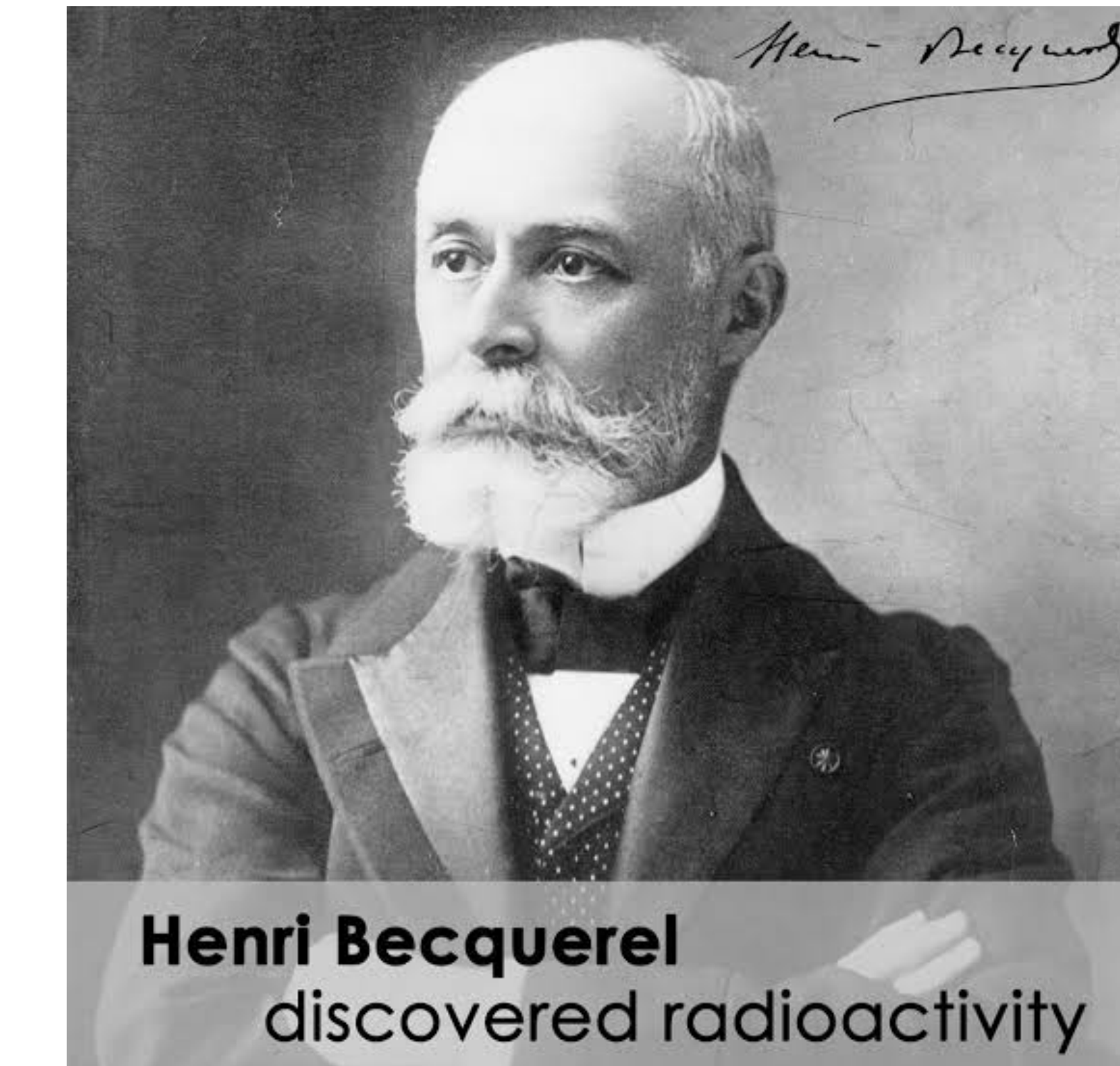
Um pouquinho de história: O caminho para descobrir os neutrinos



Descoberta da radioatividade

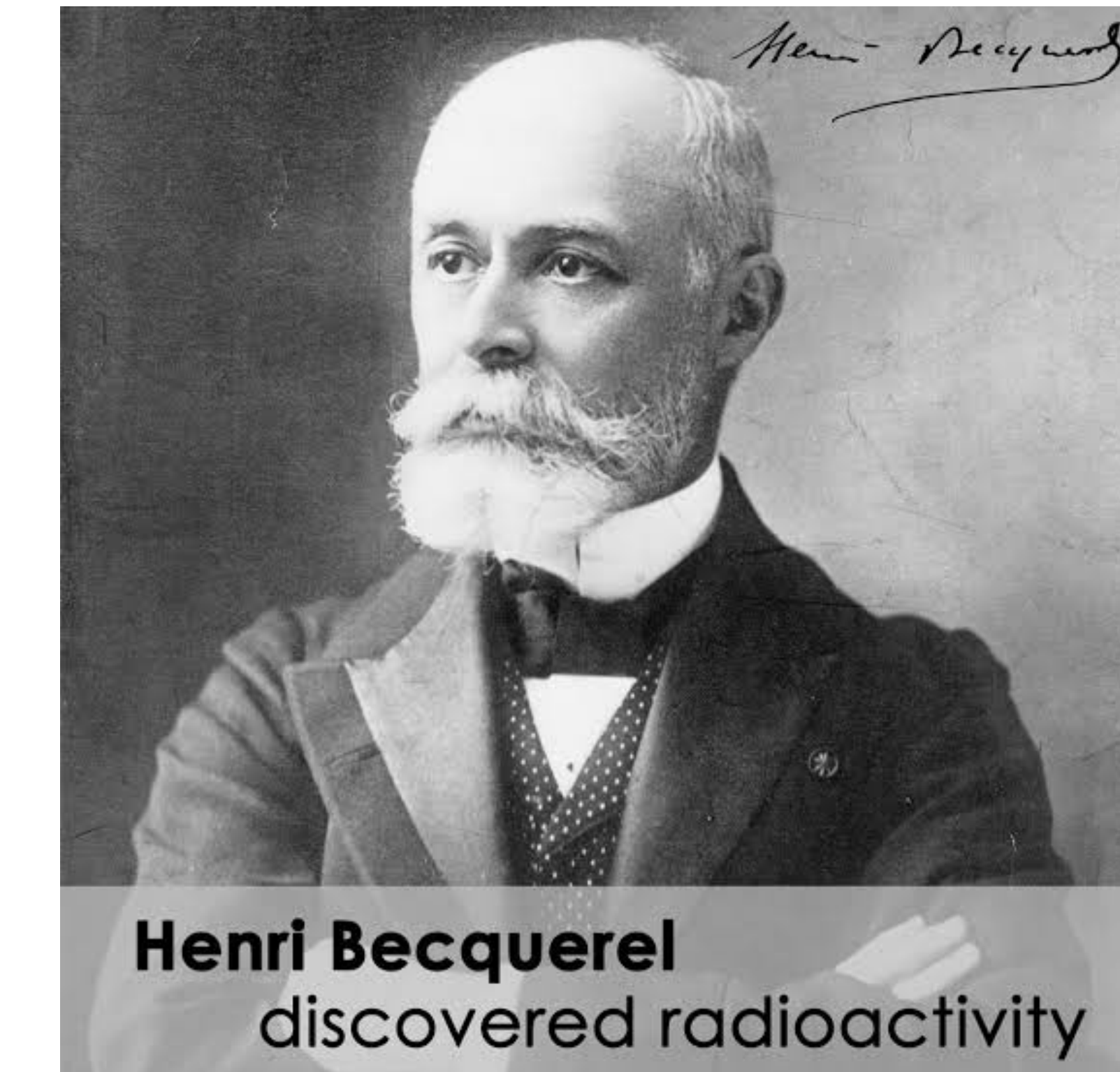
To test this idea (which turned out to be wrong), Becquerel wrapped photographic plates in black paper so that sunlight could not reach them. He then placed the crystals of uranium salt on top of the wrapped plates, and put the whole setup outside in the sun. When he developed the plates, he saw an outline of the crystals. He also placed objects such as coins or cut out metal shapes between the crystals and the photographic plate, and found that he could produce outlines of those shapes on the photographic plates.

Fonte: APS news: Becquerel discovers radioactivity



Descoberta da radioatividade

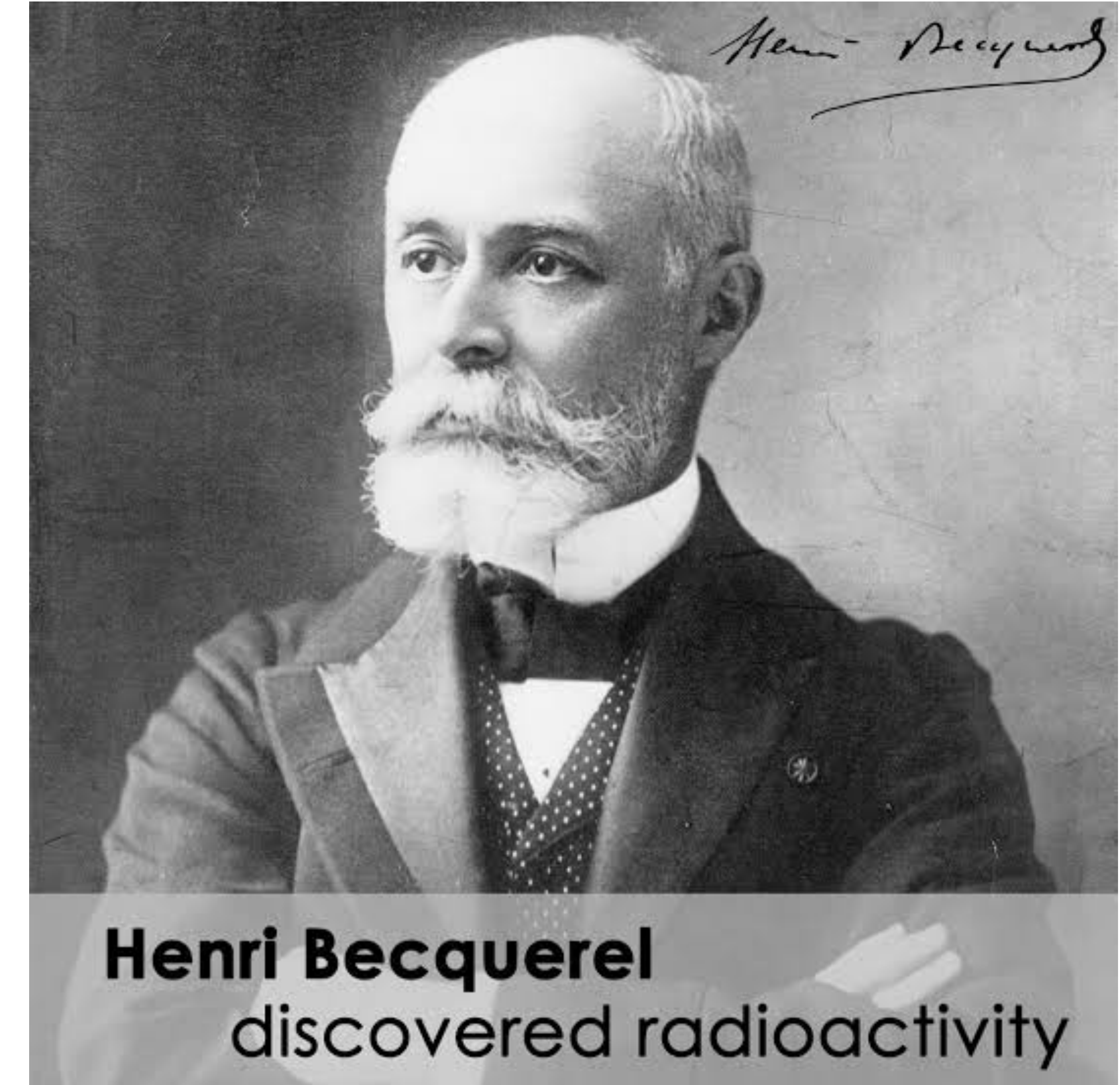
To test this idea (which turned out to be wrong), Becquerel wrapped photographic plates in black paper so that sunlight could not reach them. He then placed the crystals of uranium salt on top of the wrapped plates, and put the whole setup outside in the sun. When he developed the plates, he saw an outline of the crystals. He also placed objects such as coins or cut out metal shapes between the crystals and the photographic plate, and found that he could produce outlines of those shapes on the photographic plates.



Henri Becquerel
discovered radioactivity

Descoberta da radioatividade

Como vocês verão
todo caminho para
uma descoberta é
altamente não linear



Henri Becquerel
discovered radioactivity

Entendendo a radioatividade

Marie and Pierre Curie

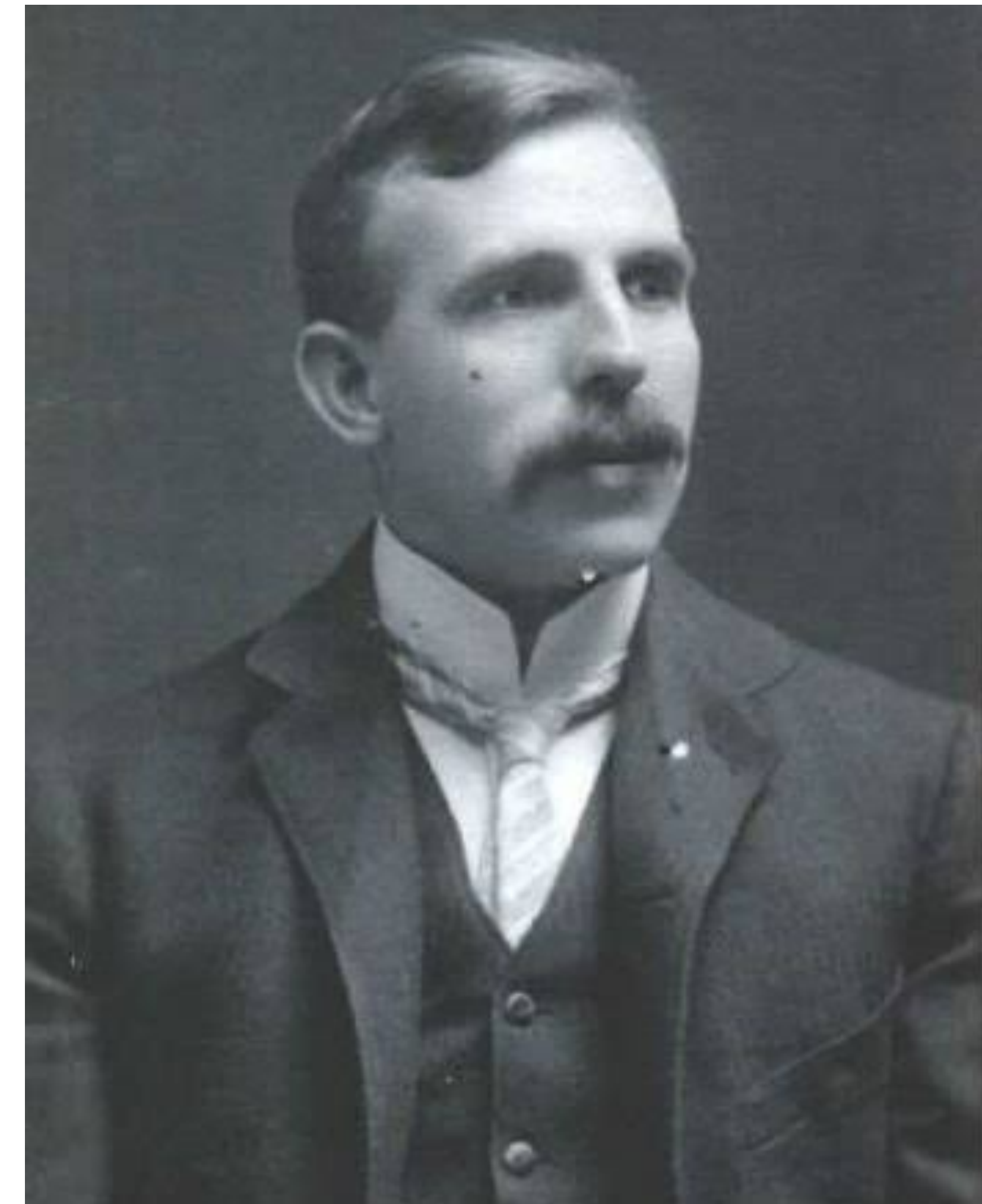
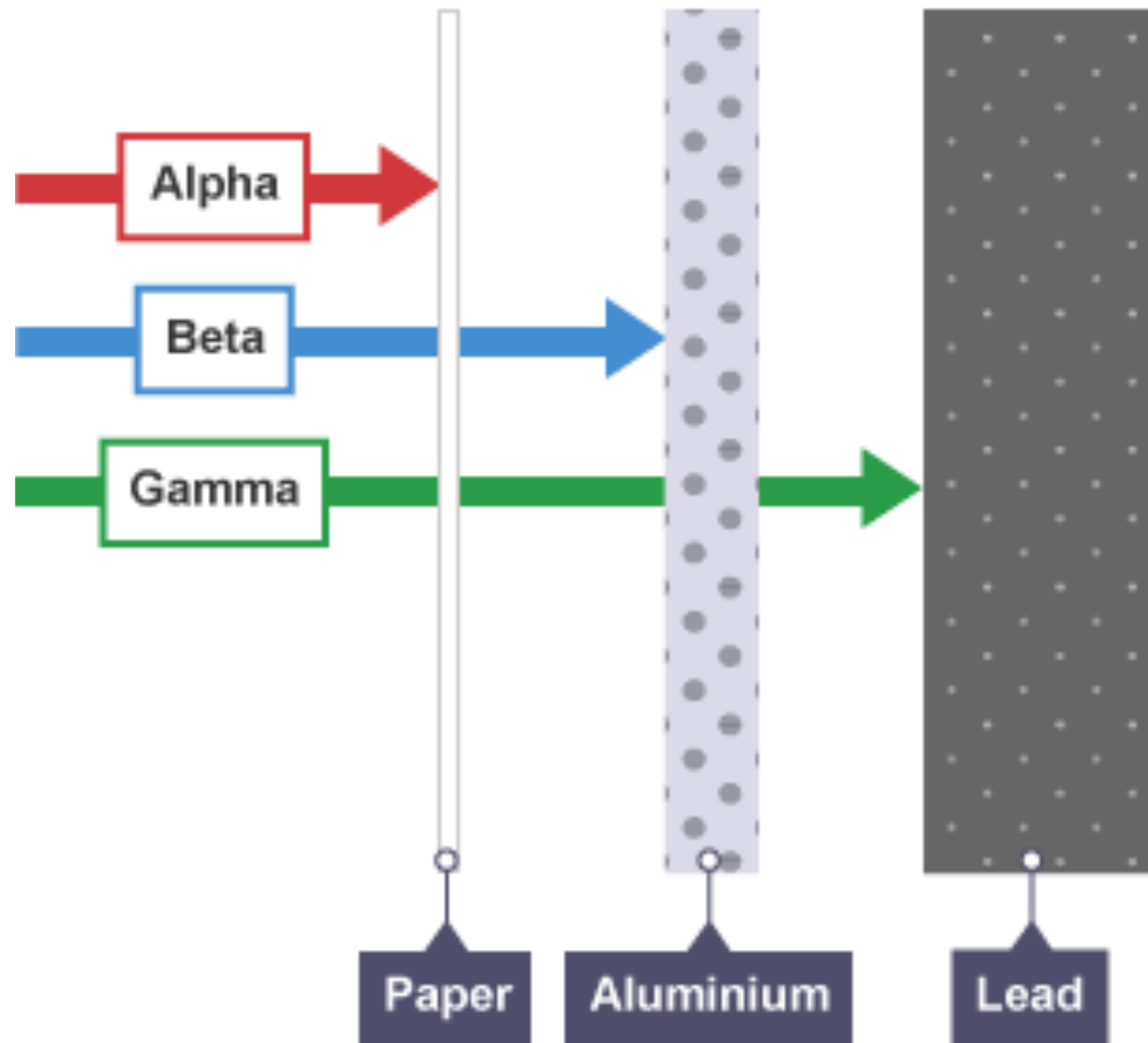
**Descoberta de novos
elementos radioativos**

incluso o rádio



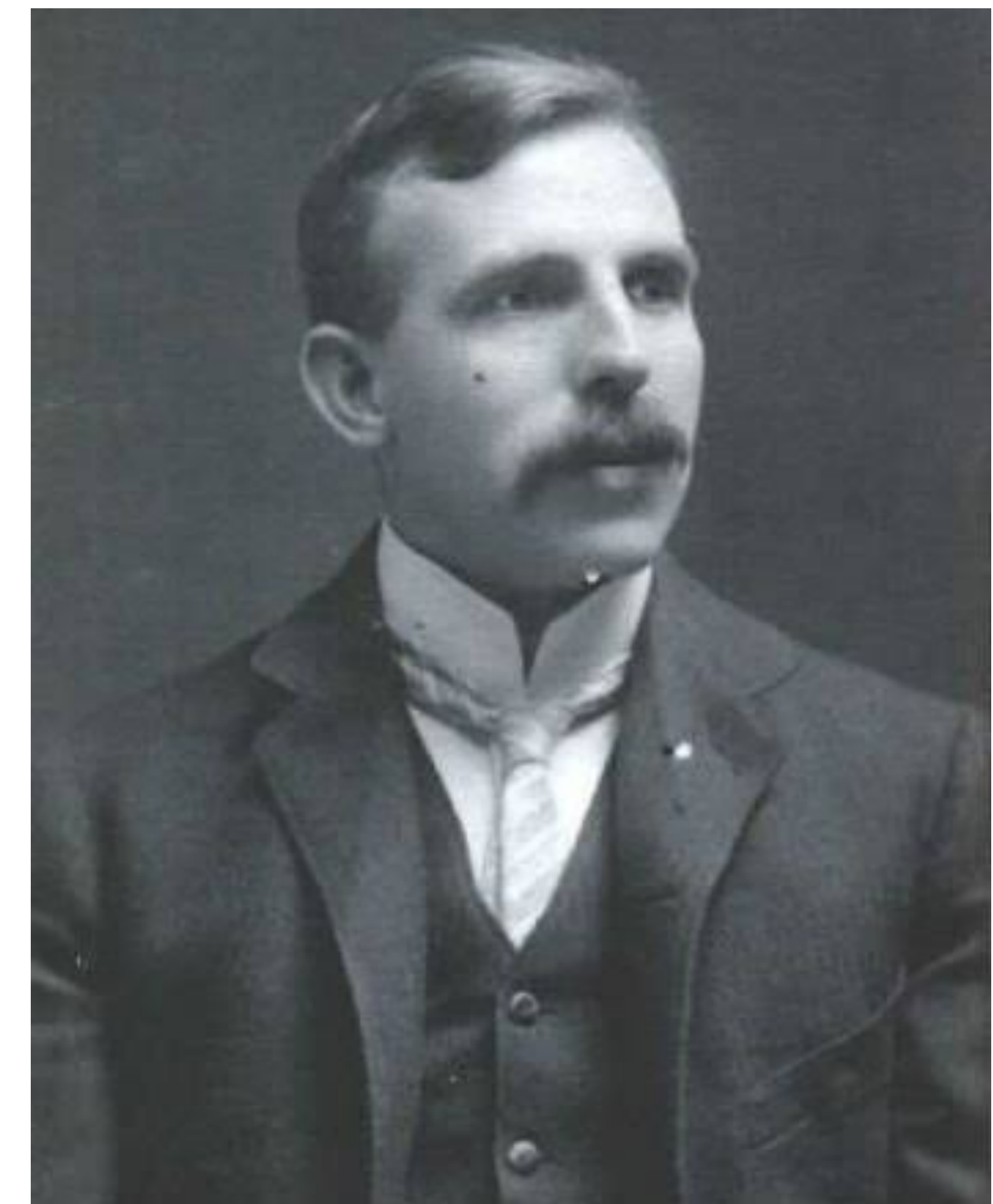
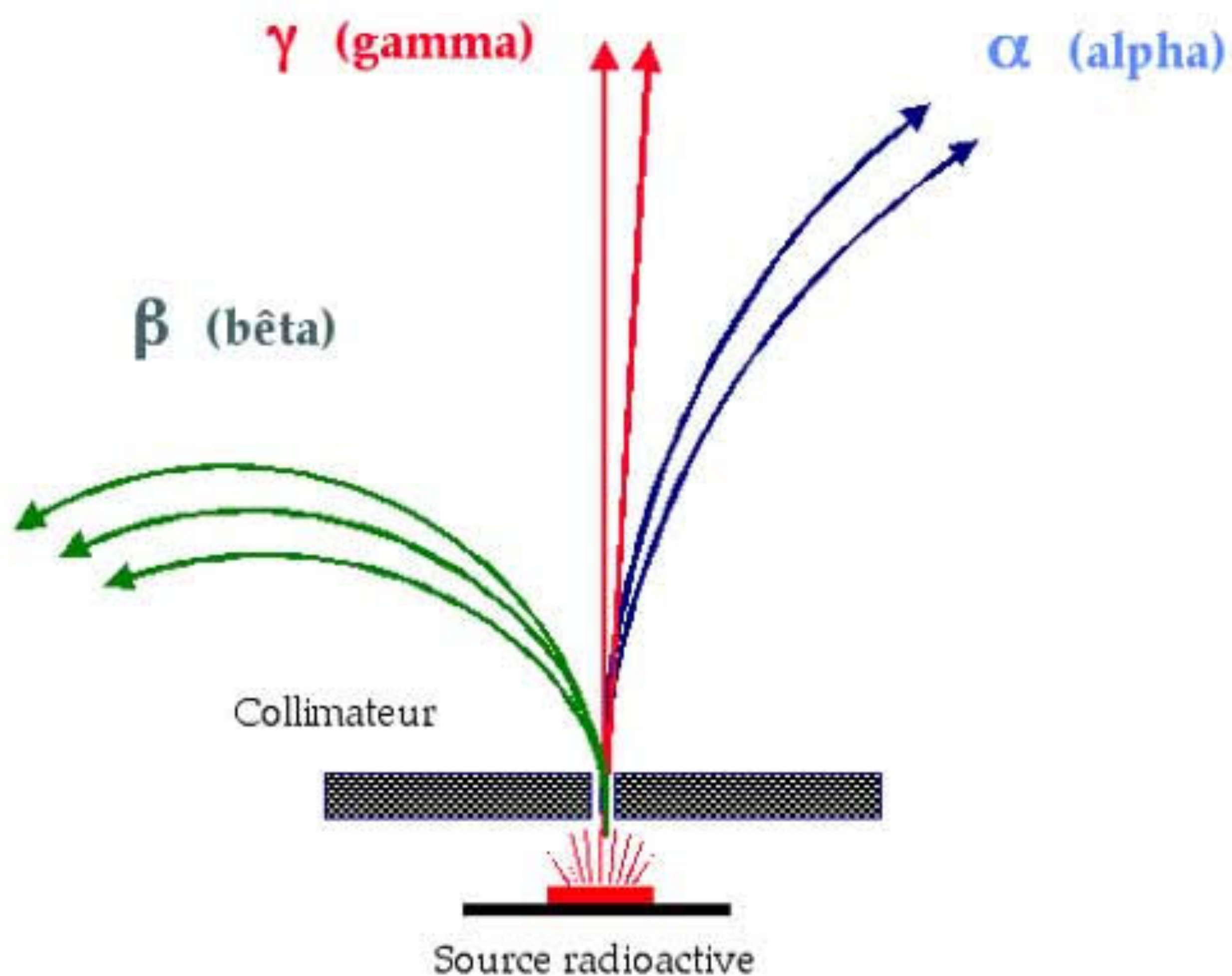
Tipos de radiação

Rutherford



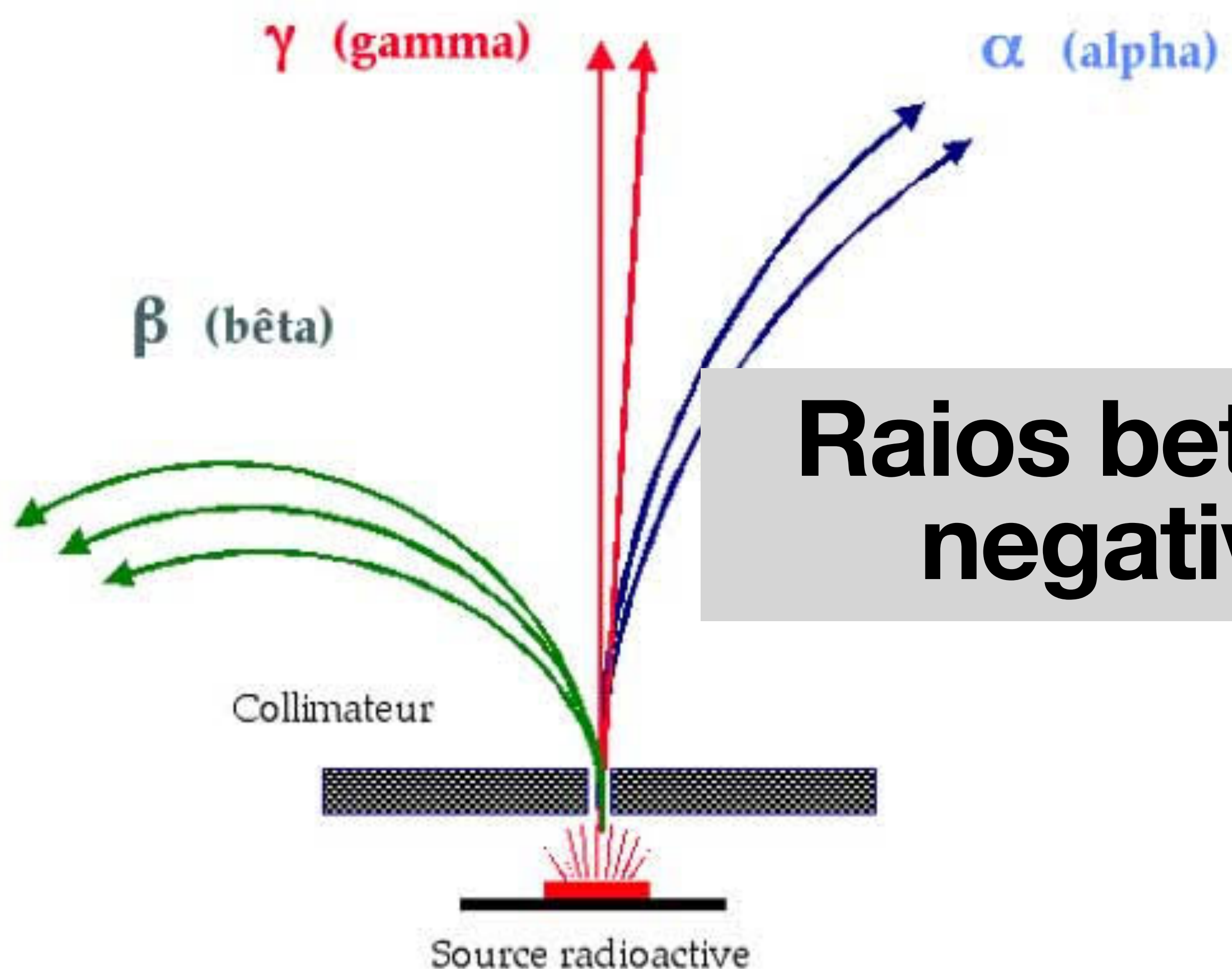
Tipos de radiação

Rutherford



Tipos de radiação

Rutherford



Raios beta são negativos



“Unificando partículas”

“Unificando partículas”

J. J. Thomson

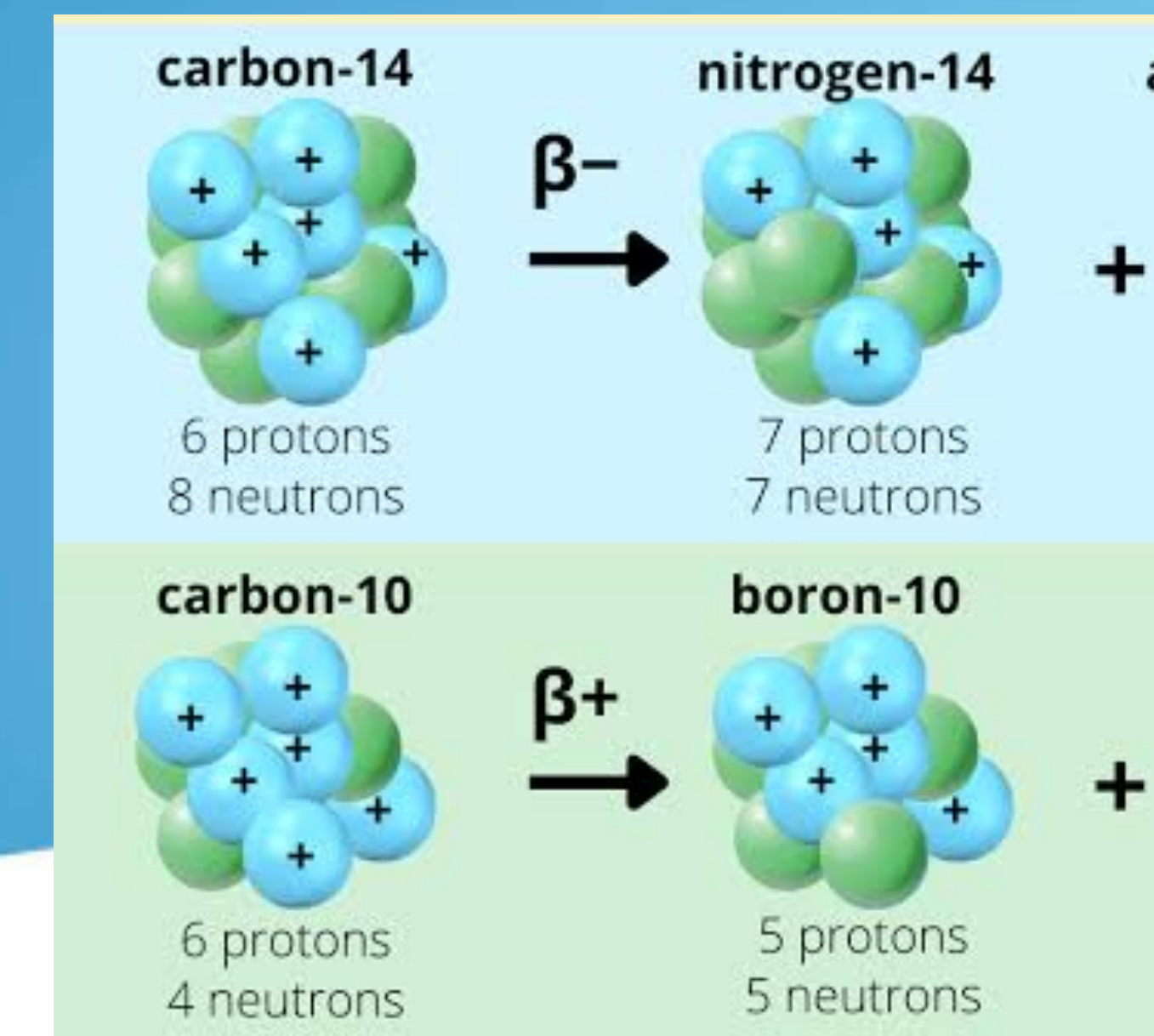


Raios beta



Raios catódicos
(elétrons)

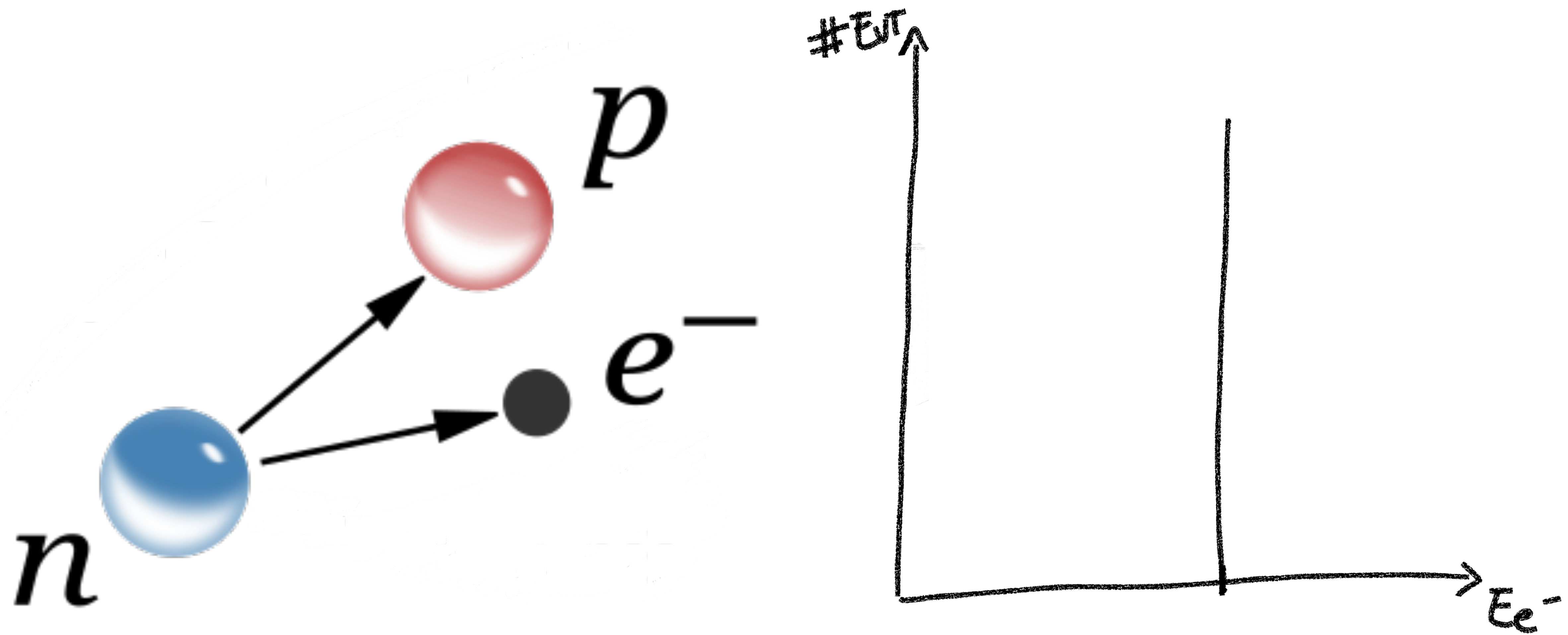
Parada número dois



O decaimento beta

O decaimento beta

Conservação de energia



O decaimento beta

Conservação de energia

#EUR↑

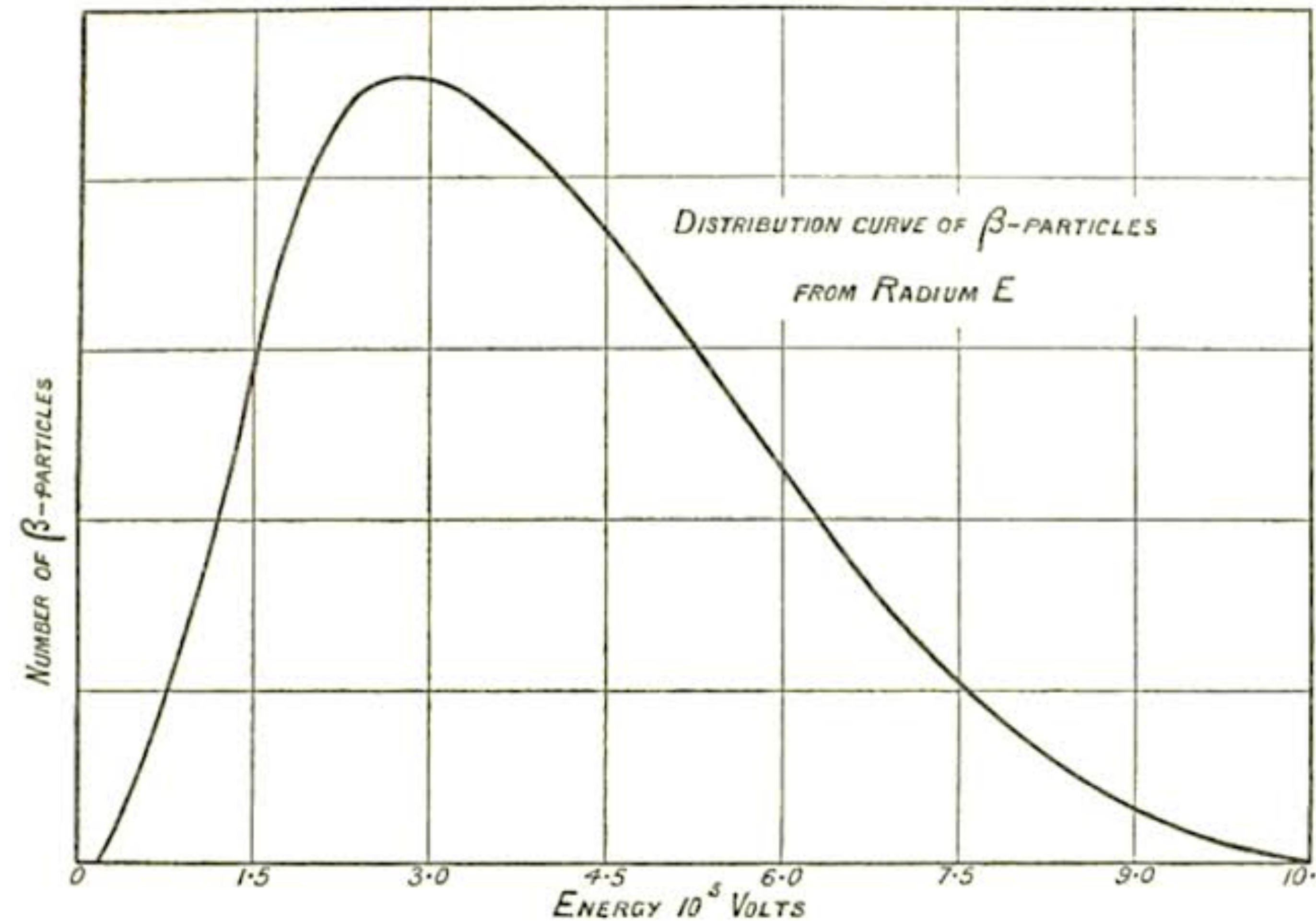
Exercício: calcule a energia das partículas produzidas em decaimento de dois corpos utilizando cinemática relativística.

n

$\rightarrow e^-$

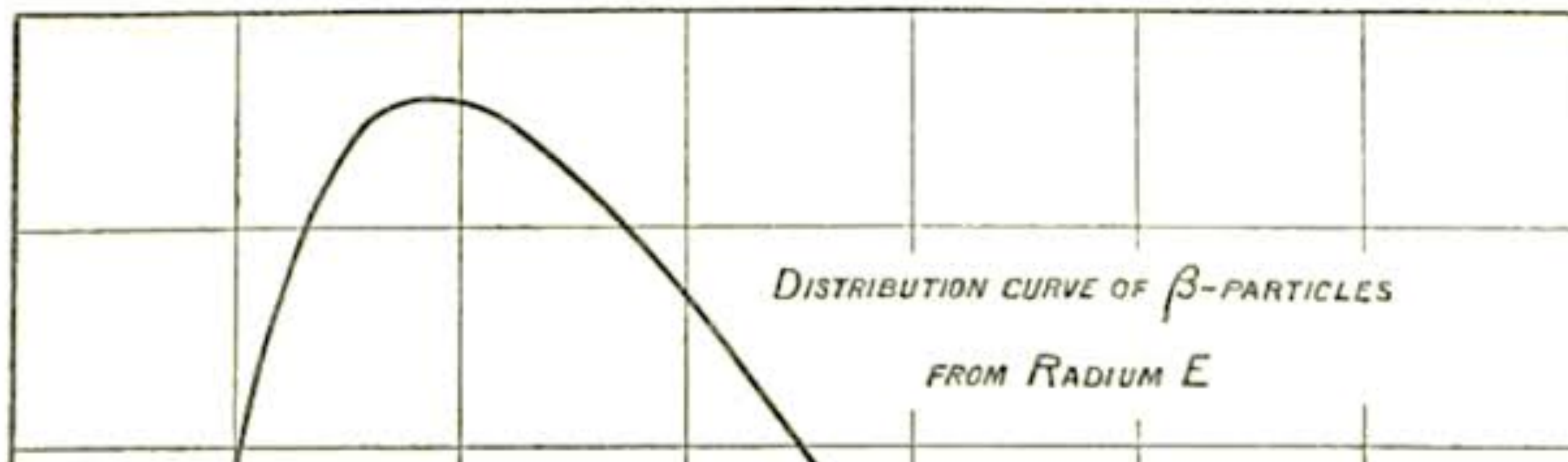
O decaimento beta

Observação

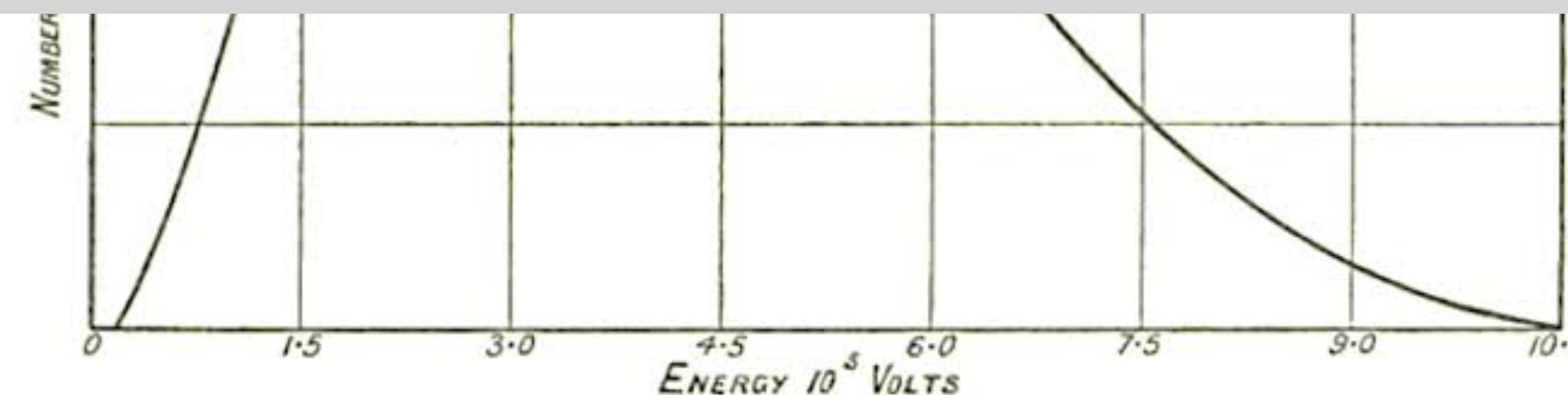


O decaimento beta

Observação



Foram mais de 20 anos até
chegarem nessa conclusão!



Do lado da teoria: Conservação de energia sob ataque!

“As regards the occurrence of transitions, which is the essential feature of the quantum theory, we abandon on the other hand any attempt at a causal connection between the transitions in distant atoms, and especially a direct application of the principles of energy and momentum so characteristic for the classical theories.”

(Bohr, Kramers and Slater).

Do lado da teoria: Conservação de energia sob ataque!

“It is impossible to believe that if science of the present time had not been saturated with the idea of conservation of energy, these complications would be avoided by saying that there is no exact conservation in such cases.”

(Darwin, Sommerfeld)

“At present I have high hopes for solving the radiation problem, and that without light-quanta... One must renounce the energy principle in its present form.”

(A. Einstein)

Do lado da teoria: Conservação de energia sob ataque!

“It is impossible to believe that if science of the present time had not been saturated with the idea of conservation of energy, these complications would be avoided by saying that there is no exact conservation in such cases.”

(Darwin, Sommerfeld)

Três dias depois ele escreveu outra carta falando que não funcionou

Os defensores da conservação de energia

“I should prefer to keep rigorous conservation of energy at all costs.”

(Dirac)

“I have hearded that you [Bohr] are on the warpath and wanting to upset the Conservation of Energy both microscopically and macroscopically. I will wait and see before expressing an opinion but I always feel there are more things in Heaven and Earth than are dreamt of in our philosophy.”

(Rutherford)

Os defensores da conservação de energia

“I must say that your paper has given me little satisfaction... I do not exactly mean that this is unpermissible but it is a risky business.. Let the stars radiate in piece”

(Pauli)

Um remédio desesperado: O neutrino

Offener Brief an die Gruppe der Radioaktiviten bei der
Gauvereins-Tagung zu Tübingen.

Abschrift

Physikalisches Institut
der Eidg. Technischen Hochschule
Zürich

Zürich, 4. Dez. 1930
Gloriastrasse

Liebe Radioaktive Damen und Herren,

Wie der Ueberbringer dieser Zeilen, den ich huldvollst
ansuhören bitte, Ihnen des näheren auseinandersetzen wird, bin ich
angesichts der "falschen" Statistik der N - und Li-6 Kerne, sowie
des kontinuierlichen beta-Spektrums auf einen verzweifelten Ausweg
verfallen um den "Wechselsatz" (1) der Statistik und den Energiesatz
zu retten. Nämlich die Möglichkeit, es könnten elektrisch neutrale
Teilchen, die ich Neutronen nennen will, in den Kernen existieren,
welche den Spin $1/2$ haben und das Ausschliessungsprinzip befolgen und
sich von Lichtquanten wusserdem noch dadurch unterscheiden, dass sie
nicht mit Lichtgeschwindigkeit laufen. Die Masse der Neutronen
sollte von derselben Grossenordnung wie die Elektronenmasse sein und
jedenfalls nicht grösser als $0,01$ Protonenmasse... Das kontinuierliche
beta-Spektrum wäre dann verständlich unter der Annahme, dass beim
beta-Zerfall mit dem Elektron jeweils noch ein Neutron emittiert
wird, derart, dass die Summe der Energien von Neutron und Elektron
konstant ist.

Nun handelt es sich weiter darum, welche Kräfte auf die
Neutronen wirken. Das wahrscheinlichste Modell für das Neutron scheint
mir aus wellenmechanischen Gründen (näheres weiss der Ueberbringer
dieser Zeilen) dieses zu sein, dass das ruhende Neutron ein
magnetischer Dipol von einem gewissen Moment ist. Die Experimente

Um remédio desesperado: O neutrino

Dear Radioactive Ladies and Gentlemen,

As the bearer of these lines, to whom I graciously ask you to listen, will explain to you in more detail, because of the "wrong" statistics of the N- and Li-6 nuclei and the continuous beta spectrum, I have hit upon a desperate remedy to save the "exchange theorem" (1) of statistics and the law of conservation of energy. Namely, the possibility that in the nuclei there could exist electrically neutral particles, which I will call neutrons, that have spin 1/2 and obey the exclusion principle and that further differ from light quanta in that they do not travel with the velocity of light. The mass of the neutrons should be of the same order of magnitude as the electron mass and in any event not larger than 0.01 proton mass. - The continuous beta spectrum would then make sense with the assumption that in beta decay, in addition to the electron, a neutron is emitted such that the sum of the energies of neutron and electron is constant.

But so far I do not dare to publish anything about this idea, and trustfully turn first to you, dear radioactive people, with the question of how likely it is to find experimental evidence for such a neutron if it would have the same or perhaps a 10 times larger ability to get through [material] than a gamma-ray.

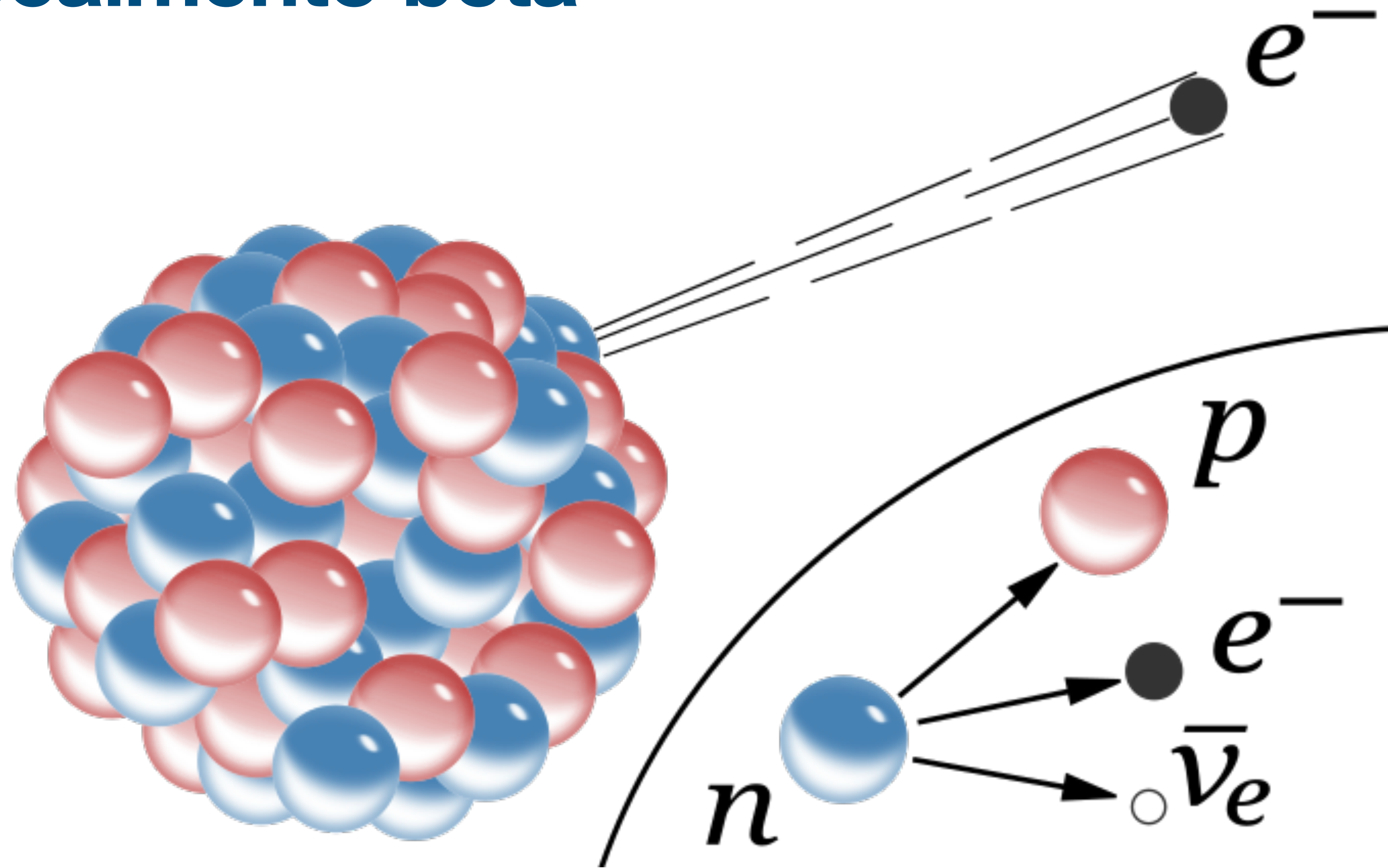
Um remédio desesperado: O neutrino

Dear Radioactive Ladies and Gentlemen,

As the bearer of these lines, to whom I graciously ask you to listen, will explain to you in more detail, because of the "wrong" statistics of the N- and Li-6 nuclei and the continuous beta spectrum, I have hit upon a desperate remedy to save the "exchange theorem" (1) of statistics and the law of conservation of energy. Namely, the possibility that in the nuclei there could exist electrically neutral particles, which I will call neutrons, that have spin 1/2 and obey the exclusion principle and that further differ from light quanta in that they do not travel with the velocity of light. The mass of the neutrons should be of the same order of magnitude as the electron mass and in any event not larger than 0.01 proton mass. - The continuous beta spectrum would then make sense with the assumption that in beta decay, in addition to the electron, a neutron is emitted such that the sum of the energies of neutron and electron is constant.

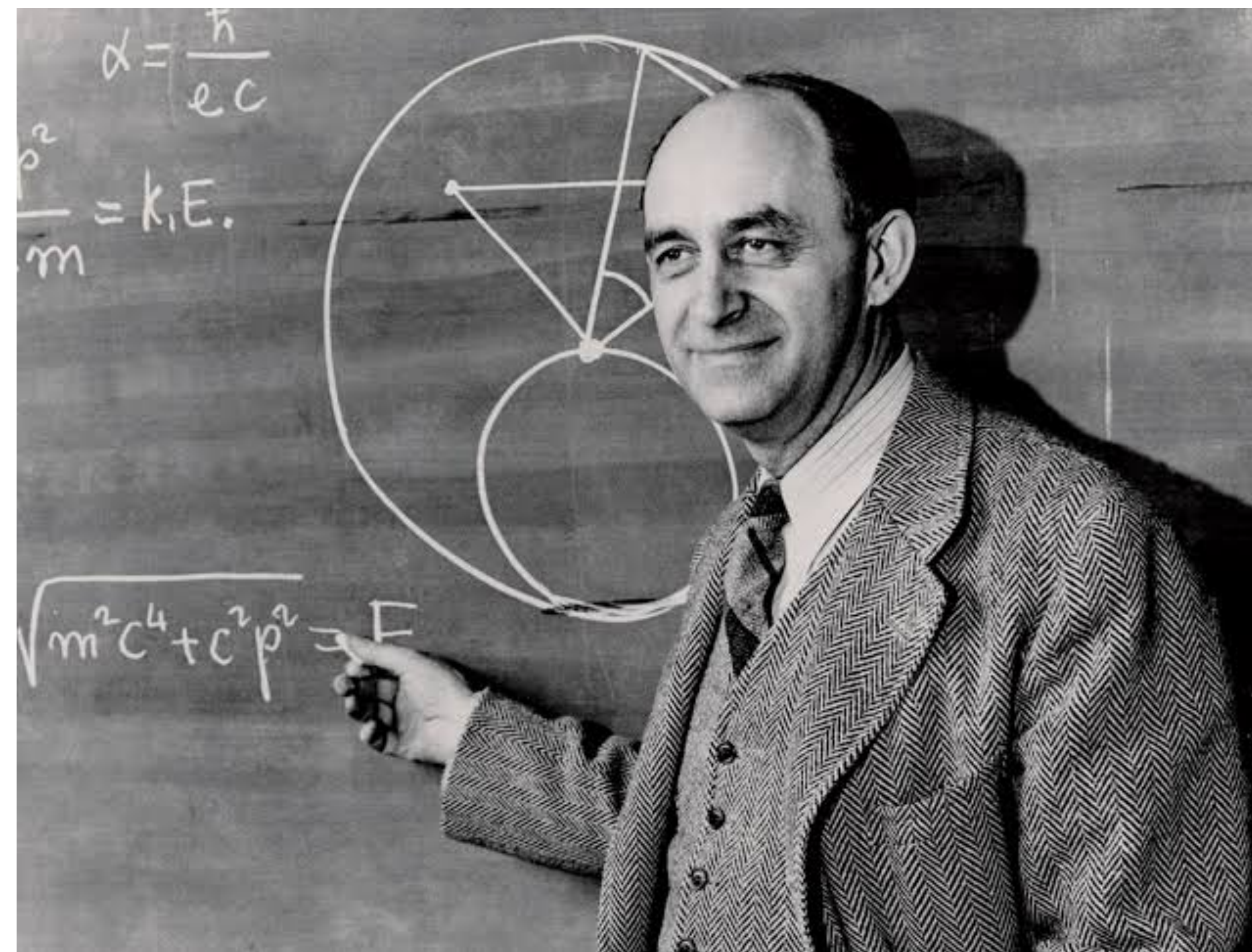
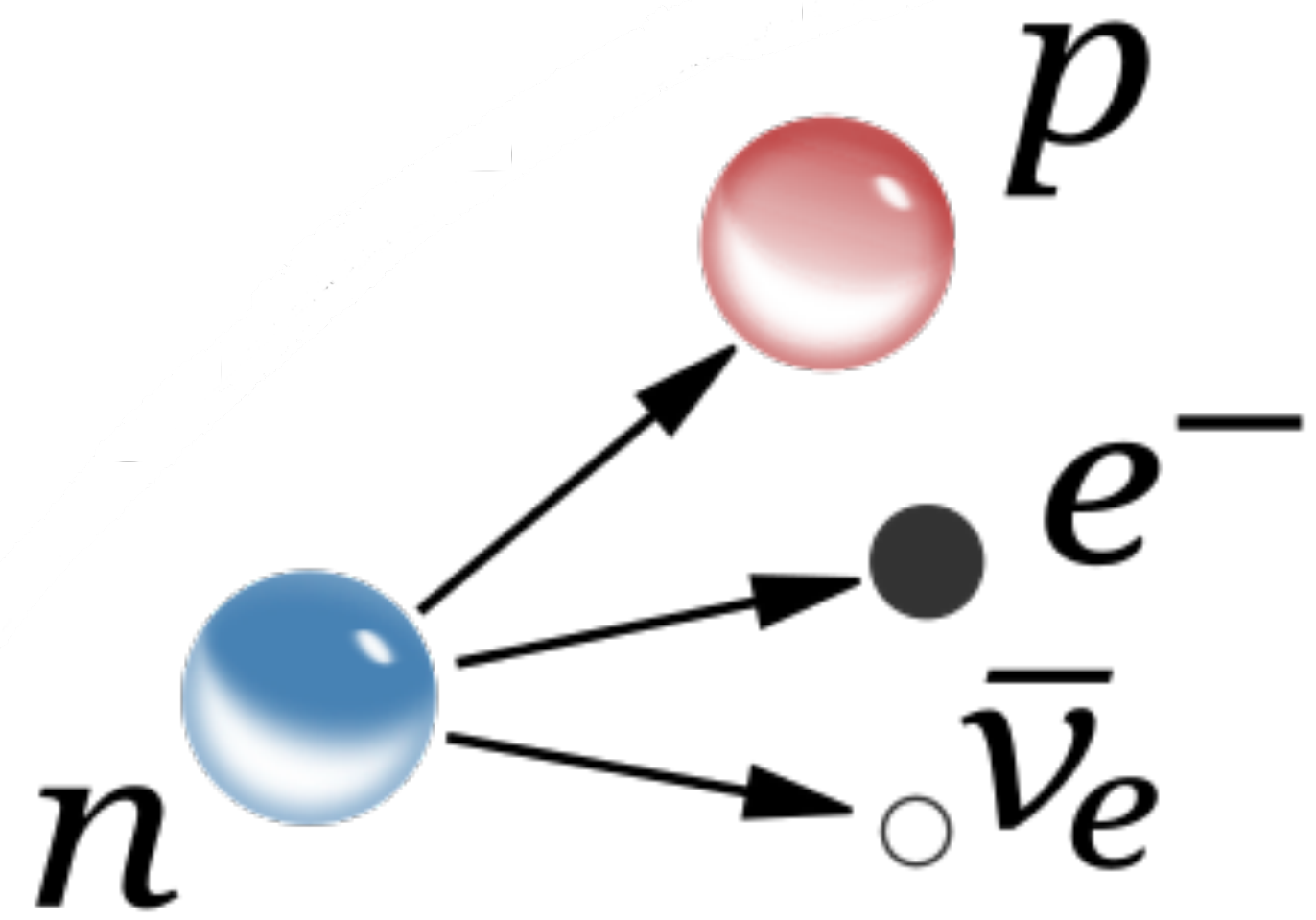
But so far I do not dare to publish anything about this idea, and trustfully turn first to you, dear radioactive people, with the question of how likely it is to find experimental evidence for such a neutron if it would have the same or perhaps a 10 times larger ability to get through [material] than a gamma-ray.

O decaimento beta



Enrico Fermi leva Pauli a sério

Teoria do decaimento beta



Enrico Fermi leva Pauli a sério

Teoria do decaimento beta

SCALAR

PSEUDOSCALAR

VECTOR

AXIAL VECTOR

TENSOR

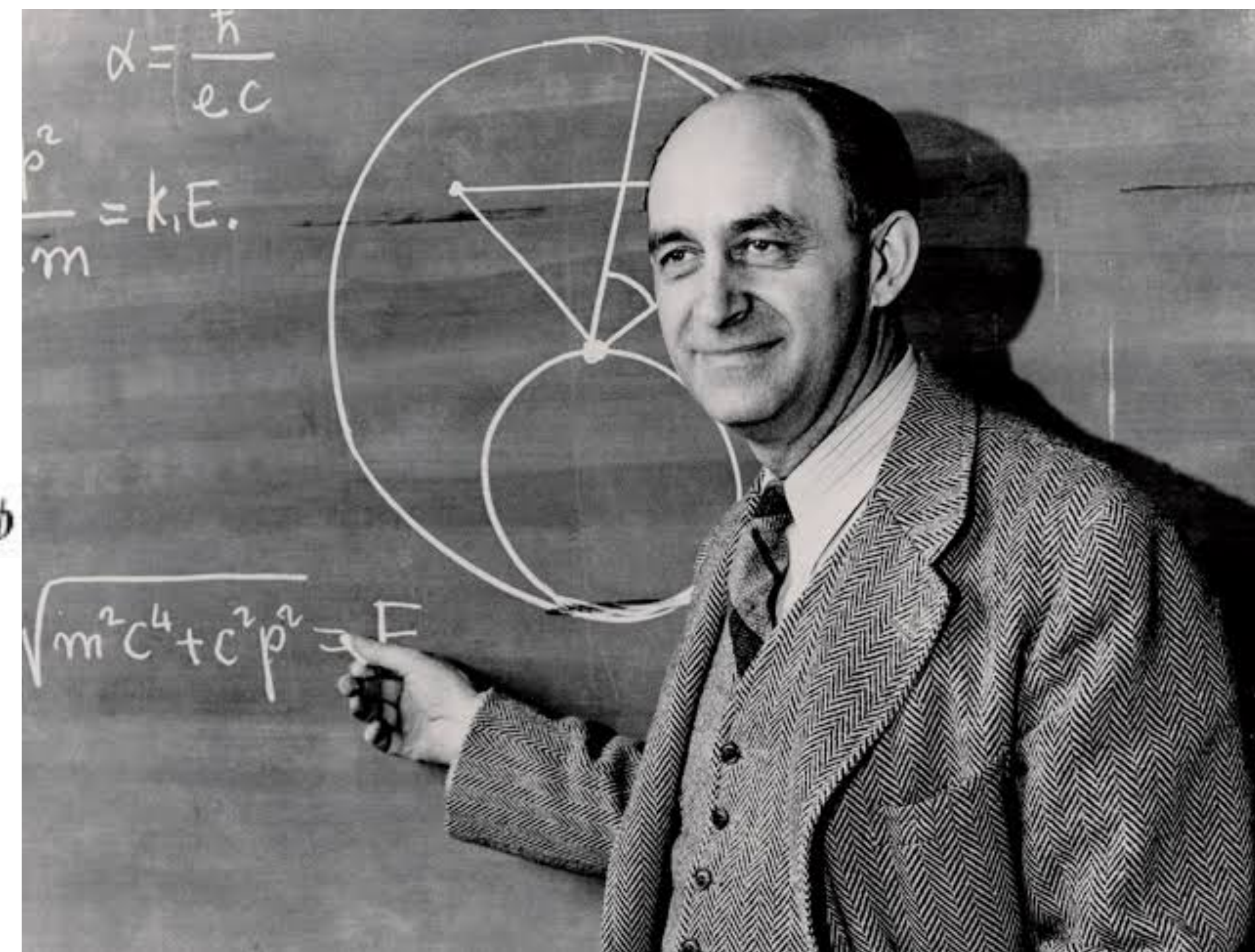
$$\bar{\psi}\phi$$

$$\bar{\psi}\gamma^5\phi$$

$$\bar{\psi}\gamma^\mu\phi$$

$$\bar{\psi}\gamma^\mu\gamma^5\phi$$

$$\bar{\psi}(\gamma^\mu\gamma^\nu - \gamma^\nu\gamma^\mu)\phi$$



Enrico Fermi leva Pauli a sério

Teoria do decaimento beta

SCALAR

PSEUDOSCALAR

VECTOR

AXIAL VECTOR

TENSOR

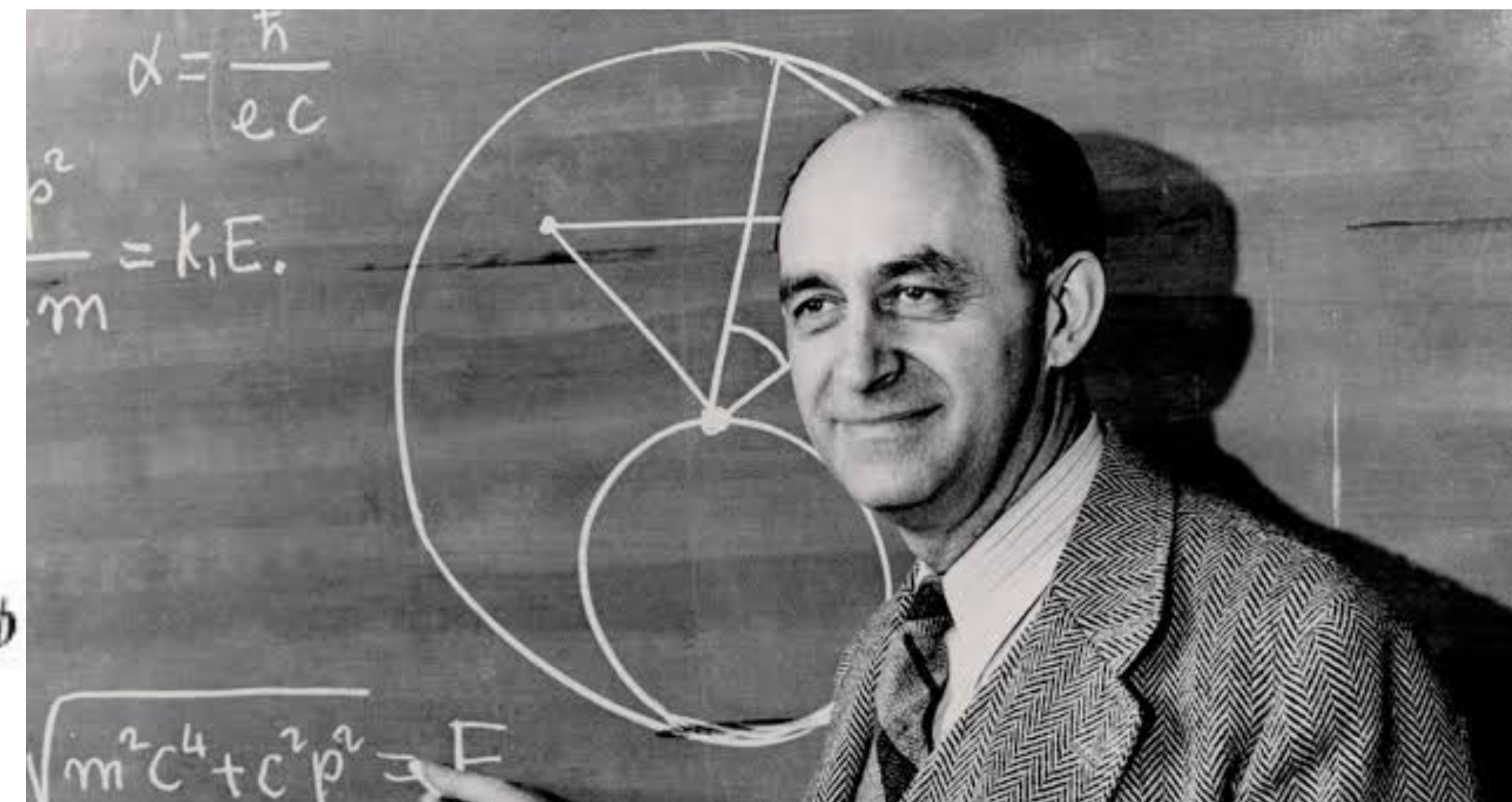
$$\bar{\psi}\phi$$

$$\bar{\psi}\gamma^5\phi$$

$$\bar{\psi}\gamma^\mu\phi$$

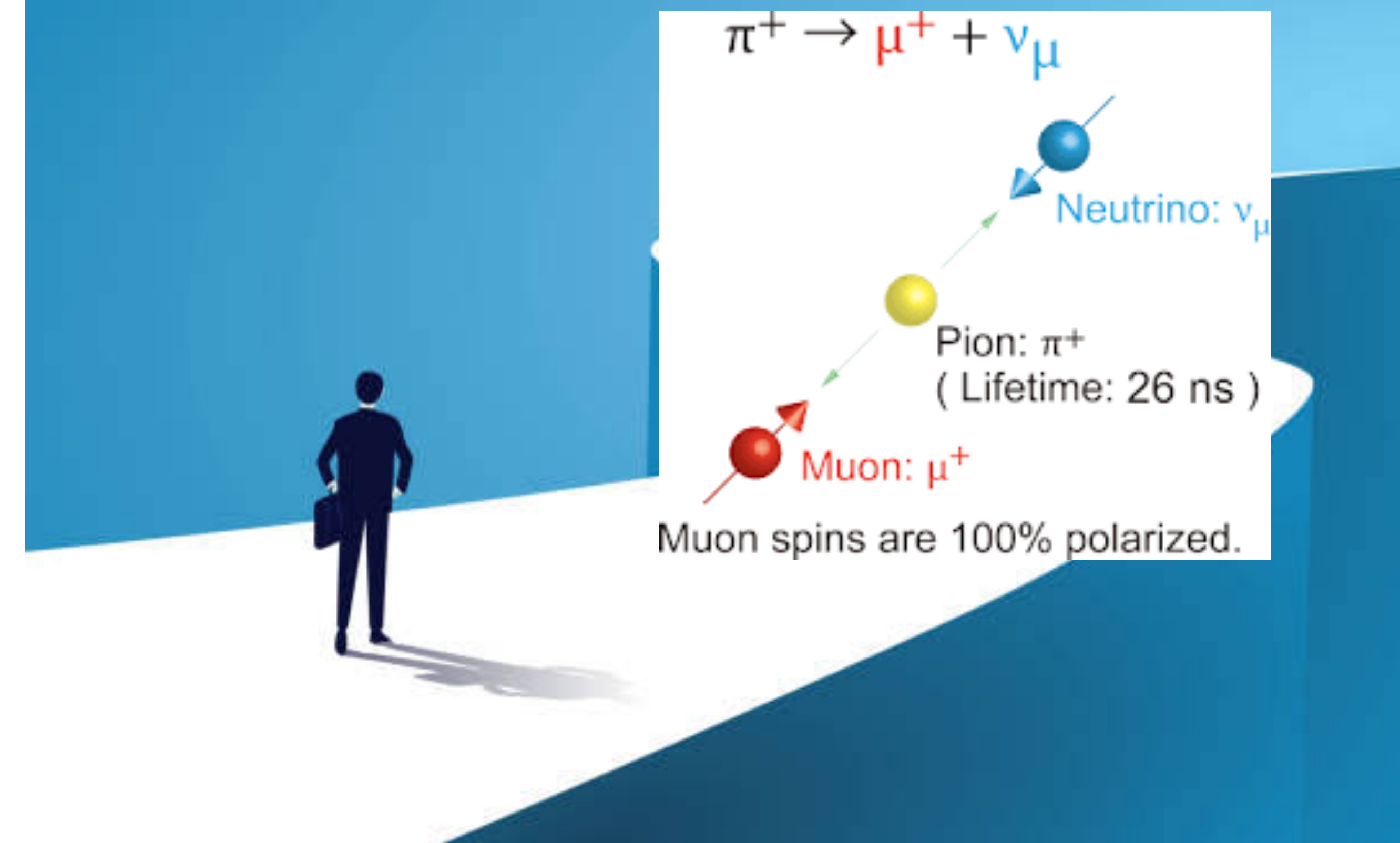
$$\bar{\psi}\gamma^\mu\gamma^5\phi$$

$$\bar{\psi}(\gamma^\mu\gamma^\nu - \gamma^\nu\gamma^\mu)\phi$$

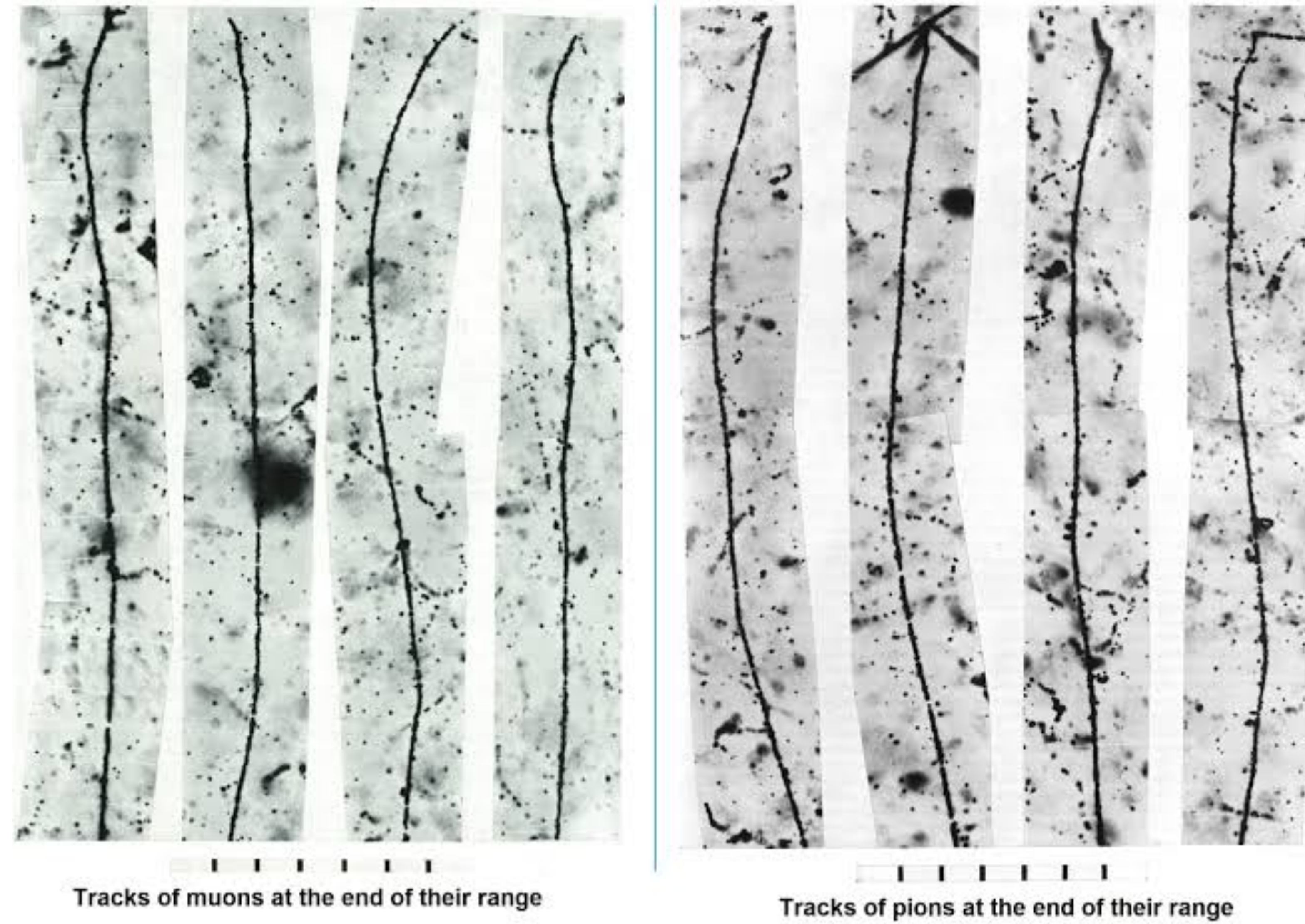


Rejeitado pela revista Nature
"because it contained speculations too remote
from reality to be of interest to the reader."

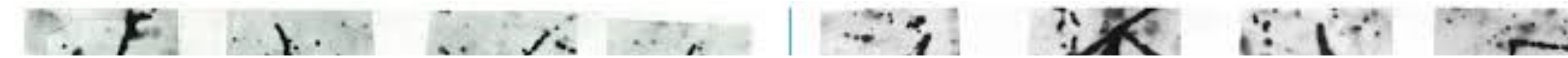
Parada número três



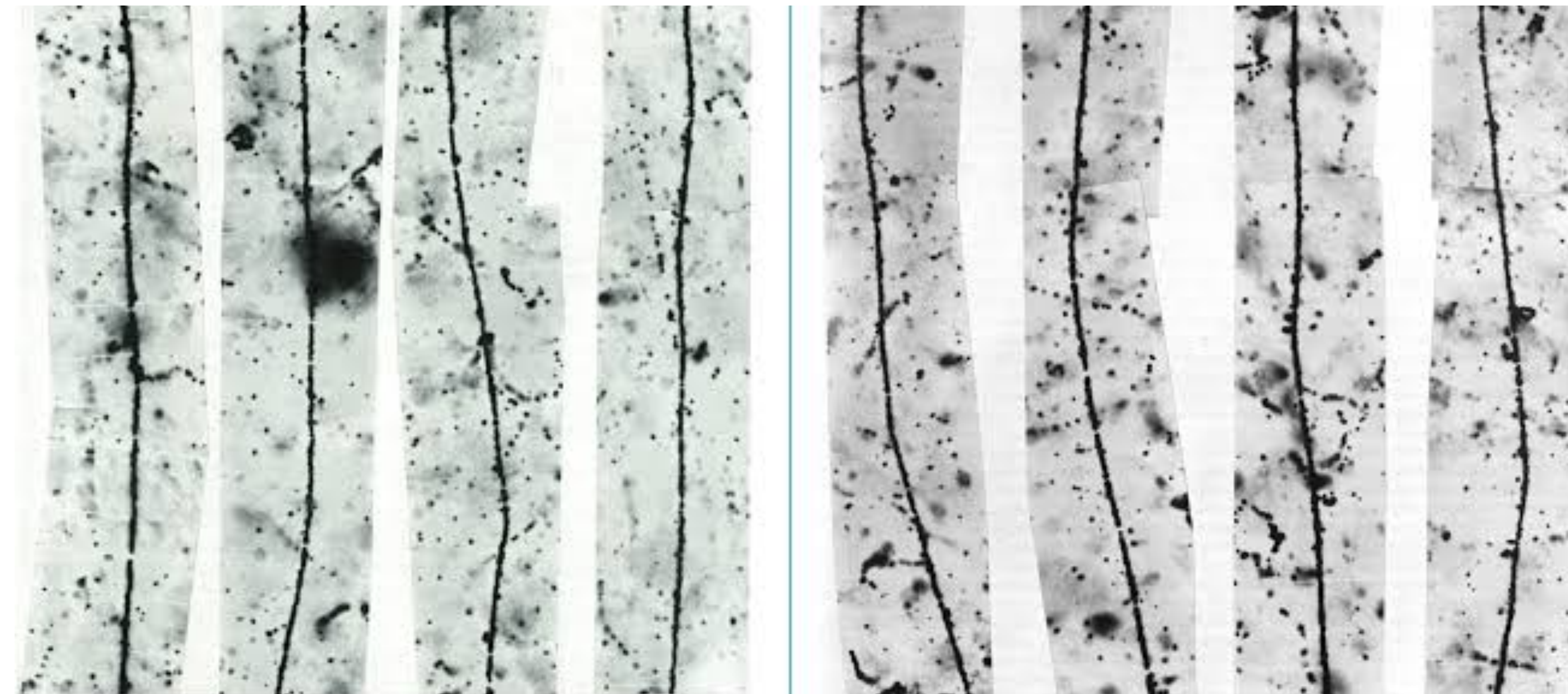
Decaimento beta está em todo lugar



Decaimento beta está em todo lugar



Decaimento do muon e do pion tem similaridades com o decaimento beta.



Tracks of muons at the end of their range

Tracks of pions at the end of their range

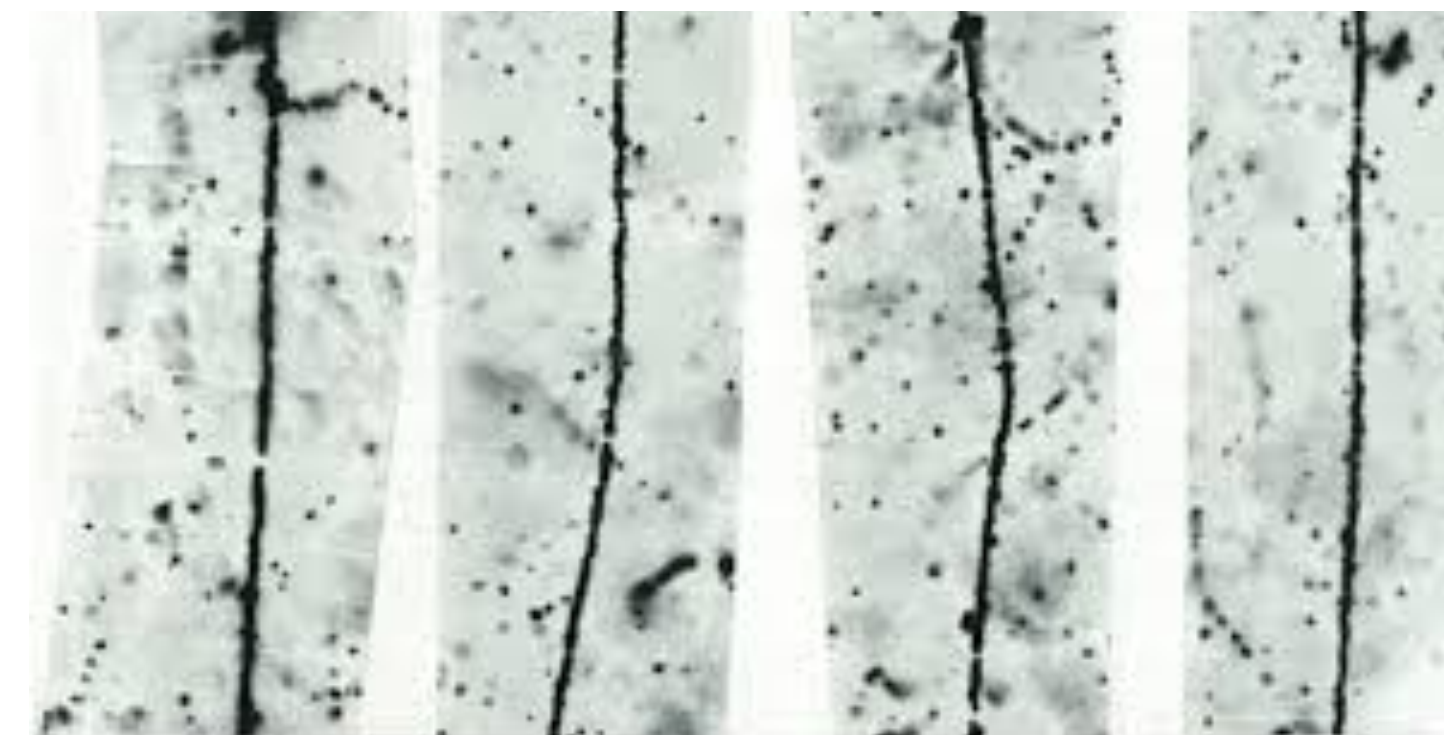
Decaimento beta está em todo lugar



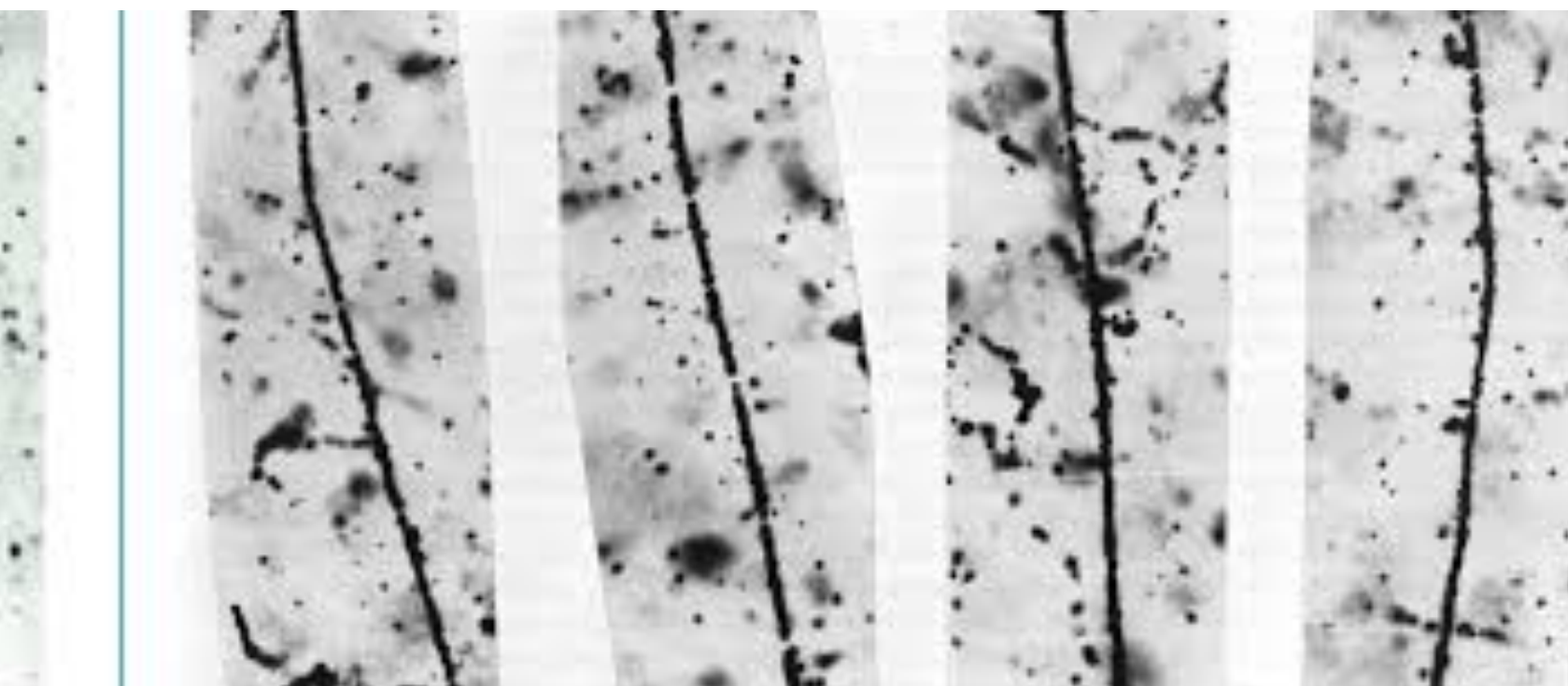
Decaimento do muon e do pion tem similaridades com o decaimento beta.



Seria a interação de Fermi universal?

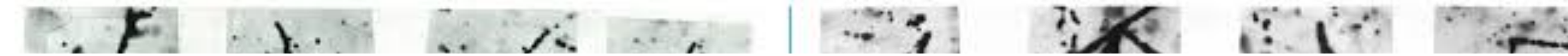


Tracks of muons at the end of their range

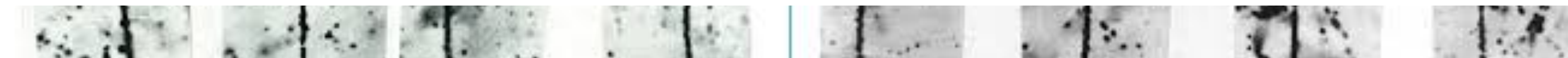


Tracks of pions at the end of their range

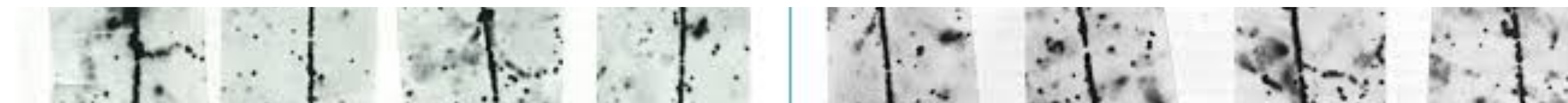
Decaimento beta está em todo lugar



Decaimento do muon e do pion tem similaridades com o decaimento beta.

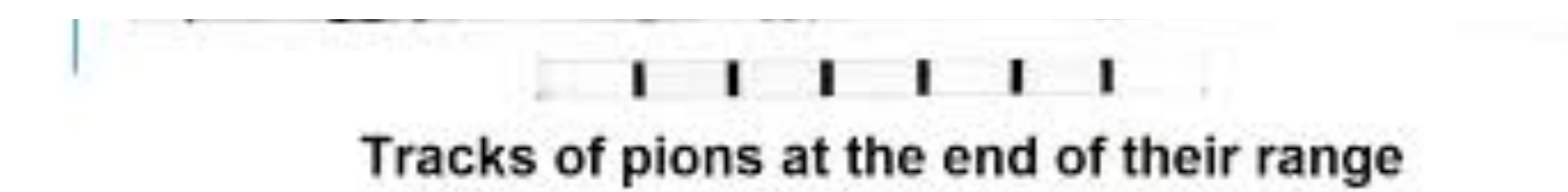


Seria a interação de Fermi universal?



Novas portas para estudar as interações fracas

Tracks of muons at the end of their range



Tracks of pions at the end of their range

Visão geral da parte teórica

Decaimento de pions em elétrons foram observado mais tarde.

Visão geral da parte teórica

Decaimento de pions em elétrons foram observado mais tarde.

Isso levou a comunidade preferir uma interação pseudo escalar.

Visão geral da parte teórica

Decaimento de pions em elétrons foram observado mais tarde.

Isso levou a comunidade preferir uma interação pseudo escalar.

Exercício: mostre que se o acoplamento do pion fosse pseudo escalar ele decairia preferencialmente para eletrons e não muons.

Visão geral da parte teórica

Decaimento de pions em elétrons foram observado mais tarde.

Isso levou a comunidade preferir uma interação pseudo escalar.

Ingrediente chave estava faltando:

Visão geral da parte teórica

Decaimento de pions em elétrons foram observado mais tarde.

Isso levou a comunidade preferir uma interação pseudo escalar.

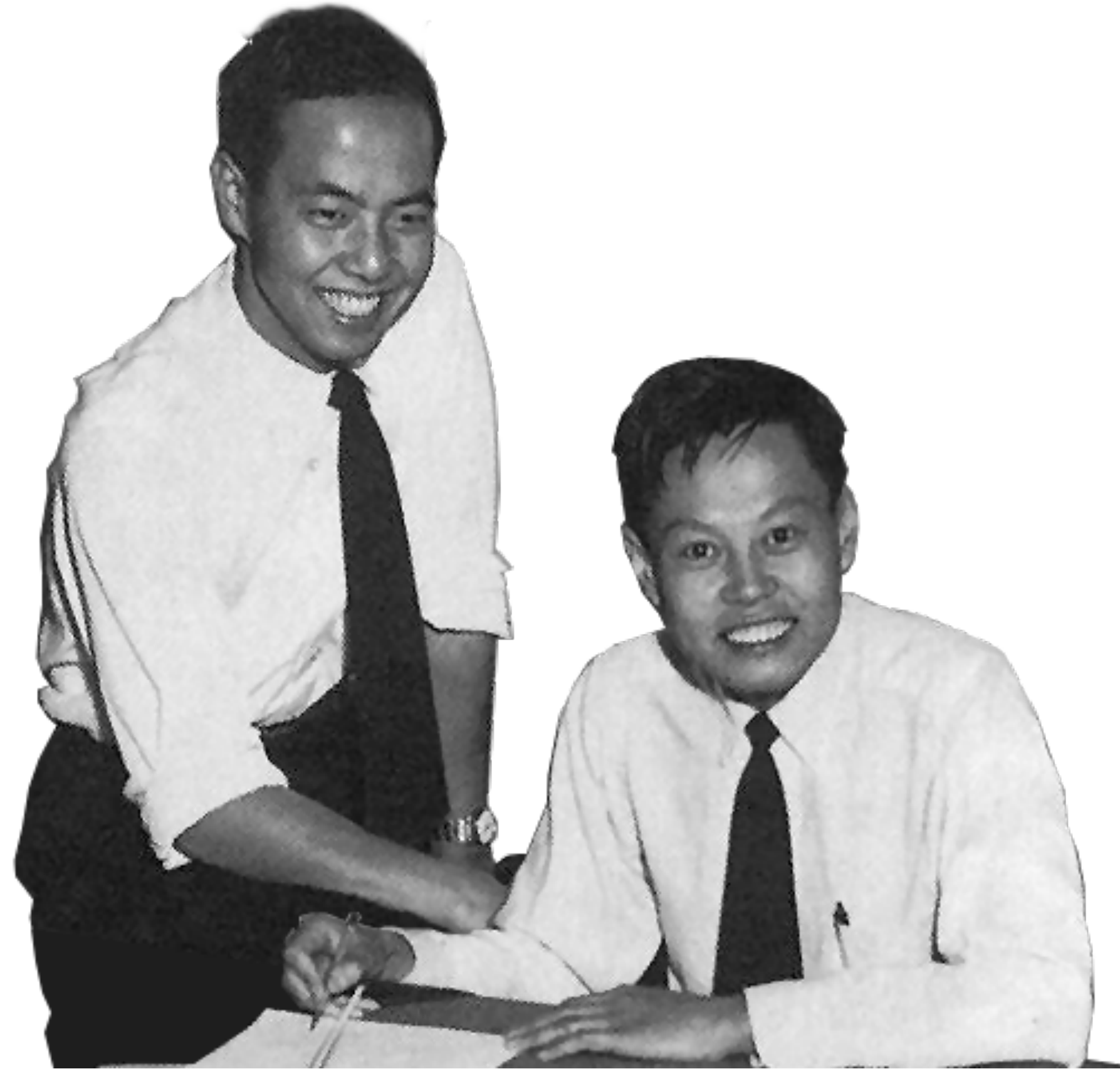
Ingrediente chave estava faltando:

“I do not believe that the Lord is a weak left-hander and I am willing to bet a very large sum that the experiments will give symmetric results.”

(**Pauli**)

Paridade não é conservado em interações fracas!

Lee, Yang



Madame Wu



Evidência experimental

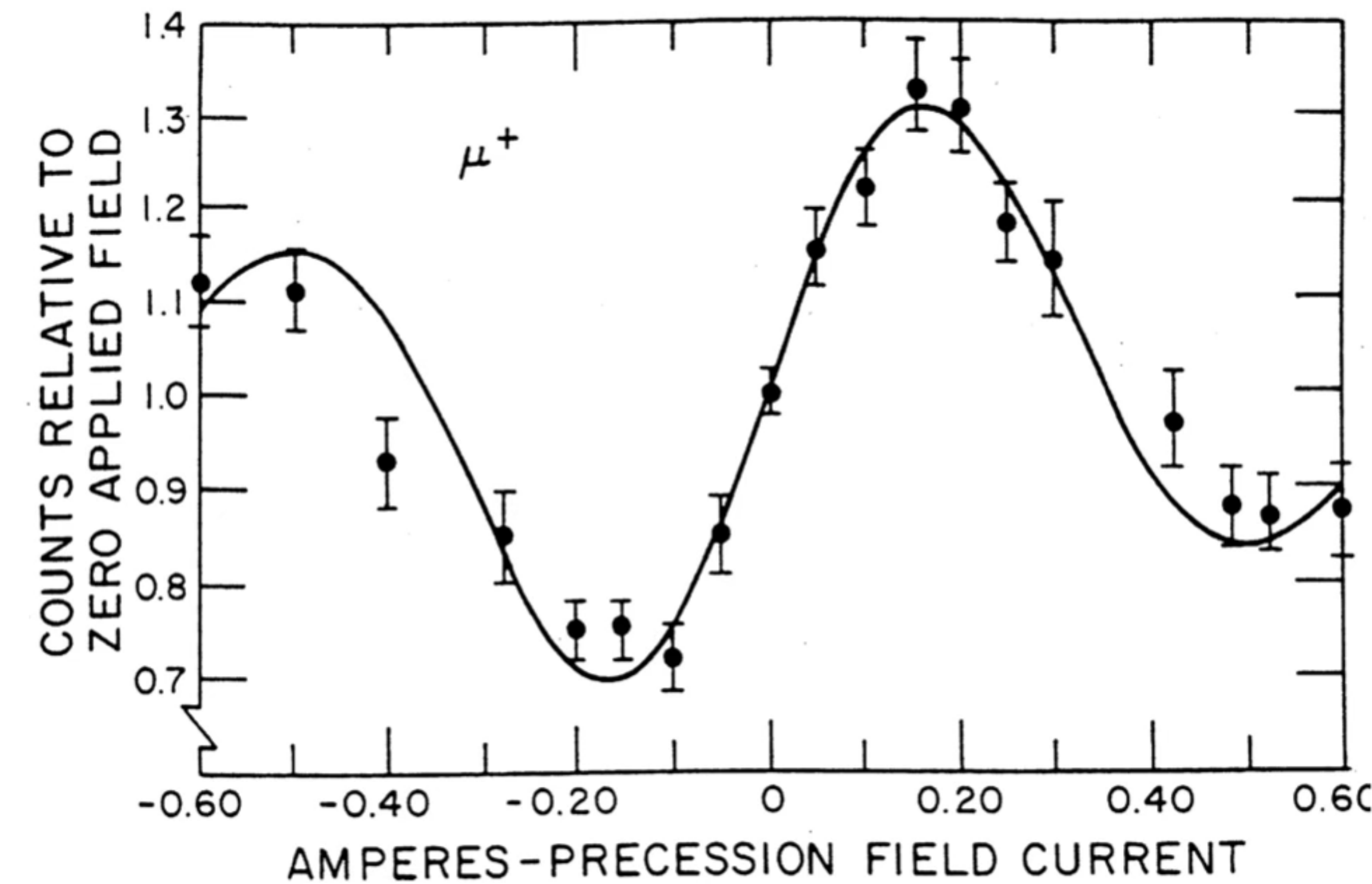
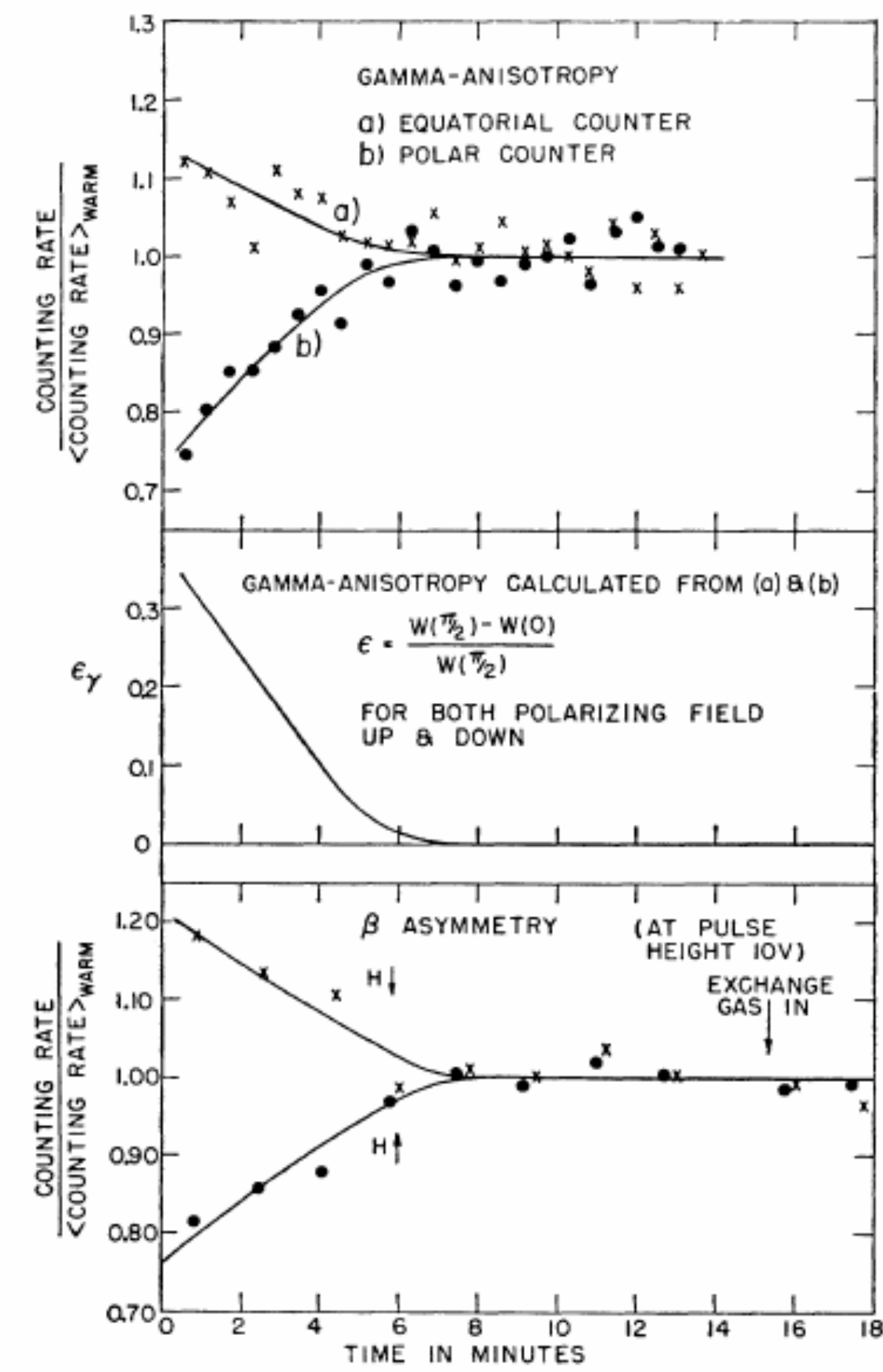
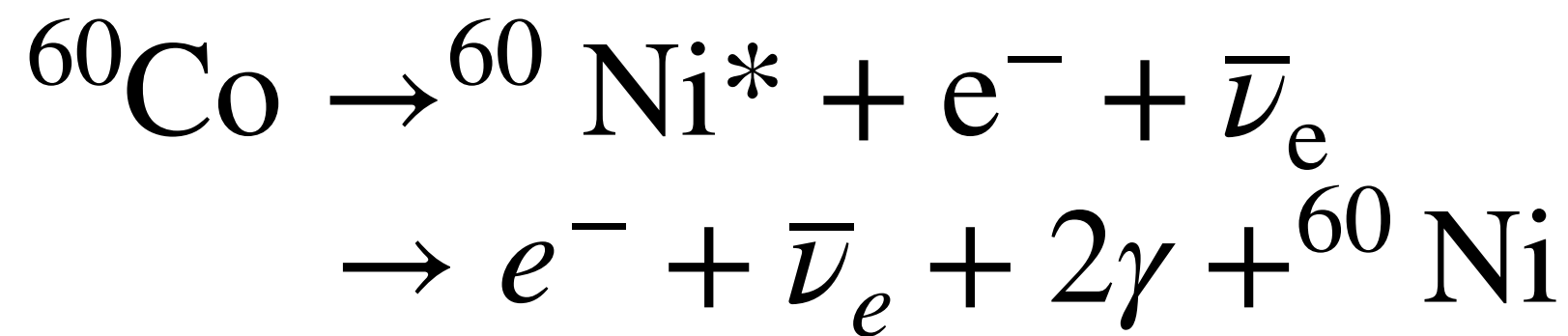


FIG. 2. Gamma anisotropy and beta asymmetry for polarizing field pointing up and pointing down.

Revisitando experimentos anteriores

A forma “V-A” emerge

Revisitando experimentos anteriores

A forma “V-A” emerge

$$\bar{\psi} \gamma_\mu (1 - \gamma_5) \psi$$

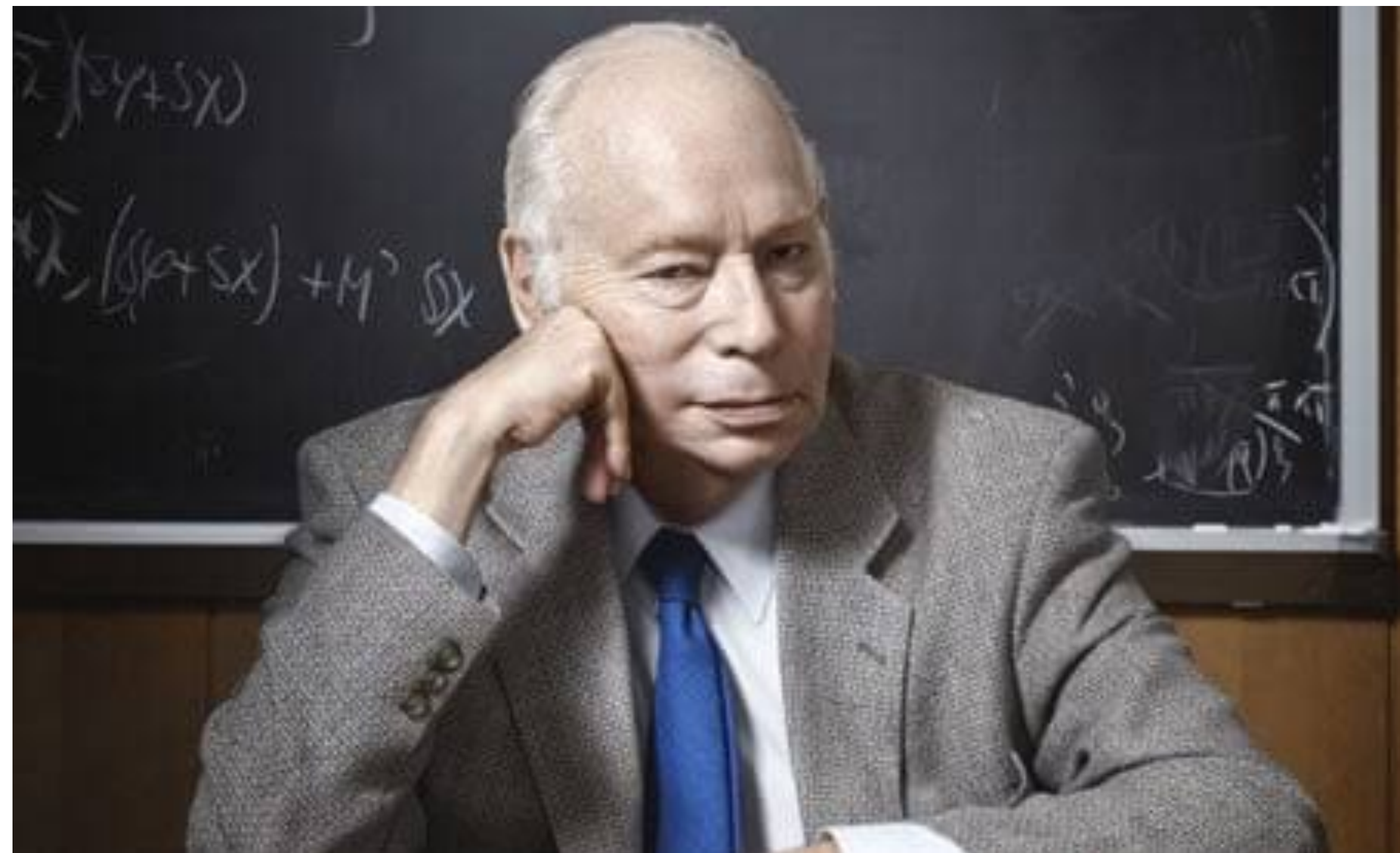
Revisitando experimentos anteriores

A forma “V-A” emerge

$$\bar{\psi} \gamma_\mu (1 - \gamma_5) \psi$$

Demorou em torno de 30 anos para chegarmos na forma completa e correta da interação que descreve o decaimento beta!!

“V-A was the key”



OPEN ACCESS

V-A was the key

Steven Weinberg

Published under licence by IOP Publishing Ltd

[Journal of Physics: Conference Series, Volume 196, SUDARSHAN: SEVEN SCIENCE QUESTS 6–7 November 2006, Austin, Texas, USA](#)

Citation Steven Weinberg 2009 *J. Phys.: Conf. Ser.* **196** 012002

DOI [10.1088/1742-6596/196/1/012002](https://doi.org/10.1088/1742-6596/196/1/012002)

 Article PDF



Photo from the Nobel Foundation archive.
Sheldon Lee Glashow

Prize share: 1/3



Photo from the Nobel Foundation archive.
Abdus Salam

Prize share: 1/3



Photo: Harvard University News Office. Nobel Foundation archive.
Steven Weinberg

Prize share: 1/3

The Nobel Prize in Physics 1979 was awarded jointly to Sheldon Lee Glashow, Abdus Salam and Steven Weinberg "for their contributions to the theory of the unified weak and electromagnetic interaction between elementary particles, including, *inter alia*, the prediction of the weak neutral current"

“V-A was the key”

**O modelo padrão é baseado em um grupo
de simetria de gauge**

“V-A was the key”

O modelo padrão é baseado em um grupo de simetria de gauge

$$SU(3)_c \otimes SU(2)_L \otimes U(1)_Y$$

“V-A was the key”

O modelo padrão é baseado em um grupo de simetria de gauge

$$SU(3)_c \otimes SU(2)_L \otimes U(1)_Y$$

Ideia intuitiva:

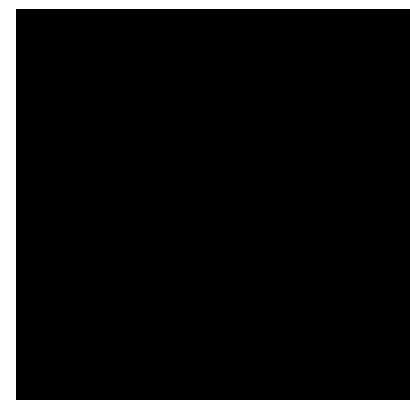
“V-A was the key”

O modelo padrão é baseado em um grupo de simetria de gauge

$$SU(3)_c \otimes SU(2)_L \otimes U(1)_Y$$

Ideia intuitiva:

Antes



“V-A was the key”

O modelo padrão é baseado em um grupo de simetria de gauge

$$SU(3)_c \otimes SU(2)_L \otimes U(1)_Y$$

Ideia intuitiva:

Depois

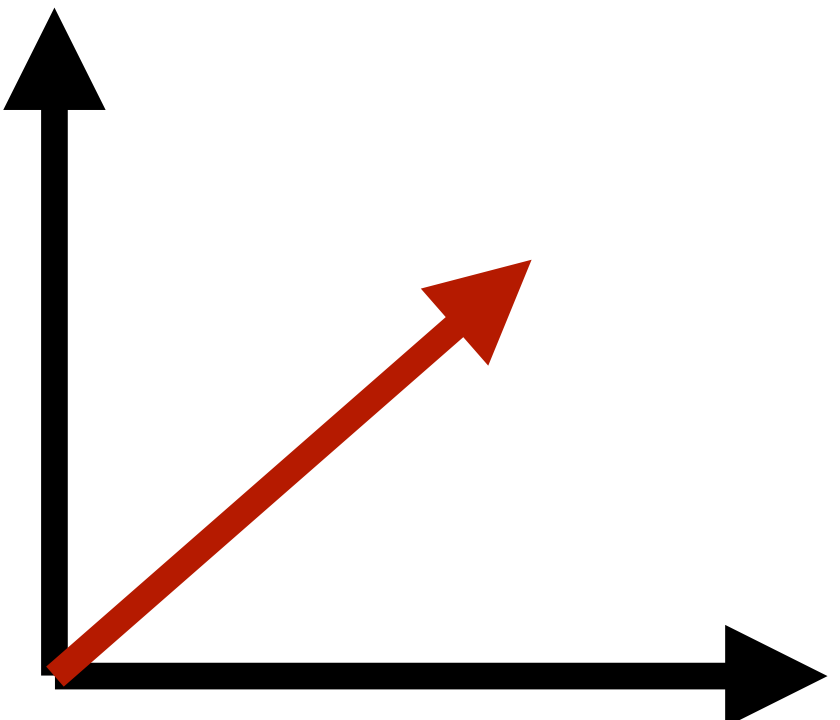


“V-A was the key”

O modelo padrão é baseado em um grupo de simetria de gauge

$$SU(3)_c \otimes SU(2)_L \otimes U(1)_Y$$

Ideia intuitiva:

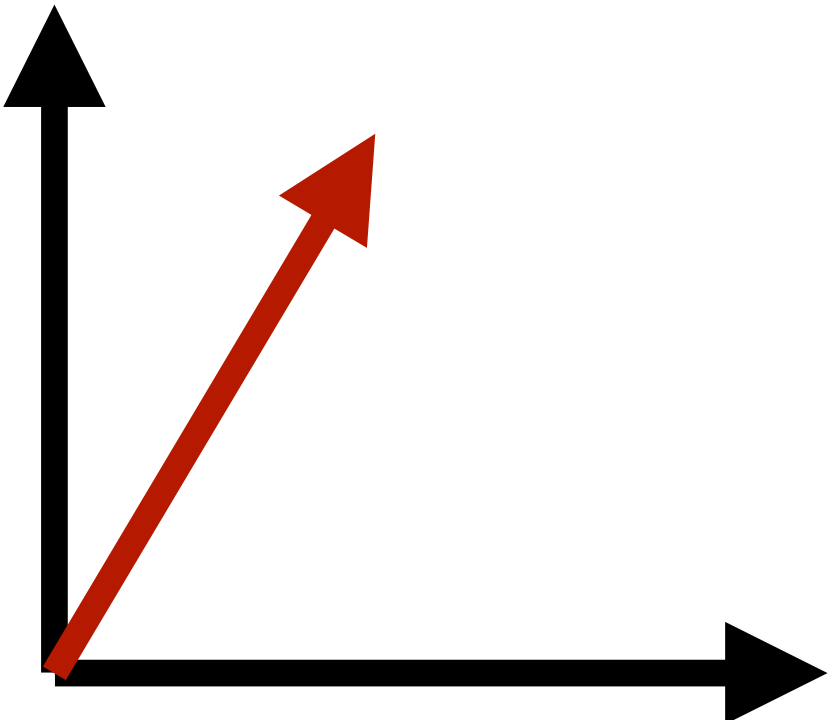


“V-A was the key”

O modelo padrão é baseado em um grupo de simetria de gauge

$$SU(3)_c \otimes SU(2)_L \otimes U(1)_Y$$

Ideia intuitiva:

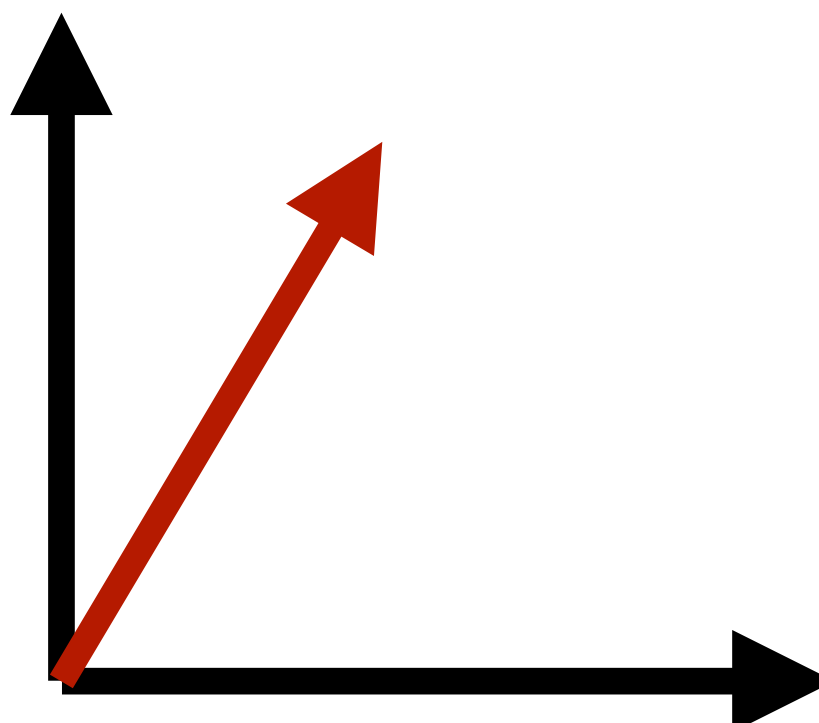


“V-A was the key”

O modelo padrão é baseado em um grupo de simetria de gauge

$$SU(3)_c \otimes SU(2)_L \otimes U(1)_Y$$

Matematicamente:



$$\mathbf{v} = R\mathbf{v} = \begin{bmatrix} \cos \theta & -\sin \theta \\ \sin \theta & \cos \theta \end{bmatrix} \begin{bmatrix} x \\ y \end{bmatrix}$$

A lagrangiana do modelo padrão

$$SU(3)_c \otimes SU(2)_L \otimes U(1)_Y$$

**Construímos objetos invariante sob a ação
das operações acima**

Ilustrando a ideia:

$$\psi \rightarrow U\psi$$

$$\bar{\psi}\psi \rightarrow \bar{\psi}U^\dagger U\psi = \bar{\psi}\psi$$

A lagrangiana do modelo padrão

$$SU(3)_c \otimes SU(2)_L \otimes U(1)_Y$$

**Construímos objetos invariante sob a ação
das operações acima**

Ilustrando a ideia:

$$\psi \rightarrow U\psi$$

$$\bar{\psi}\psi \rightarrow \bar{\psi}U^\dagger U\psi = \bar{\psi}\psi$$

Isso representa um termo válido!

Termos de massa

$$SU(3)_c \otimes SU(2)_L \otimes U(1)_Y$$

$$m\overline{\psi}_L\psi_R$$

Termos de massa

$$SU(3)_c \otimes SU(2)_L \otimes U(1)_Y$$

$$m \cancel{\psi} \psi_R$$

Termos de massa

$$SU(3)_c \otimes SU(2)_L \otimes U(1)_Y$$

$$m \cancel{\psi_L} \psi_R$$

Seria como tentar combinar:

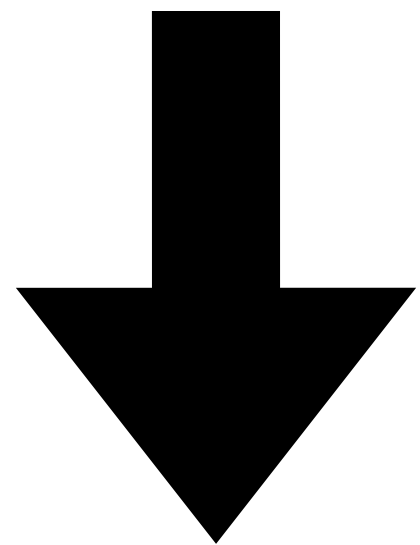
$$(V_1 V_2) \begin{pmatrix} V_1 \\ V_2 \\ V_3 \end{pmatrix}$$

O bóson de Higgs e o mecanismo de massa

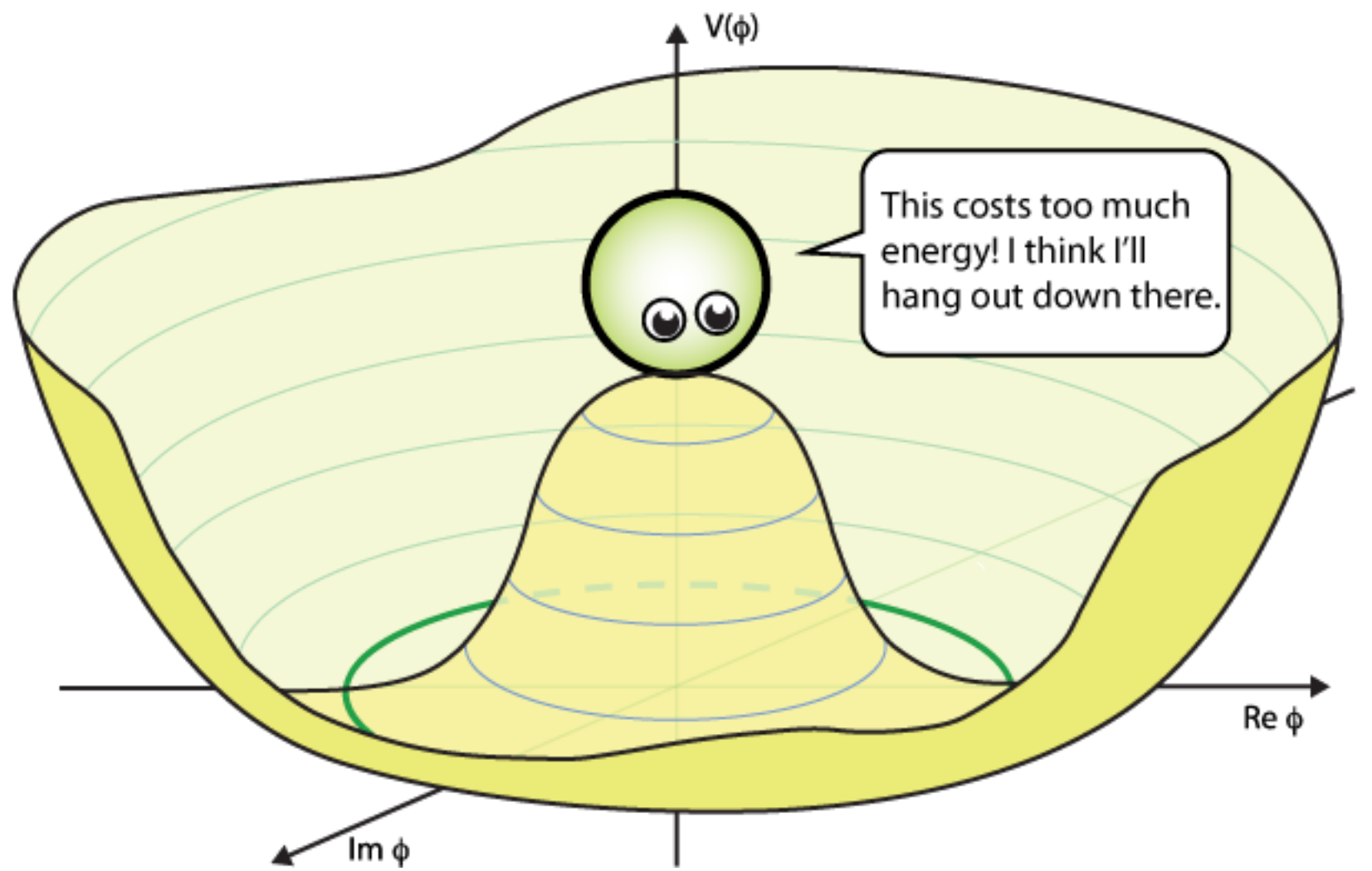
$$\begin{pmatrix} V_1 & V_2 \end{pmatrix} \begin{pmatrix} x & x & x \\ x & x & x \end{pmatrix} \begin{pmatrix} V_1 \\ V_2 \\ V_3 \end{pmatrix}$$

O bóson de Higgs e o mecanismo de massa

$$-\mathcal{L}_{\text{Yuk}} \supset \bar{L} Y_e e_R H$$



$$m \bar{e}_L e_R$$

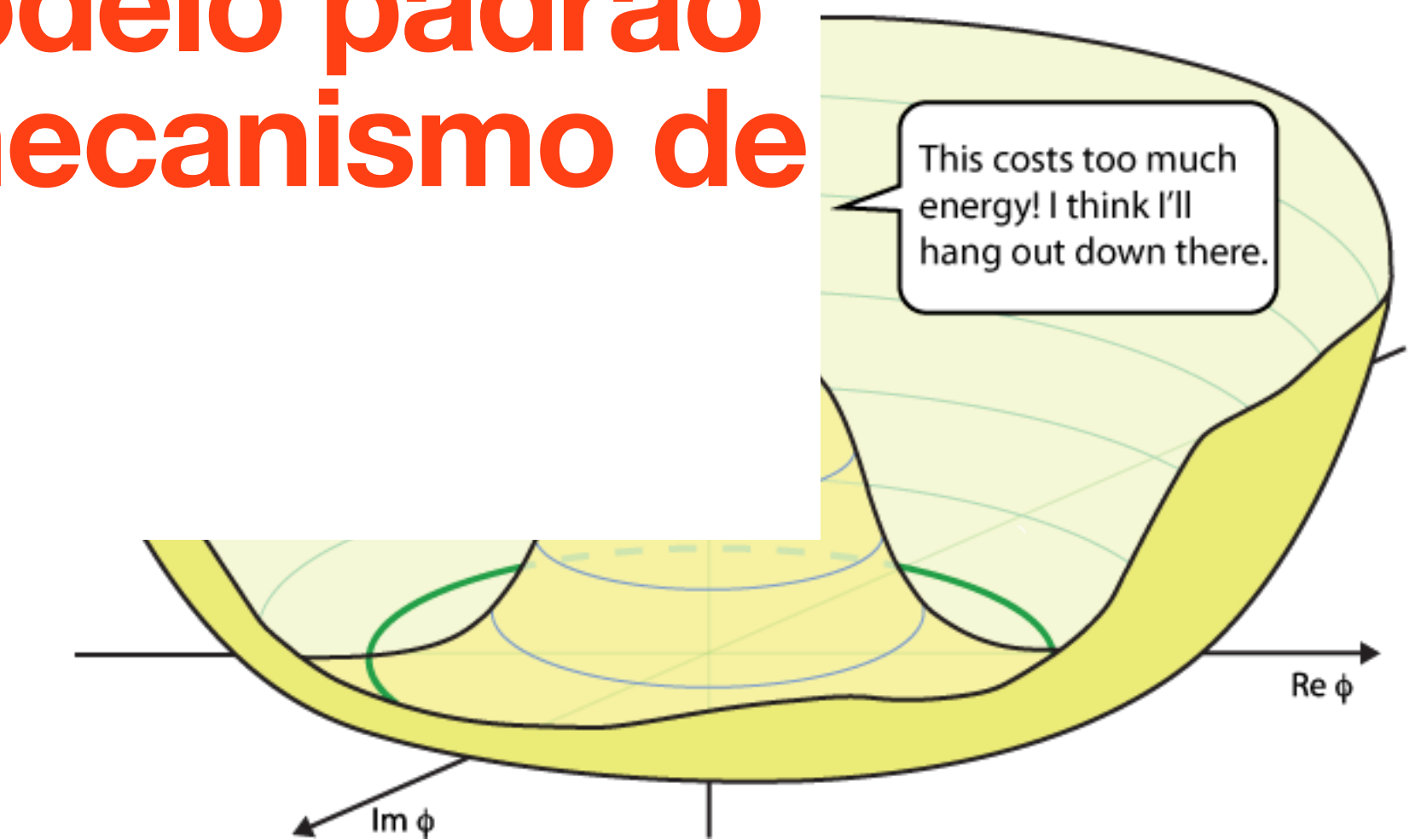


O bóson de Higgs e o mecanismo de massa

$$-\mathcal{L}_{\text{Yuk}} \supset \bar{L} Y_e e_R H$$

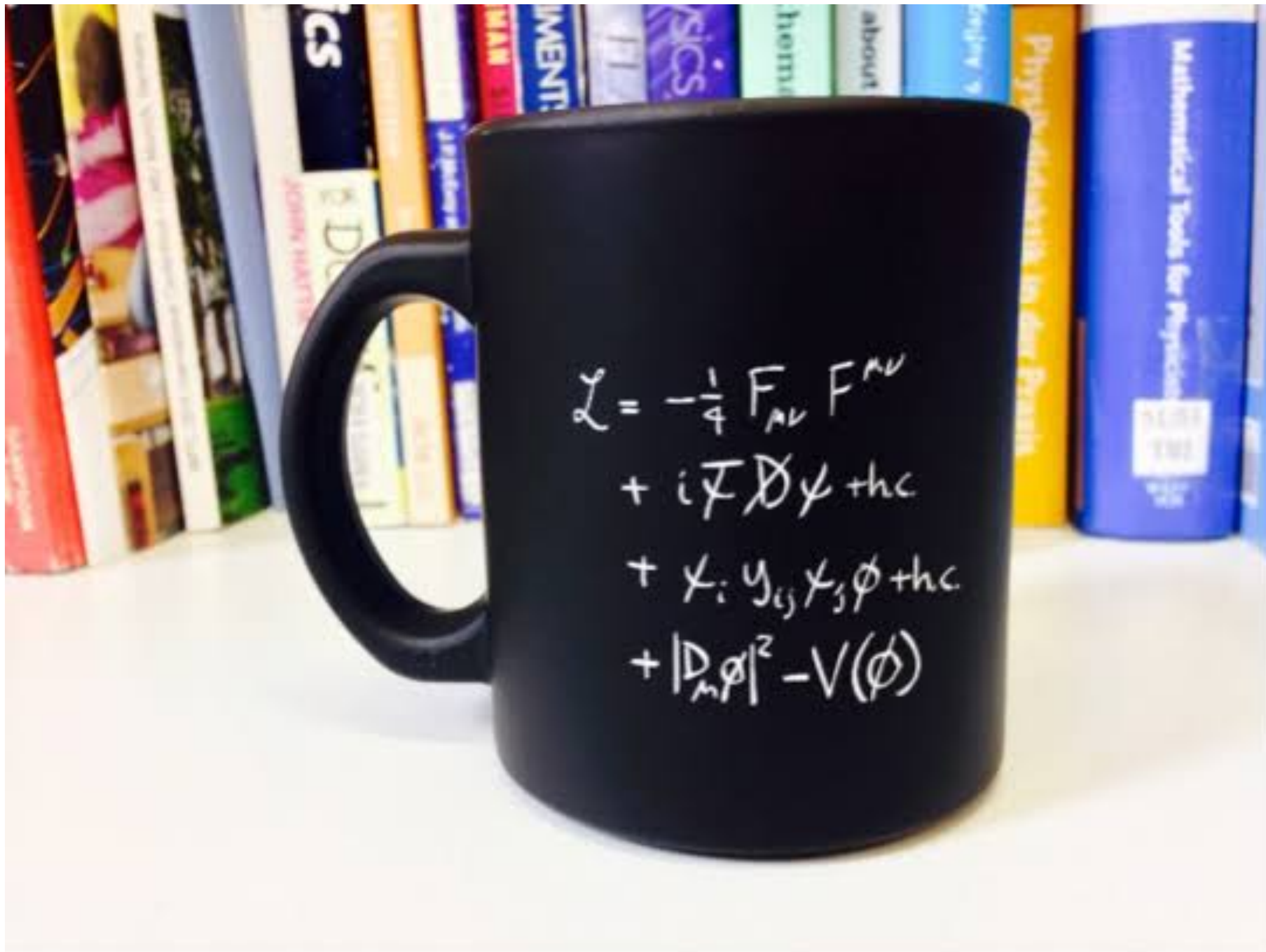
O poder de predição do modelo padrão depende crucialmente do mecanismo de massa!

$$m \bar{e}_L e_R$$



A lagrangiana do modelo padrão

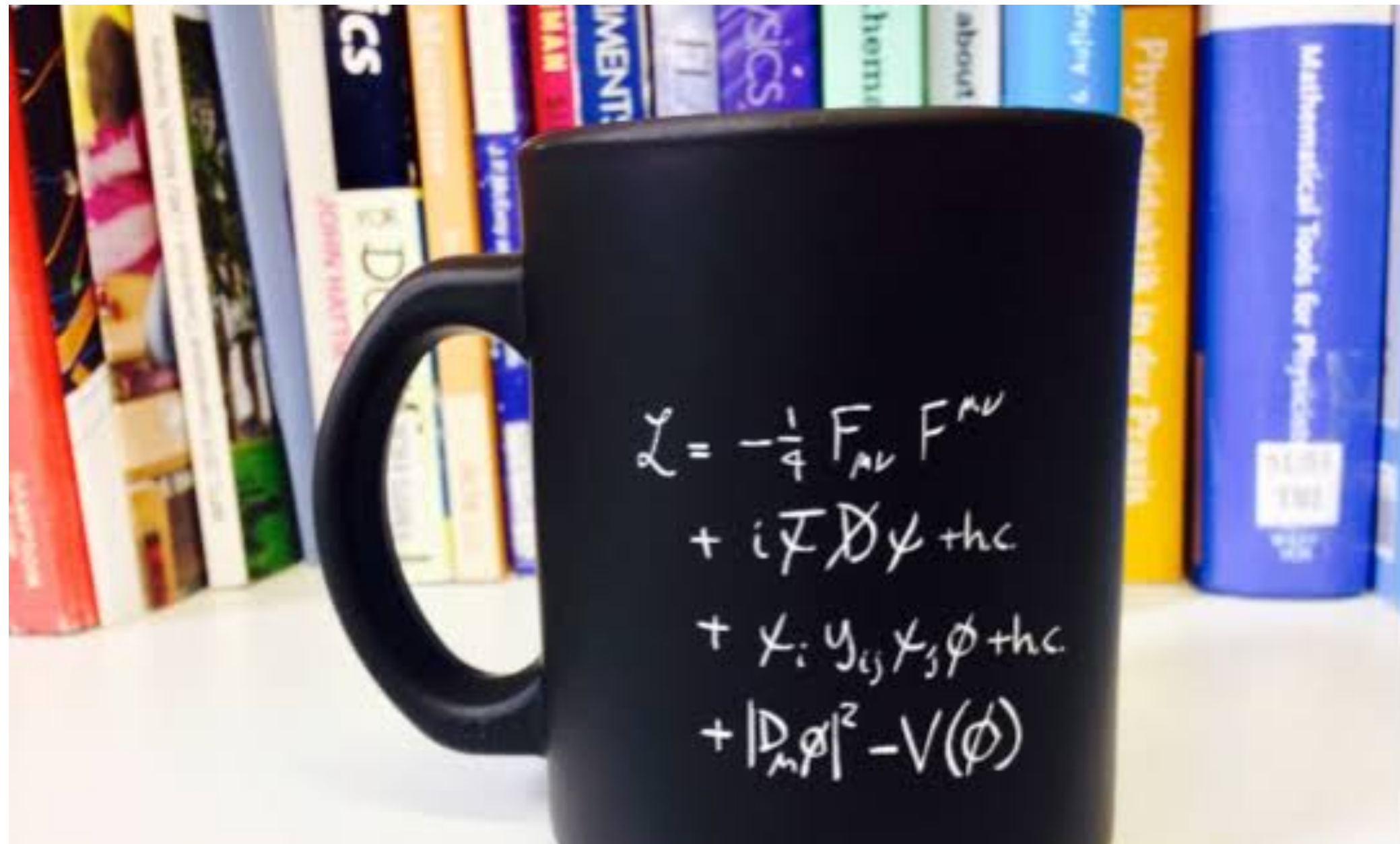
$$SU(3)_C \otimes SU(2)_L \otimes U(1)_Y$$



$$\begin{aligned}
\mathcal{L}_{SM} = & -\frac{1}{2}\partial_\nu g_\mu^a \partial_\nu g_\mu^a - g_s f^{abc} \partial_\mu g_\mu^a g_\mu^b g_\nu^c - \frac{1}{4}g_s^2 f^{abc} f^{ade} g_\mu^b g_\mu^c g_\nu^d g_\nu^e - \partial_\nu W_\mu^+ \partial_\nu W_\mu^- - \\
& M^2 W_\mu^+ W_\mu^- - \frac{1}{2}\partial_\nu Z_\mu^0 \partial_\nu Z_\mu^0 - \frac{1}{2c_w^2} M^2 Z_\mu^0 Z_\mu^0 - \frac{1}{2}\partial_\mu A_\nu \partial_\mu A_\nu - ig c_w (\partial_\nu Z_\mu^0 (W_\mu^+ W_\nu^- - \\
& W_\nu^+ W_\mu^-) - Z_\mu^0 (W_\mu^+ \partial_\nu W_\nu^- - W_\mu^- \partial_\nu W_\mu^+) + Z_\mu^0 (W_\nu^+ \partial_\nu W_\mu^- - W_\nu^- \partial_\nu W_\mu^+)) - \\
& ig s_w (\partial_\nu A_\mu (W_\mu^+ W_\nu^- - W_\nu^+ W_\mu^-) - A_\nu (W_\mu^+ \partial_\nu W_\mu^- - W_\mu^- \partial_\nu W_\mu^+) + A_\mu (W_\nu^+ \partial_\nu W_\mu^- - \\
& W_\nu^- \partial_\nu W_\mu^+)) - \frac{1}{2}g^2 W_\mu^+ W_\mu^- W_\nu^+ W_\nu^- + \frac{1}{2}g^2 W_\mu^+ W_\nu^+ W_\mu^- W_\nu^- + g^2 c_w^2 (Z_\mu^0 W_\mu^+ Z_\nu^0 W_\nu^- - \\
& Z_\mu^0 Z_\nu^0 W_\mu^+ W_\nu^-) + g^2 s_w^2 (A_\mu W_\mu^+ A_\nu W_\nu^- - A_\mu A_\nu W_\mu^+ W_\nu^-) + g^2 s_w c_w (A_\mu Z_\nu^0 (W_\mu^+ W_\nu^- - \\
& W_\nu^+ W_\mu^-) - 2 A_\mu Z_\mu^0 W_\nu^+ W_\nu^-) - \frac{1}{2}\partial_\mu H \partial_\mu H - 2M^2 \alpha_h H^2 - \partial_\mu \phi^+ \partial_\mu \phi^- - \frac{1}{2}\partial_\mu \phi^0 \partial_\mu \phi^0 - \\
& \beta_h \left(\frac{2M^2}{g^2} + \frac{2M}{g} H + \frac{1}{2}(H^2 + \phi^0 \phi^0 + 2\phi^+ \phi^-) \right) + \frac{2M^4}{g^2} \alpha_h - \\
& g \alpha_h M (H^3 + H \phi^0 \phi^0 + 2H \phi^+ \phi^-) - \\
& \frac{1}{8}g^2 \alpha_h (H^4 + (\phi^0)^4 + 4(\phi^+ \phi^-)^2 + 4(\phi^0)^2 \phi^+ \phi^- + 4H^2 \phi^+ \phi^- + 2(\phi^0)^2 H^2) - \\
& g M W_\mu^+ W_\mu^- H - \frac{1}{2}g \frac{M}{c_w^2} Z_\mu^0 Z_\mu^0 H - \\
& \frac{1}{2}ig (W_\mu^+ (\phi^0 \partial_\mu \phi^- - \phi^- \partial_\mu \phi^0) - W_\mu^- (\phi^0 \partial_\mu \phi^+ - \phi^+ \partial_\mu \phi^0)) + \\
& \frac{1}{2}g (W_\mu^+ (H \partial_\mu \phi^- - \phi^- \partial_\mu H) + W_\mu^- (H \partial_\mu \phi^+ - \phi^+ \partial_\mu H)) + \frac{1}{2}g \frac{1}{c_w} (Z_\mu^0 (H \partial_\mu \phi^0 - \phi^0 \partial_\mu H) + \\
& M (\frac{1}{c_w} Z_\mu^0 \partial_\mu \phi^0 + W_\mu^+ \partial_\mu \phi^- + W_\mu^- \partial_\mu \phi^+) - ig \frac{s_w^2}{c_w} M Z_\mu^0 (W_\mu^+ \phi^- - W_\mu^- \phi^+) + ig s_w M A_\mu (W_\mu^+ \phi^- - \\
& W_\mu^- \phi^+) - ig \frac{1-2c_w^2}{2c_w} Z_\mu^0 (\phi^+ \partial_\mu \phi^- - \phi^- \partial_\mu \phi^+) + ig s_w A_\mu (\phi^+ \partial_\mu \phi^- - \phi^- \partial_\mu \phi^+) - \\
& \frac{1}{4}g^2 W_\mu^+ W_\mu^- (H^2 + (\phi^0)^2 + 2\phi^+ \phi^-) - \frac{1}{8}g^2 \frac{1}{c_w^2} Z_\mu^0 Z_\mu^0 (H^2 + (\phi^0)^2 + 2(2s_w^2 - 1)^2 \phi^+ \phi^-) - \\
& \frac{1}{2}g^2 \frac{s_w^2}{c_w} Z_\mu^0 \phi^0 (W_\mu^+ \phi^- + W_\mu^- \phi^+) - \frac{1}{2}ig^2 \frac{s_w^2}{c_w} Z_\mu^0 H (W_\mu^+ \phi^- - W_\mu^- \phi^+) + \frac{1}{2}g^2 s_w A_\mu \phi^0 (W_\mu^+ \phi^- + \\
& W_\mu^- \phi^+) + \frac{1}{2}ig^2 s_w A_\mu H (W_\mu^+ \phi^- - W_\mu^- \phi^+) - g^2 \frac{s_w}{c_w} (2c_w^2 - 1) Z_\mu^0 A_\mu \phi^+ \phi^- - \\
& g^2 s_w^2 A_\mu A_\mu \phi^+ \phi^- + \frac{1}{2}ig_s \lambda_{ij}^a (\bar{q}_i^a \gamma^\mu q_j^a) g_\mu^a - \bar{e}^\lambda (\gamma \partial + m_\nu^\lambda) e^\lambda - \bar{u}_j^\lambda (\gamma \partial + \\
& m_\nu^\lambda) u_j^\lambda - \bar{d}_j^\lambda (\gamma \partial + m_d^\lambda) d_j^\lambda + ig s_w A_\mu (-(\bar{e}^\lambda \gamma^\mu e^\lambda) + \frac{2}{3}(\bar{u}_j^\lambda \gamma^\mu u_j^\lambda) - \frac{1}{3}(\bar{d}_j^\lambda \gamma^\mu d_j^\lambda)) + \\
& \frac{ig}{4c_w} Z_\mu^0 \{(\bar{\nu}^\lambda \gamma^\mu (1 + \gamma^5) \nu^\lambda) + (\bar{e}^\lambda \gamma^\mu (4s_w^2 - 1 - \gamma^5) e^\lambda) + (d_j^\lambda \gamma^\mu (\frac{4}{3}s_w^2 - 1 - \gamma^5) d_j^\lambda) + \\
& (\bar{u}_j^\lambda \gamma^\mu (1 - \frac{8}{3}s_w^2 + \gamma^5) u_j^\lambda)\} + \frac{ig}{2\sqrt{2}} W_\mu^+ ((\bar{\nu}^\lambda \gamma^\mu (1 + \gamma^5) U^{lep}{}_{\lambda\kappa} e^\kappa) + (\bar{u}_j^\lambda \gamma^\mu (1 + \gamma^5) C_{\lambda\kappa} d_j^\kappa)) + \\
& \frac{ig}{2\sqrt{2}} W_\mu^- ((\bar{e}^\kappa U^{lep}{}_{\kappa\lambda} \gamma^\mu (1 + \gamma^5) \nu^\lambda) + (d_j^\lambda C_{\kappa\lambda}^\dagger \gamma^\mu (1 + \gamma^5) u_j^\lambda)) + \\
& \frac{ig}{2M\sqrt{2}} \phi^+ (-m_e^* (\bar{\nu}^\lambda U^{lep}{}_{\lambda\kappa} (1 - \gamma^5) e^\kappa) + m_\nu^\lambda (\bar{\nu}^\lambda U^{lep}{}_{\lambda\kappa} (1 + \gamma^5) e^\kappa)) + \\
& \frac{ig}{2M\sqrt{2}} \phi^- (m_e^* (\bar{e}^\lambda U^{lep}{}_{\lambda\kappa} (1 + \gamma^5) \nu^\kappa) - m_\nu^\lambda (\bar{e}^\lambda U^{lep}{}_{\lambda\kappa} (1 - \gamma^5) \nu^\kappa)) - \frac{2m_e^\lambda}{M} H (\bar{\nu}^\lambda \nu^\lambda) - \\
& \frac{2m_e^\lambda}{M} H (\bar{e}^\lambda e^\lambda) + \frac{ig}{2} \frac{m_e^\lambda}{M} \phi^0 (\bar{\nu}^\lambda \gamma^5 \nu^\lambda) - \frac{ig}{2} \frac{m_e^\lambda}{M} \phi^0 (\bar{e}^\lambda \gamma^5 e^\lambda) - \frac{1}{4} \bar{\nu}_\lambda M_{\lambda\kappa}^R (1 - \gamma_5) \hat{\nu}_\kappa - \\
& \frac{1}{4} \bar{\nu}_\lambda M_{\lambda\kappa}^R (1 - \gamma_5) \hat{\nu}_\kappa + \frac{ig}{2M\sqrt{2}} \phi^+ (-m_d^* (\bar{u}_j^\lambda C_{\lambda\kappa} (1 - \gamma^5) d_j^\kappa) + m_u^\lambda (\bar{u}_j^\lambda C_{\lambda\kappa} (1 + \gamma^5) d_j^\kappa)) + \\
& \frac{ig}{2M\sqrt{2}} \phi^- (m_d^* (\bar{d}_j^\lambda C_{\lambda\kappa}^\dagger (1 + \gamma^5) u_j^\kappa) - m_u^\lambda (\bar{d}_j^\lambda C_{\lambda\kappa}^\dagger (1 - \gamma^5) u_j^\kappa)) - \frac{2m_d^\lambda}{M} H (\bar{u}_j^\lambda u_j^\lambda) - \\
& \frac{2m_d^\lambda}{M} H (\bar{d}_j^\lambda d_j^\lambda) + \frac{ig}{2} \frac{m_d^\lambda}{M} \phi^0 (\bar{u}_j^\lambda \gamma^5 u_j^\lambda) - \frac{ig}{2} \frac{m_d^\lambda}{M} \phi^0 (\bar{d}_j^\lambda \gamma^5 d_j^\lambda) + \bar{G}^a \partial^2 G^a + g_s f^{abc} \partial_\mu \bar{G}^a G^b g_\mu^c + \\
& \bar{X}^+ (\partial^2 - M^2) X^+ + \bar{X}^- (\partial^2 - M^2) X^- + \bar{X}^0 (\partial^2 - \frac{M^2}{c_w^2}) X^0 + \bar{Y} \partial^2 Y + ig c_w W_\mu^+ (\partial_\mu \bar{X}^0 X^- - \\
& \partial_\mu \bar{X}^+ X^0) + ig s_w W_\mu^+ (\partial_\mu \bar{Y} X^- - \partial_\mu \bar{X}^+ Y) + ig c_w W_\mu^- (\partial_\mu \bar{X}^- X^0 - \\
& \partial_\mu \bar{X}^0 X^+) + ig s_w W_\mu^- (\partial_\mu \bar{X}^- Y - \partial_\mu \bar{Y} X^+) + ig c_w Z_\mu^0 (\partial_\mu \bar{X}^+ X^+ - \\
& \partial_\mu \bar{X}^- X^-) + ig s_w A_\mu (\partial_\mu \bar{X}^+ X^+) - \\
& \partial_\mu \bar{X}^- X^-) - \frac{1}{2}g M \left(\bar{X}^+ X^+ H + \bar{X}^- X^- H + \frac{1}{2} \bar{X}^0 X^0 H \right) + \frac{1-2c_w^2}{2c_w} ig M (\bar{X}^+ X^0 \phi^+ - \bar{X}^- X^0 \phi^-) + \\
& \frac{1}{2c_w} ig M (\bar{X}^0 X^- \phi^+ - \bar{X}^0 X^+ \phi^-) + ig M s_w (\bar{X}^0 X^- \phi^+ - \bar{X}^0 X^+ \phi^-) + \\
& \frac{1}{2}ig M (\bar{X}^+ X^+ \phi^0 - \bar{X}^- X^- \phi^0) .
\end{aligned}$$

A lagrangiana do modelo padrão

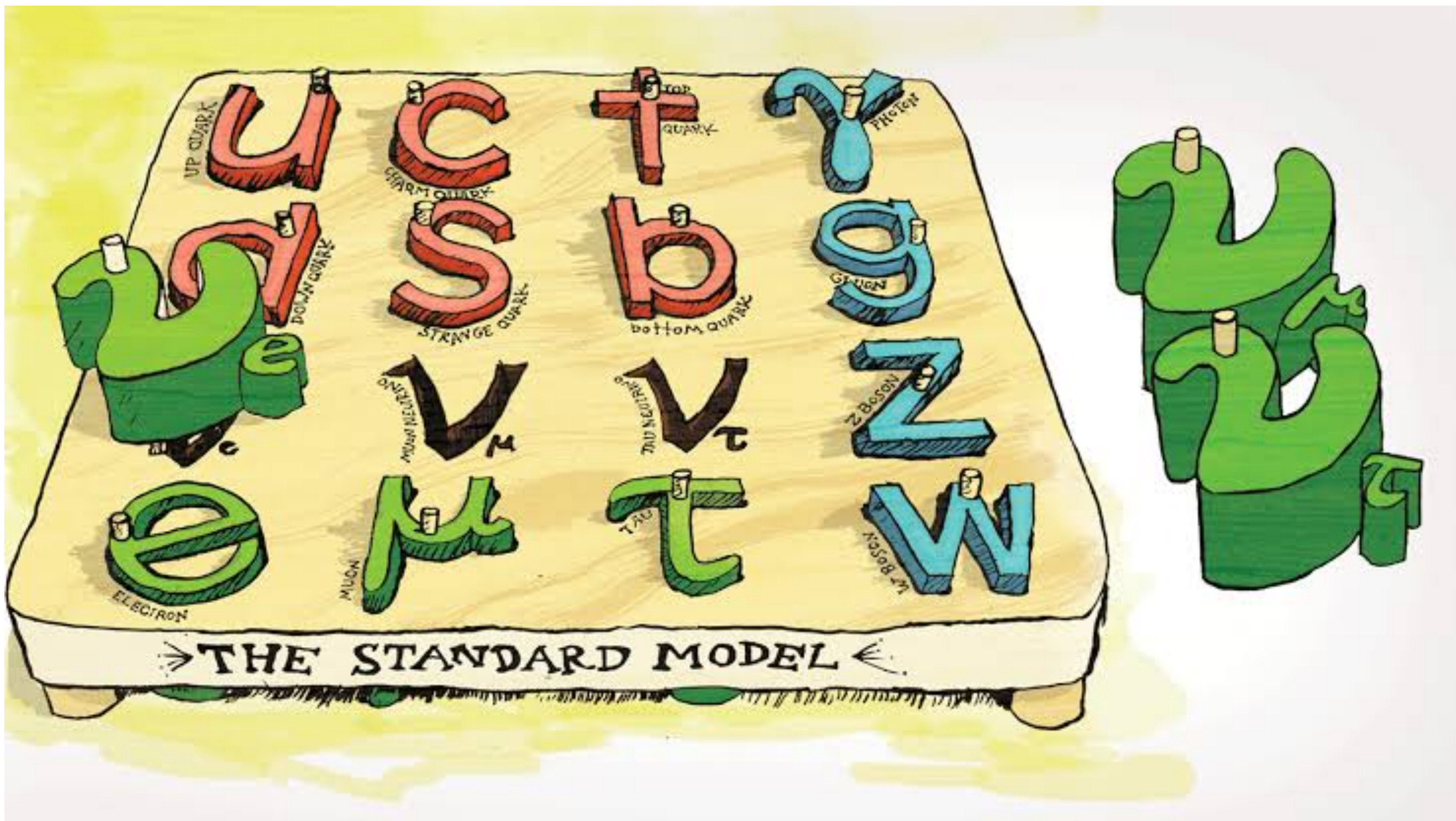
$$SU(3)_C \otimes SU(2)_L \otimes U(1)_Y$$



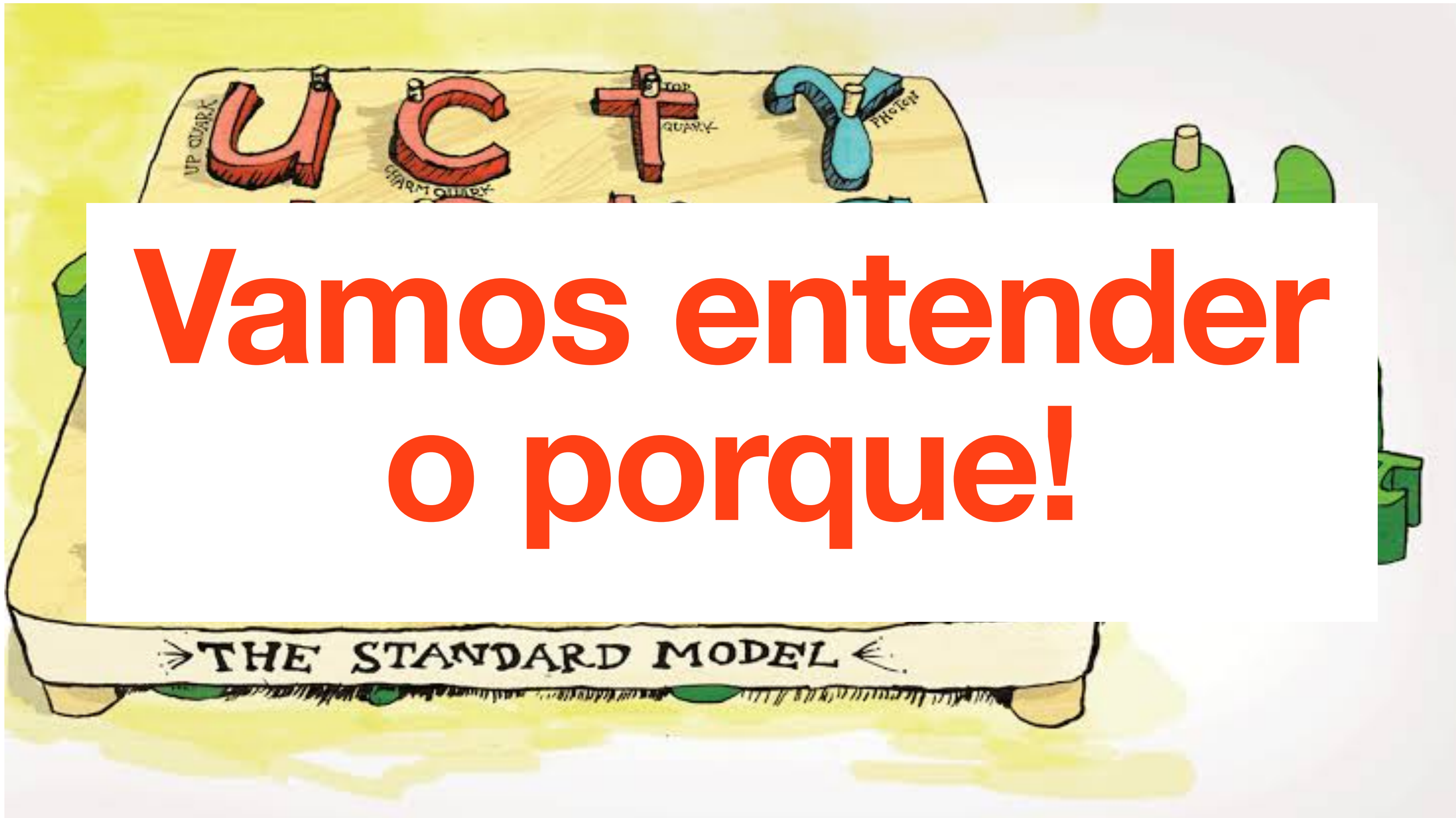
A “universalidade” das interações de Fermi foi crucial no estudo de simetrias da teoria

$$\begin{aligned}
\mathcal{L}_{SM} = & -\frac{1}{4} \partial_\nu g_\mu^a \partial_\nu g_\mu^a - g_s f^{abc} \partial_\mu g_\mu^a g_\mu^b g_\mu^c - \frac{1}{4} g_s^2 f^{abc} f^{ade} g_\mu^b g_\mu^c g_\mu^d g_\mu^e - \partial_\nu W_\mu^+ \partial_\nu W_\mu^- - \\
& M^2 W_\mu^+ W_\mu^- - \frac{1}{2} \partial_\nu Z_\mu^0 \partial_\nu Z_\mu^0 - \frac{1}{2c_w^2} M^2 Z_\mu^0 Z_\mu^0 - \frac{1}{2} \partial_\mu A_\nu \partial_\mu A_\nu - ig c_w (\partial_\nu Z_\mu^0 (W_\mu^+ W_\nu^- - \\
& W_\nu^+ W_\mu^-) - Z_\mu^0 (W_\mu^+ \partial_\nu W_\nu^- - W_\mu^- \partial_\nu W_\mu^+) + Z_\mu^0 (W_\nu^+ \partial_\nu W_\mu^- - W_\nu^- \partial_\nu W_\mu^+)) - \\
& ig s_w (\partial_\nu A_\mu (W_\mu^+ W_\nu^- - W_\nu^+ W_\mu^-) - A_\nu (W_\mu^+ \partial_\nu W_\mu^- - W_\mu^- \partial_\nu W_\mu^+) + A_\mu (W_\nu^+ \partial_\nu W_\mu^- - \\
& W_\nu^- \partial_\nu W_\mu^+)) - \frac{1}{2} g^2 W_\mu^+ W_\mu^- W_\nu^+ W_\nu^- + \frac{1}{2} g^2 W_\mu^+ W_\nu^+ W_\mu^- W_\nu^- + g^2 c_w^2 (Z_\mu^0 W_\mu^+ Z_\nu^0 W_\nu^- - \\
& Z_\mu^0 Z_\nu^0 W_\mu^+ W_\nu^-) + g^2 s_w^2 (A_\mu W_\mu^+ A_\nu W_\nu^- - A_\mu A_\nu W_\mu^+ W_\nu^-) + g^2 s_w c_w (A_\mu Z_\nu^0 (W_\mu^+ W_\nu^- - \\
& W_\nu^+ W_\mu^-) - 2 A_\mu Z_\mu^0 W_\nu^+ W_\nu^-) - \frac{1}{2} \partial_\mu H \partial_\mu H - 2 M^2 \alpha_h H^2 - \partial_\mu \phi^+ \partial_\mu \phi^- - \frac{1}{2} \partial_\mu \phi^0 \partial_\mu \phi^0 - \\
& \beta_h \left(\frac{2M^2}{g^2} + \frac{2M}{g} H + \frac{1}{2} (H^2 + \phi^0 \phi^0 + 2\phi^+ \phi^-) \right) + \frac{2M^4}{g^2} \alpha_h - \\
& g \alpha_h M (H^3 + H \phi^0 \phi^0 + 2H \phi^+ \phi^-) - \\
& \frac{1}{8} g^2 \alpha_h (H^4 + (\phi^0)^4 + 4(\phi^+ \phi^-)^2 + 4(\phi^0)^2 \phi^+ \phi^- + 4H^2 \phi^+ \phi^- + 2(\phi^0)^2 H^2) - \\
& g M W_\mu^+ W_\mu^- H - \frac{1}{2} g \frac{M}{c_w^2} Z_\mu^0 Z_\mu^0 H - \\
& \frac{1}{2} ig (W_\mu^+ (\phi^0 \partial_\mu \phi^- - \phi^- \partial_\mu \phi^0) - W_\mu^- (\phi^0 \partial_\mu \phi^+ - \phi^+ \partial_\mu \phi^0)) + \\
& \frac{1}{2} g (W_\mu^+ (H \partial_\mu \phi^- - \phi^- \partial_\mu H) + W_\mu^- (H \partial_\mu \phi^+ - \phi^+ \partial_\mu H)) + \frac{1}{2} g \frac{1}{c_w} (Z_\mu^0 (H \partial_\mu \phi^0 - \phi^0 \partial_\mu H) + \\
& M (\frac{1}{c_w} Z_\mu^0 \partial_\mu \phi^0 + W_\mu^+ \partial_\mu \phi^- + W_\mu^- \partial_\mu \phi^+) - ig \frac{s_w^2}{c_w} M Z_\mu^0 (W_\mu^+ \phi^- - W_\mu^- \phi^+) + ig s_w M A_\mu (W_\mu^+ \phi^- - \\
& W_\mu^- \phi^+) - ig \frac{1-2c_w^2}{2c_w} Z_\mu^0 (\phi^+ \partial_\mu \phi^- - \phi^- \partial_\mu \phi^+) + ig s_w A_\mu (\phi^+ \partial_\mu \phi^- - \phi^- \partial_\mu \phi^+) - \\
& \frac{1}{4} g^2 W_\mu^+ W_\mu^- (H^2 + (\phi^0)^2 + 2\phi^+ \phi^-) - \frac{1}{8} g \frac{1}{c_w^2} Z_\mu^0 Z_\mu^0 (H^2 + (\phi^0)^2 + 2(2s_w^2 - 1)^2 \phi^+ \phi^-) - \\
& \frac{1}{2} g^2 \frac{s_w^2}{c_w} Z_\mu^0 \phi^0 (W_\mu^+ \phi^- + W_\mu^- \phi^+) - \frac{1}{2} ig^2 \frac{s_w^2}{c_w} Z_\mu^0 H (W_\mu^+ \phi^- - W_\mu^- \phi^+) + \frac{1}{2} g^2 s_w A_\mu \phi^0 (W_\mu^+ \phi^- + \\
& W_\mu^- \phi^+) + \frac{1}{2} ig^2 s_w A_\mu H (W_\mu^+ \phi^- - W_\mu^- \phi^+) - g^2 \frac{s_w}{c_w} (2c_w^2 - 1) Z_\mu^0 A_\mu \phi^+ \phi^- - \\
& g^2 s_w^2 A_\mu A_\mu \phi^+ \phi^- + \frac{1}{2} ig_s \lambda_{ij}^a (\bar{q}_i^a \gamma^\mu q_j^a) g_\mu^a - \bar{e}^\lambda (\gamma \partial + m_\nu^\lambda) e^\lambda - \bar{u}_j^\lambda (\gamma \partial + \\
& m_\nu^\lambda) u_j^\lambda - \bar{d}_j^\lambda (\gamma \partial + m_d^\lambda) d_j^\lambda + ig s_w A_\mu (-(\bar{e}^\lambda \gamma^\mu e^\lambda) + \frac{2}{3} (\bar{u}_j^\lambda \gamma^\mu u_j^\lambda) - \frac{1}{3} (\bar{d}_j^\lambda \gamma^\mu d_j^\lambda)) + \\
& \frac{ig}{4c_w} Z_\mu^0 \{(\bar{\nu}^\lambda \gamma^\mu (1 + \gamma^5) \nu^\lambda) + (\bar{e}^\lambda \gamma^\mu (4s_w^2 - 1 - \gamma^5) e^\lambda) + (d_j^\lambda \gamma^\mu (\frac{4}{3}s_w^2 - 1 - \gamma^5) d_j^\lambda) + \\
& (\bar{u}_j^\lambda \gamma^\mu (1 - \frac{8}{3}s_w^2 + \gamma^5) u_j^\lambda)\} + \frac{ig}{2\sqrt{2}} W_\mu^+ ((\bar{\nu}^\lambda \gamma^\mu (1 + \gamma^5) U^{lep}{}_{\lambda\kappa} e^\kappa) + (\bar{u}_j^\lambda \gamma^\mu (1 + \gamma^5) C_{\lambda\kappa} d_j^\kappa)) + \\
& \frac{ig}{2\sqrt{2}} W_\mu^- ((\bar{e}^\kappa U^{lep}{}_{\kappa\lambda} \gamma^\mu (1 + \gamma^5) \nu^\lambda) + (d_j^\lambda C_{\kappa\lambda}^\dagger \gamma^\mu (1 + \gamma^5) u_j^\lambda)) + \\
& \frac{ig}{2M\sqrt{2}} \phi^+ (-m_e^e (\bar{\nu}^\lambda U^{lep}{}_{\lambda\kappa} (1 - \gamma^5) e^\kappa) + m_\nu^\lambda (\bar{\nu}^\lambda U^{lep}{}_{\lambda\kappa} (1 + \gamma^5) e^\kappa)) + \\
& \frac{ig}{2M\sqrt{2}} \phi^- (m_e^e (\bar{e}^\lambda U^{lep}{}_{\lambda\kappa} (1 + \gamma^5) \nu^\kappa) - m_\nu^\lambda (\bar{e}^\lambda U^{lep}{}_{\lambda\kappa} (1 - \gamma^5) \nu^\kappa)) - \frac{2m_e^\lambda}{M} H (\bar{\nu}^\lambda \nu^\lambda) - \\
& \frac{2m_e^\lambda}{M} H (\bar{e}^\lambda e^\lambda) + \frac{ig}{2} \frac{m_e^\lambda}{M} \phi^0 (\bar{\nu}^\lambda \gamma^5 \nu^\lambda) - \frac{ig}{2} \frac{m_e^\lambda}{M} \phi^0 (\bar{e}^\lambda \gamma^5 e^\lambda) - \frac{1}{4} \bar{\nu}_\lambda M_{\lambda\kappa}^R (1 - \gamma_5) \hat{\nu}_\kappa - \\
& \frac{1}{4} \bar{\nu}_\lambda M_{\lambda\kappa}^R (1 - \gamma_5) \hat{\nu}_\kappa + \frac{ig}{2M\sqrt{2}} \phi^+ (-m_d^a (\bar{u}_j^a (1 - \gamma^5) d_j^a) + m_u^a (\bar{u}_j^a C_{\lambda\kappa} (1 + \gamma^5) d_j^a)) + \\
& \frac{ig}{2M\sqrt{2}} \phi^- (m_d^a (\bar{d}_j^a C_{\lambda\kappa}^\dagger (1 + \gamma^5) u_j^\kappa) - m_u^\kappa (\bar{d}_j^a C_{\lambda\kappa}^\dagger (1 - \gamma^5) u_j^\kappa)) - \frac{2m_d^\lambda}{M} H (\bar{u}_j^\lambda u_j^\lambda) - \\
& + g_s f^{abc} \partial_\mu \bar{G}^a G^b g_\mu^c + \\
& + ig c_w W_\mu^+ (\partial_\mu \bar{X}^0 X^- - \\
& \partial_\mu \bar{X}^- X^0 - \\
& \partial_\mu \bar{X}^+ X^+ - \\
& M (\bar{X}^+ X^0 \phi^+ - \bar{X}^- X^0 \phi^-) + \\
& \frac{1}{2c_w} ig M (\bar{X}^0 X^- \phi^+ - \bar{X}^0 X^+ \phi^-) + ig M s_w (\bar{X}^0 X^- \phi^+ - \bar{X}^0 X^+ \phi^-) + \\
& \frac{1}{2} ig M (\bar{X}^+ X^+ \phi^0 - \bar{X}^- X^- \phi^0) .
\end{aligned}$$

Porém....



Porém....



Como detectar partículas?

$$N_{\text{evts}} \sim T \rho V \sigma \phi$$

Como detectar partículas?

$$N_{\text{evts}} \sim T^\rho V \sigma \phi$$

Tempo tomando dados

Como detectar partículas?

$$N_{\text{evts}} \sim T \rho V \sigma \phi$$

Números de alvos por volume

Como detectar partículas?

$$N_{\text{evts}} \sim T \rho V \sigma \phi$$

Tamanho do detector

Como detectar partículas?

$$N_{\text{evts}} \sim T \rho V \sigma \phi$$

Tamanho do detector

Os três até agora dependem do experimento e material

Como detectar partículas?

$$N_{\text{evts}} \sim T \rho V \sigma \phi$$

Probabilidade de interação

“Seção de choque”

Como detectar partículas?

$$N_{\text{evts}} \sim T \rho V \sigma \phi$$

Probabilidade de interação

“Seção de choque”

Depende da Física

Como detectar partículas?

$$N_{\text{evts}} \sim T \rho V \sigma \phi$$

Número de partículas por unidade de área e tempo
“Fluxo”

Como detectar partículas?

$$N_{\text{evts}} \sim T \rho V \sigma \phi$$

Número de partículas por unidade de área e tempo
“Fluxo”

Depende da fonte!

Como detectar partículas?

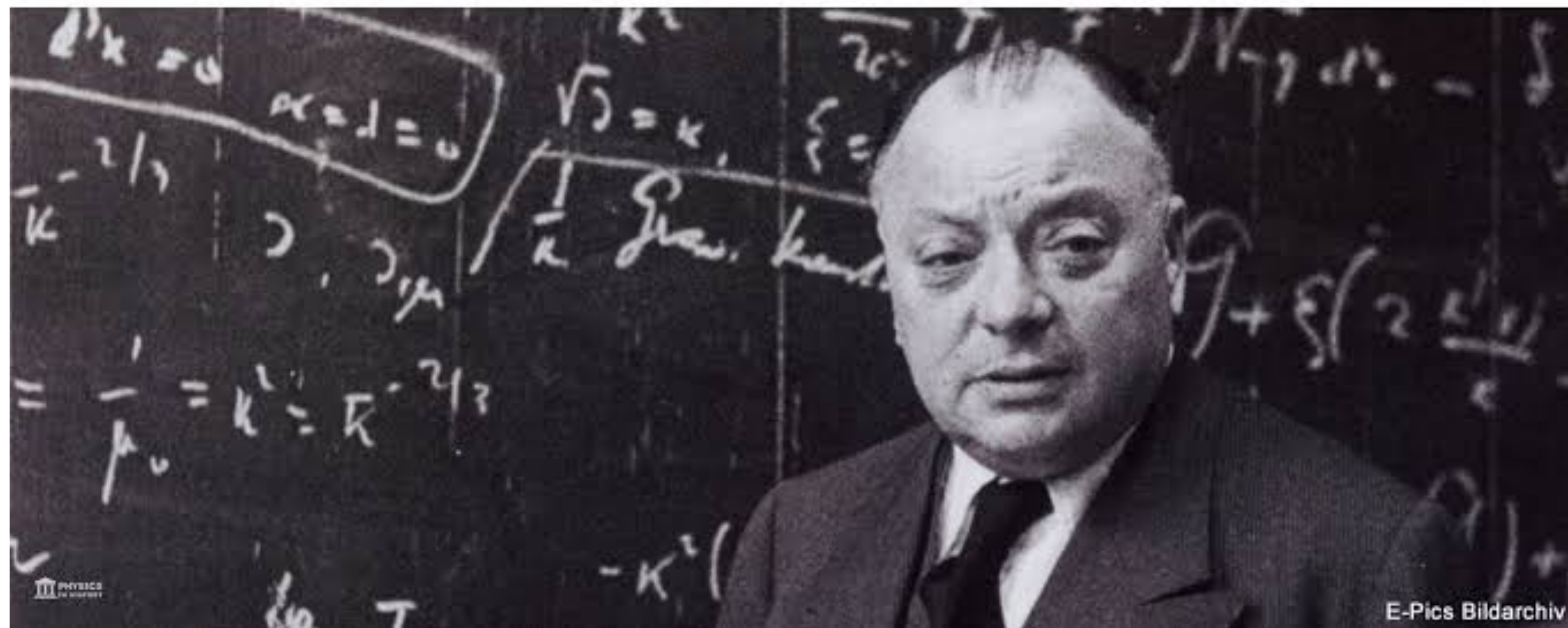
$$N_{\text{evts}} \sim T \rho V \sigma \phi$$



Neutrinos podem viajar até um ano luz em um bloco de chumbo sem interagir (dependendo da energia)!

“I have done a terrible thing: I have postulated a particle that cannot be detected. [the neutrino]”

WOLFGANG PAUL



Detecção do neutrino

Ingredientes: Fluxo alto & detectores enormes

**Estimativa: suponha 3 neutrinos por hora em
400 litros de água**

Detecção do neutrino

Ingredientes: Fluxo alto & detectores enormes

**Estimativa: suponha 3 neutrinos por hora em
400 litros de água**

$$\frac{10^{13}}{\text{cm}^2 \text{ s}} \times 10^{28} \times \sigma \approx \frac{3}{3600 \text{ s}}$$

Detecção do neutrino

Ingredientes: Fluxo alto & detectores enormes

**Estimativa: suponha 3 neutrinos por hora em
400 litros de água**

$$\frac{10^{13}}{\text{cm}^2 \text{ s}} \times 10^{28} \times \sigma \approx \frac{3}{3600 \text{ s}}$$

$$\sigma \approx 10^{-44} \text{ cm}^2$$

Detecção do neutrino

Ingredientes: Fluxo alto & detectores enormes

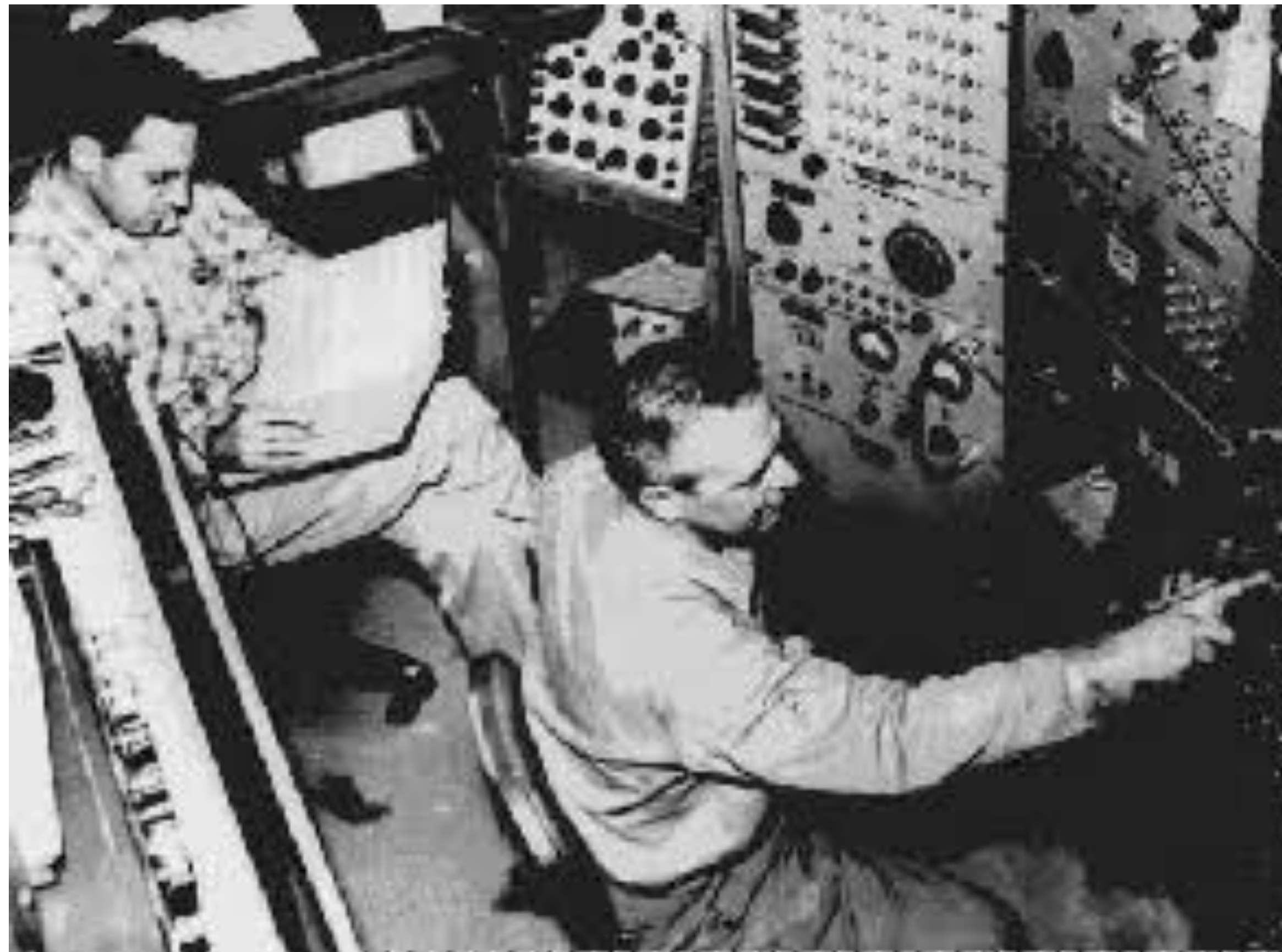
Estimativa: suponha 3 neutrinos por hora
400 litros de água

Se você jogar 10^{10} trilhões de neutrinos em uma área de 1 centímetro quadrado você, com sorte, terá uma interação por dia em detectores de centenas de toneladas

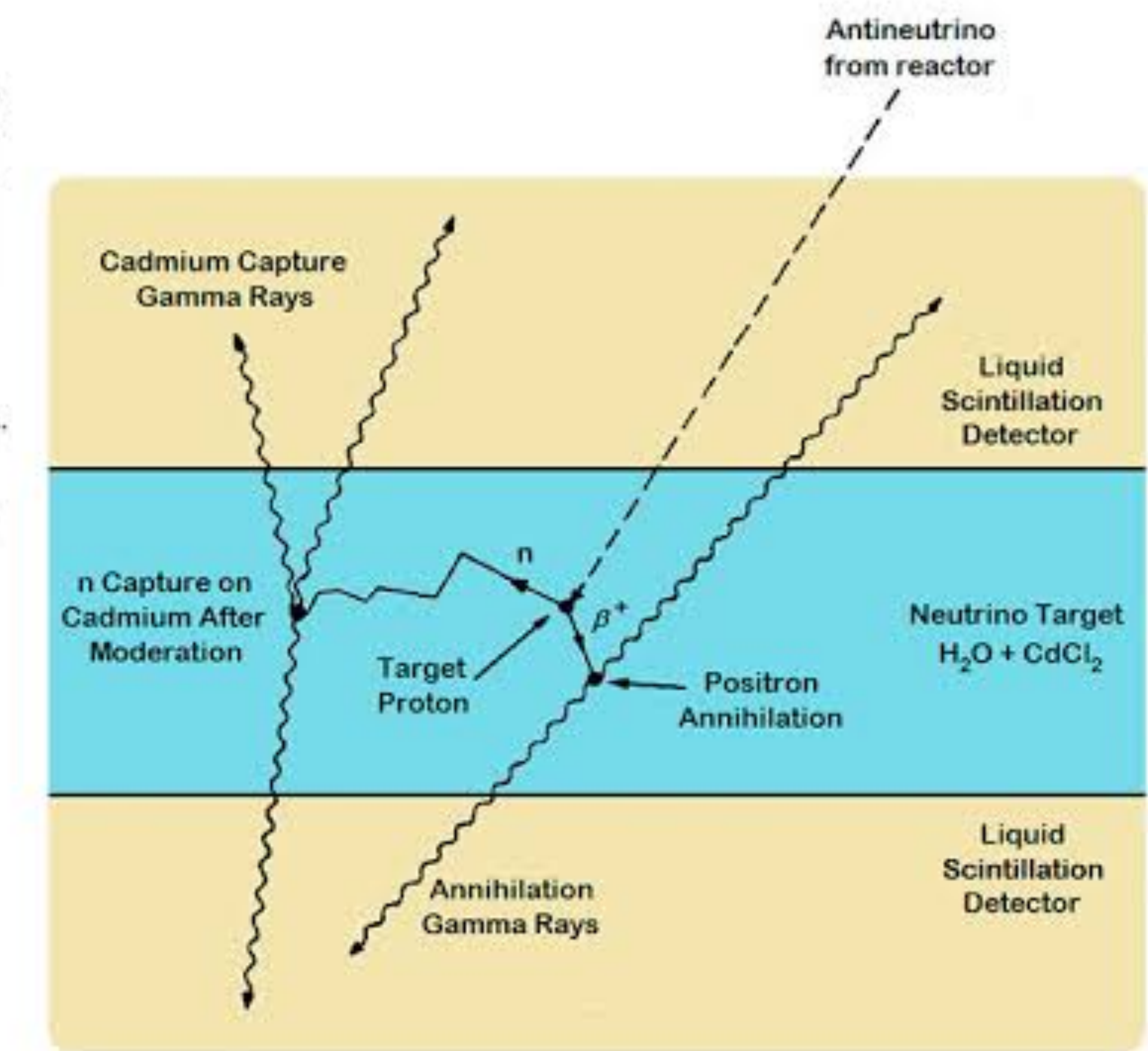
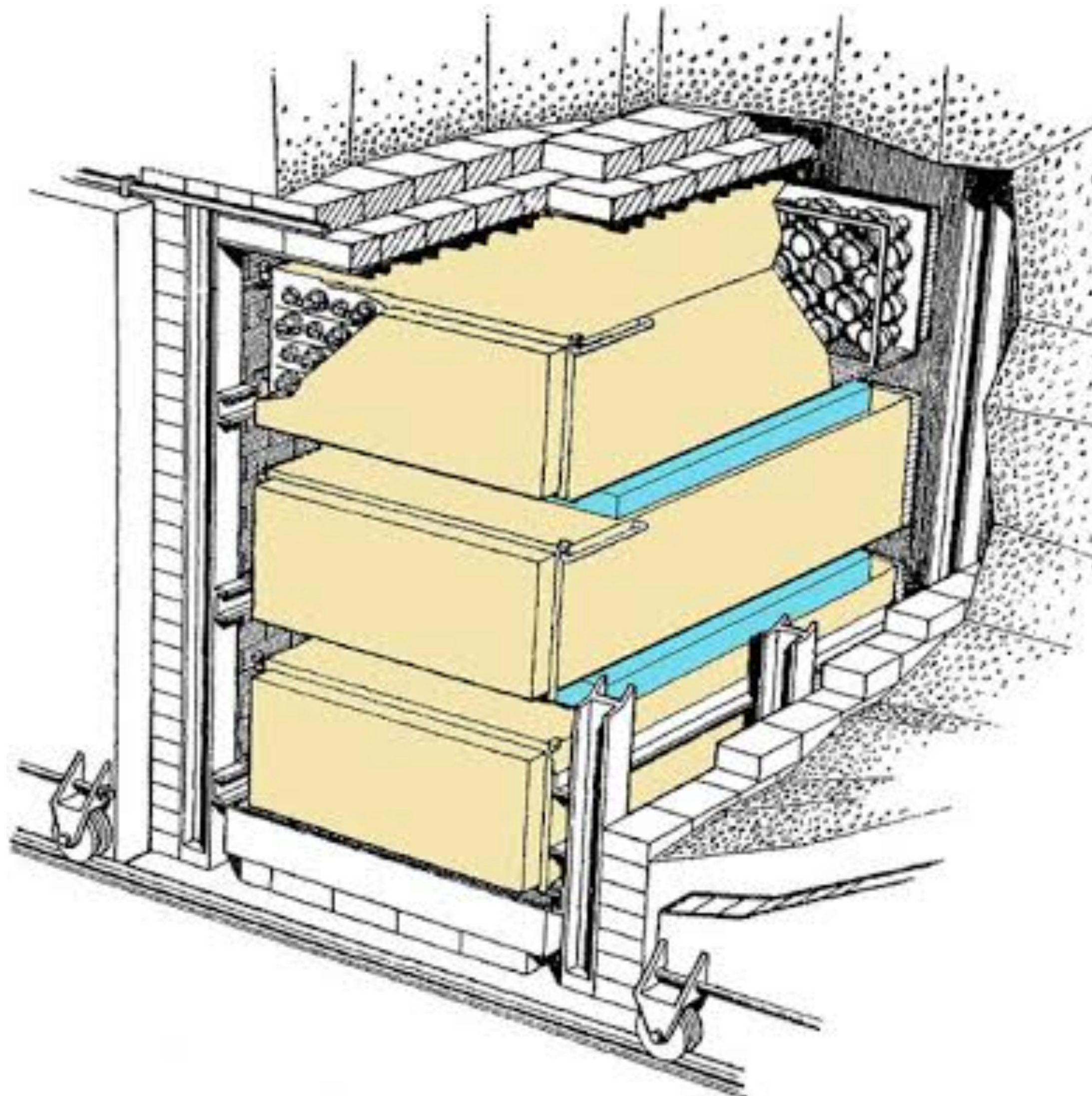
$$\nu \approx 10^{-44} \text{ cm}^2 \text{ s}^{-1}$$

Detecção do neutrino

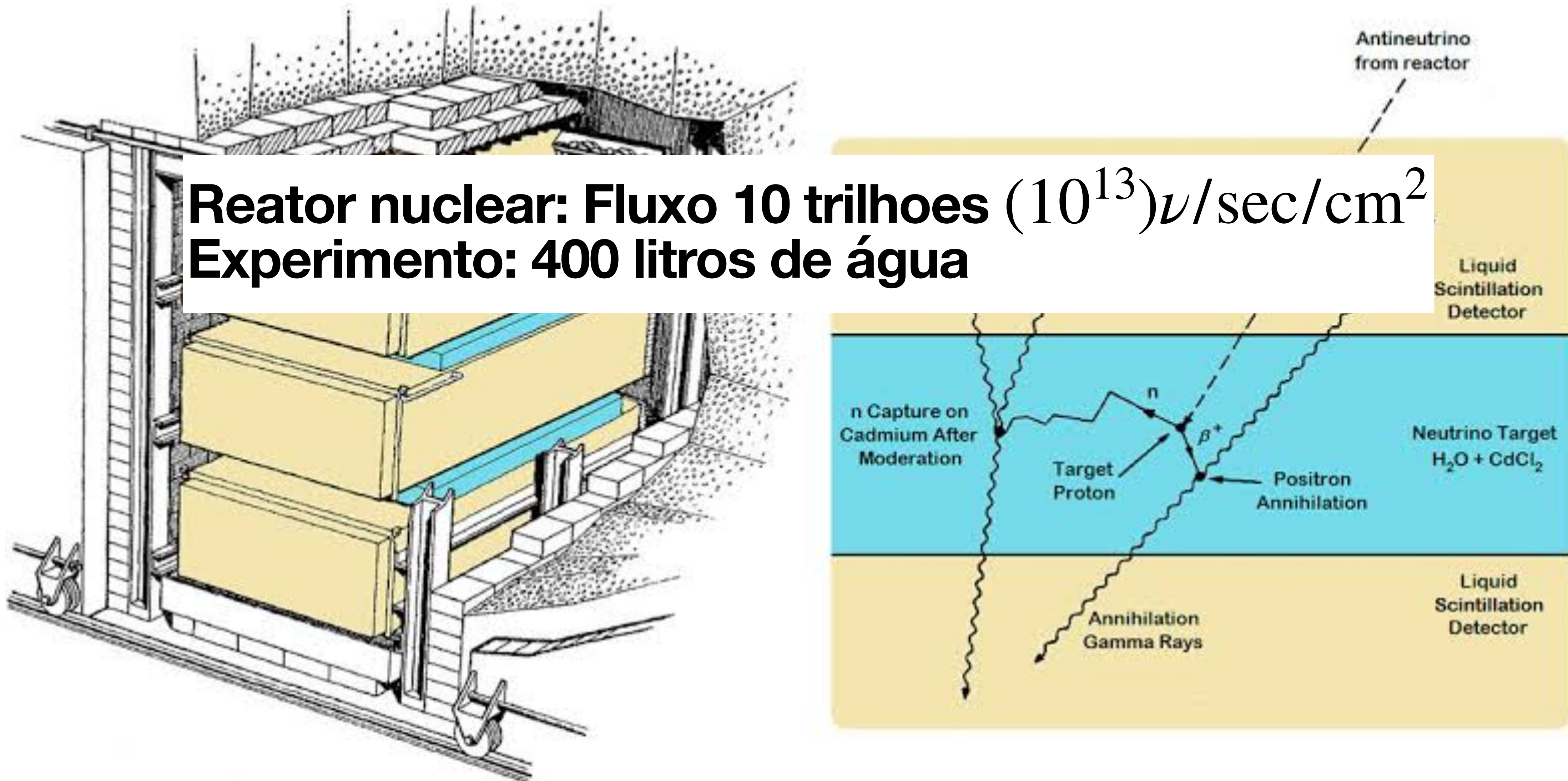
Reines & Cowan



Detecção do neutrino



Detecção do neutrino



RADIO-SCHWEIZ AG.

RADIOGRAMM - RADIOPHOTOGRAFIE

RADIO-SUISSE S.A.

SBZ1311 ZHW UW1844 FM BZJ116 WH CHICAGOILL 56 14 1310

PLC 0025,3 -

Erhalten - Reçu

„VIA RADIOSUISSE“

Befördert - Transmis

von - de

Stunde - Heure

NAME - NOM

nach - à

Stunde - Heure

NAME - NOM

NEWYORK

100

Brieftelegramm

74 15 VI. 56 --1 10
No.

NACHLASS
PROF. W. PAULI

PROFESSOR W. PAULI
ZURICH UNIVERSITY ZURICH

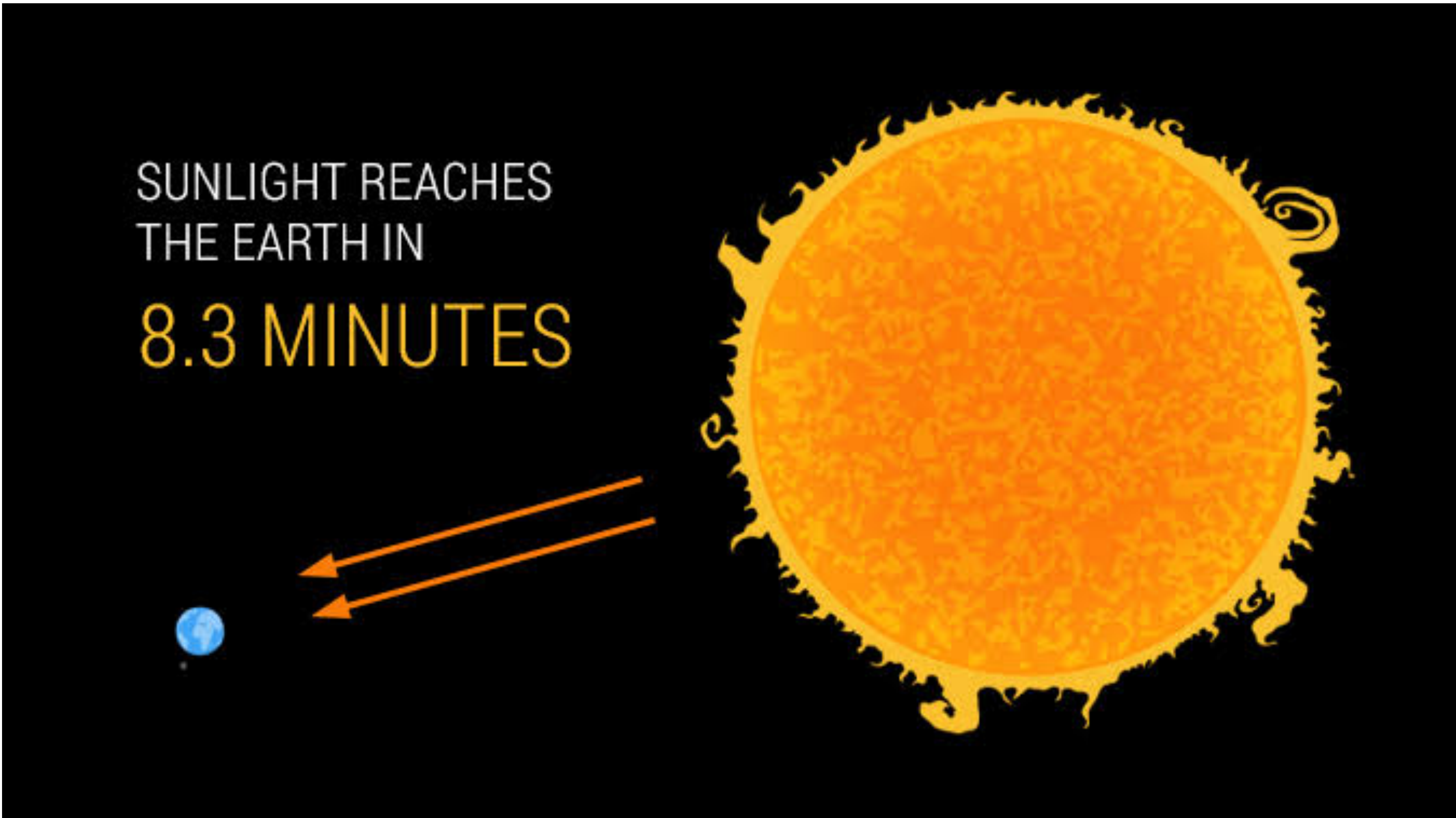
NACHLASS
PROF. W. PAULI

Per Post
①

WE ARE HAPPY TO INFORM YOU THAT WE HAVE DEFINITELY DETECTED
NEUTRINOS FROM FISSION FRAGMENTS BY OBSERVING INVERSE BETA DECAY
OF PROTONS OBSERVED CROSS SECTION AGREES WELL WITH EXPECTED SIX
TIMES TEN TO MINUS FORTY FOUR SQUARE CENTIMETERS

FREDERICK REINES AND CLYDE COWN
BOX 1663 LOS ALAMOS NEW MEXICO

Neutrinos solares



Neutrinos solares



Neutrinos solares



Neutrinos solares

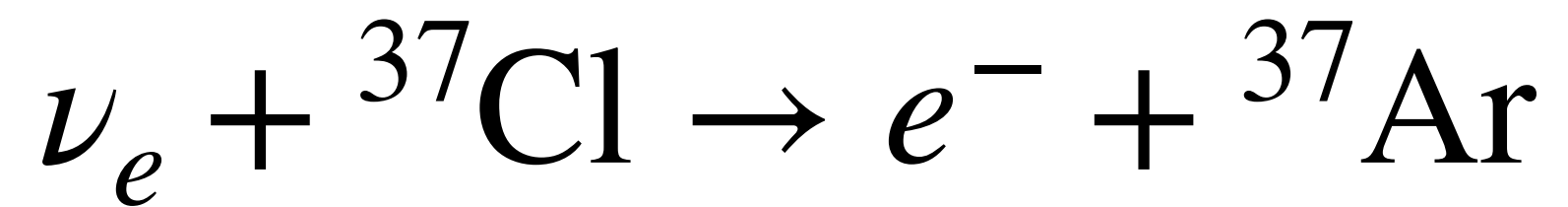
10^{38} neutrinos por segundo são produzidos no sol

Fluxo de 100 bilhões(10^{11})/cm²/sec na terra

65 bilhões neutrinos solares passam pela
área do tamanho do seu dedão por segundo



Neutrinos solares



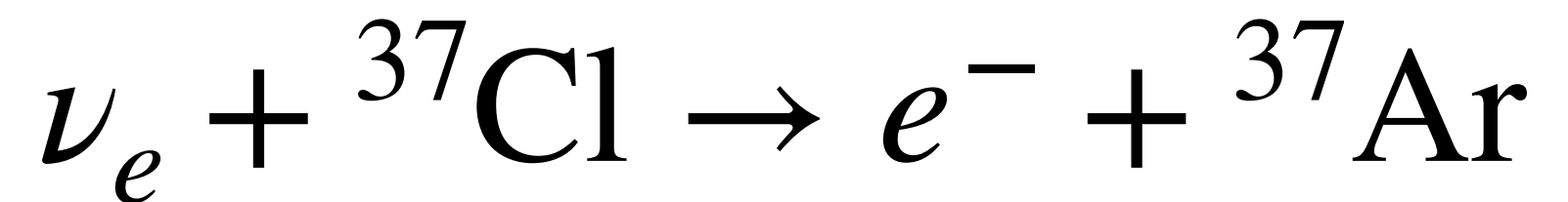
100000 galões de fluido de limpeza

1250 banheiras cheias

Homestake Mine



Neutrinos solares



100000 galões de fluido de limpeza

Porém uma surpresa:

$$\frac{\text{Número esperado}}{\text{Número previsto}} \approx 1/3$$

Homestake Mine



Mais tipos de neutrino

Até o momento estamos falando de apenas neutrinos produzidos com elétrons e positrons

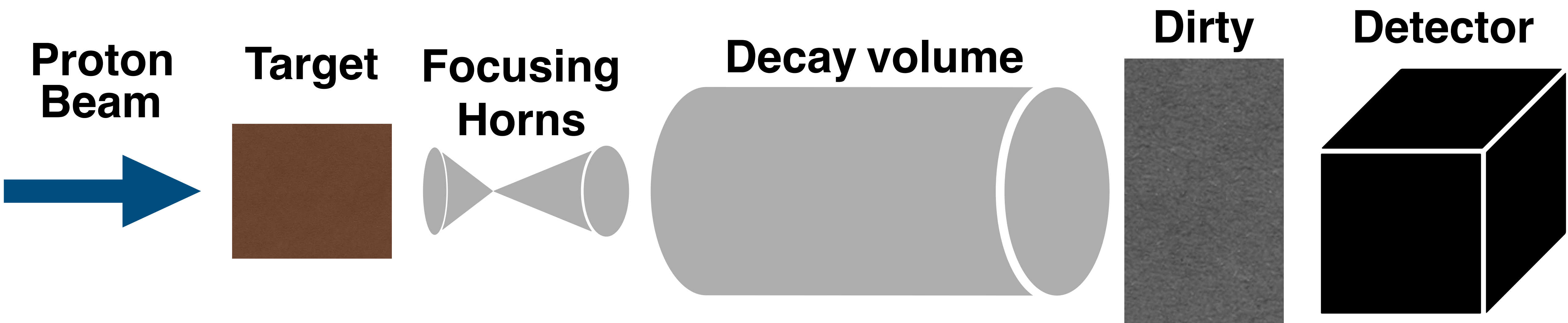
Mais tipos de neutrino

Até o momento estamos falando de apenas neutrinos produzidos com elétrons e positrons

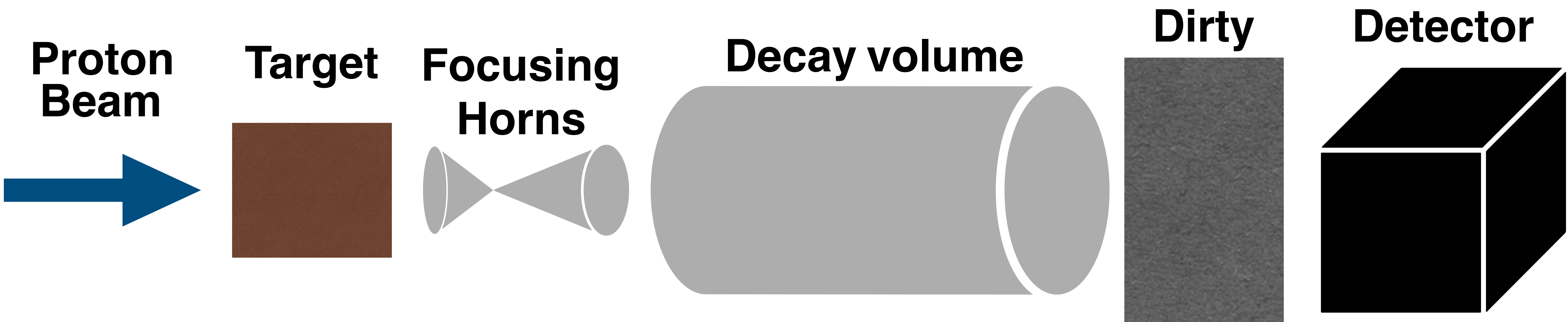
Mas será que neutrinos produzidos com outras partículas são os mesmos?

Como fazer um feixe de neutrinos?

Como fazer um feixe de neutrinos?



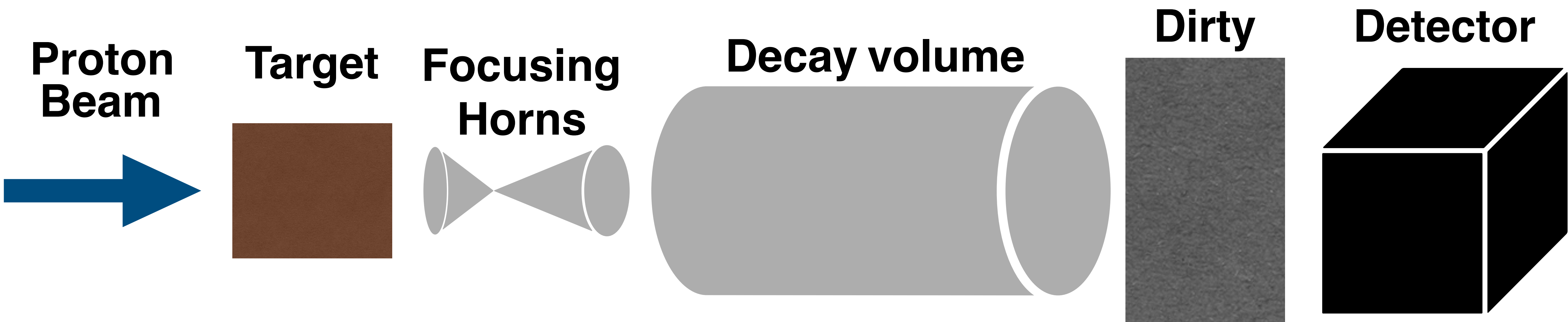
Como fazer um feixe de neutrinos?



Medem neutrinos vindo de decaimentos de, por exemplo:

$$\pi \rightarrow \mu \nu_\mu$$

Como fazer um feixe de neutrinos?



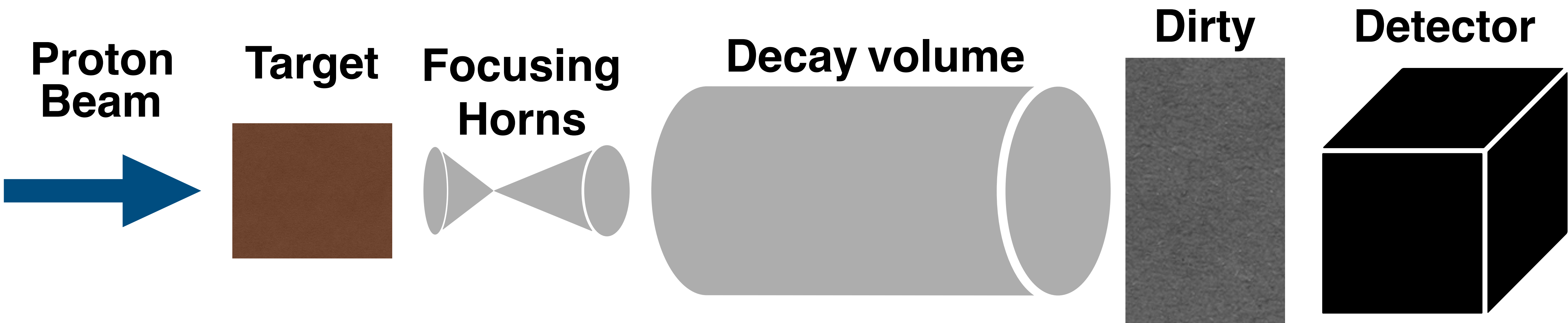
Medem neutrinos vindo de decaimentos de, por exemplo:

$$\pi \rightarrow \mu \nu_\mu$$

The first artificial source of pions was created in 1948 by César Lattes, Eugene Gardner, and their team at the University of California's cyclotron



Como fazer um feixe de neutrinos?



Medem neutrinos vindo de decaimentos de, por exemplo:

$$\pi \rightarrow \mu \nu_\mu$$

Quando os neutrinos interagem no detector, eles produzem muons ou eletrons?

Dois tipos de neutrinos



Photo from the Nobel Foundation archive.

Leon M. Lederman

Prize share: 1/3



Photo from the Nobel Foundation archive.

Melvin Schwartz

Prize share: 1/3

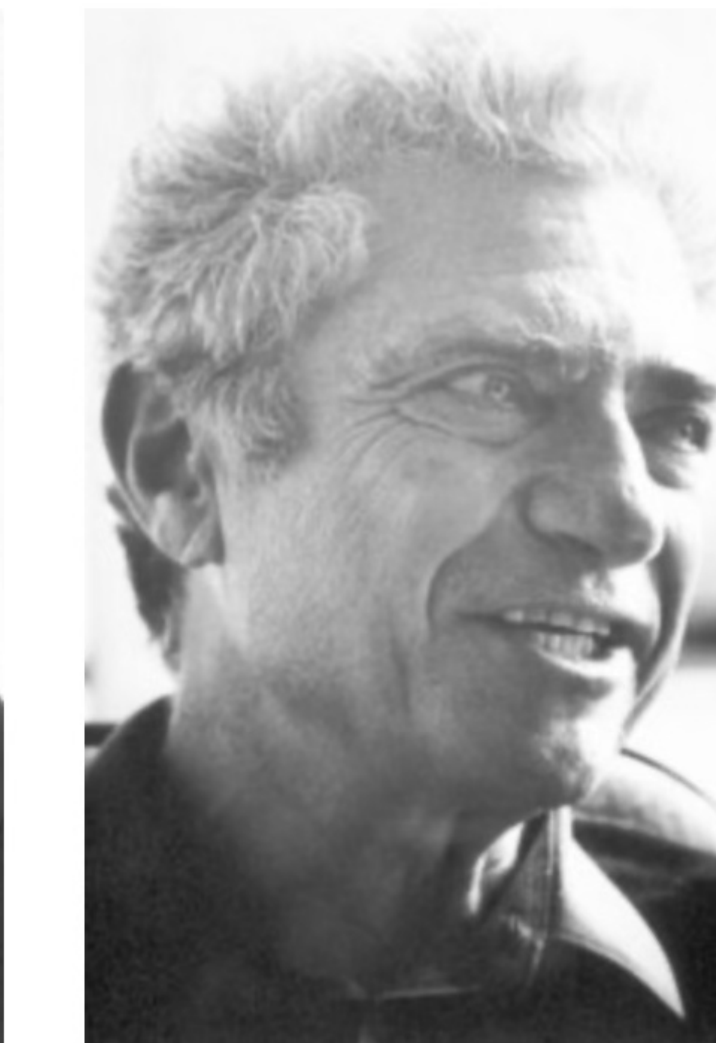


Photo from the Nobel Foundation archive.

Jack Steinberger

Prize share: 1/3

The Nobel Prize in Physics 1988 was awarded jointly to Leon M. Lederman, Melvin Schwartz and Jack Steinberger "for the neutrino beam method and the demonstration of the doublet structure of the leptons through the discovery of the muon neutrino"

Três tipos de neutrinos

O terceiro neutrino, o neutrino do tau, foi descoberto em 2000 no experimento DONUT



electron
neutrino

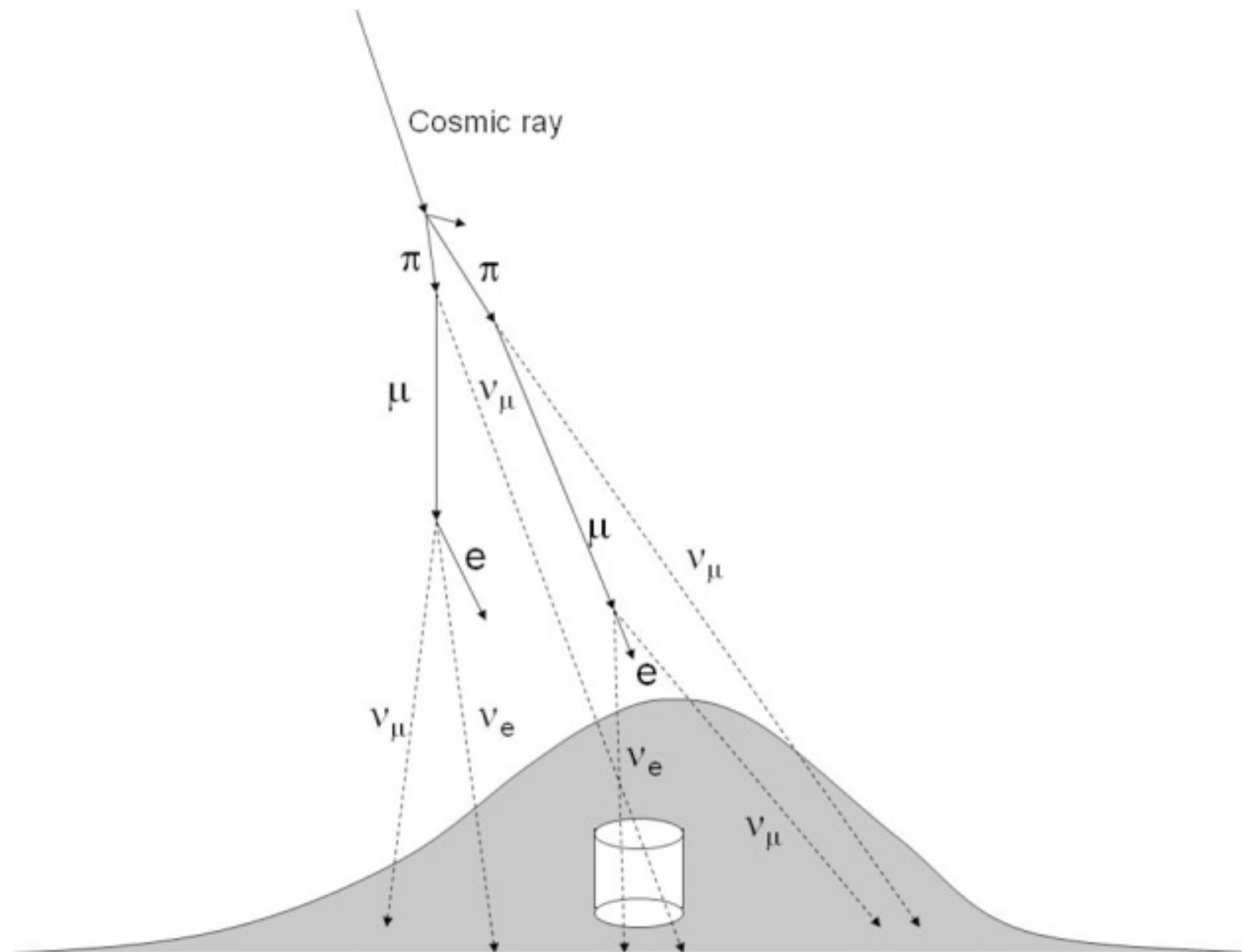


muon
neutrino

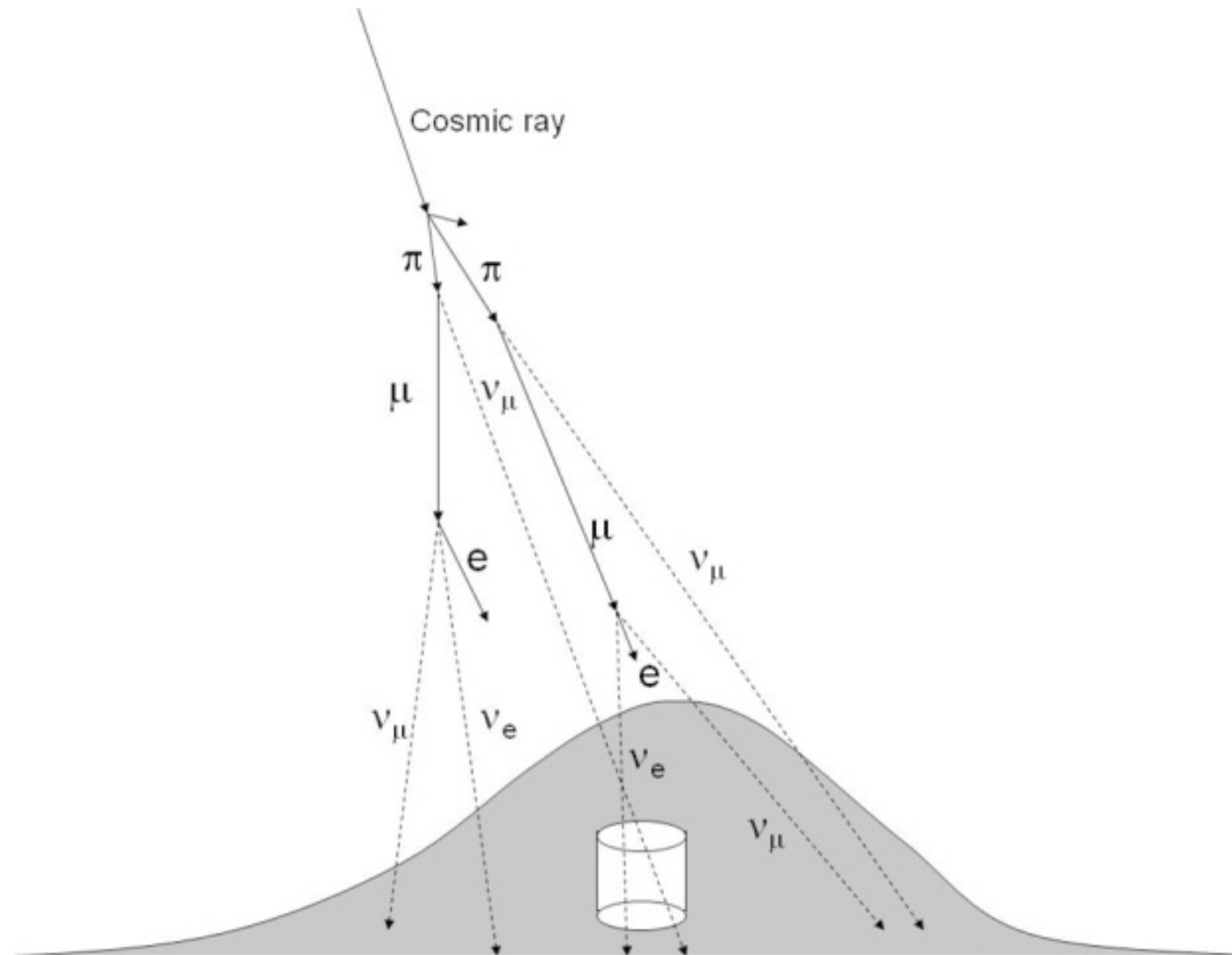


tau
neutrino

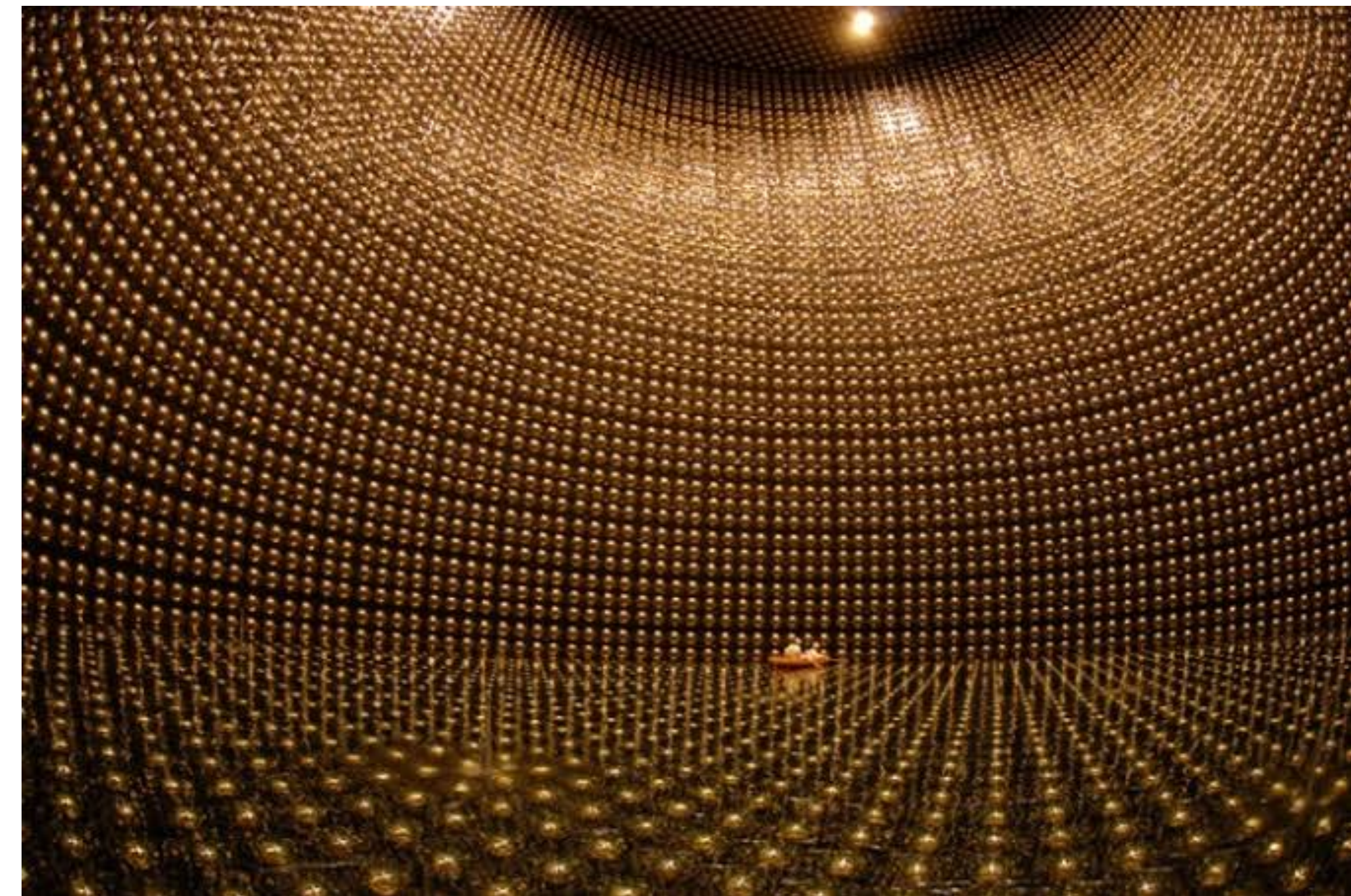
Neutrinos na atmosfera



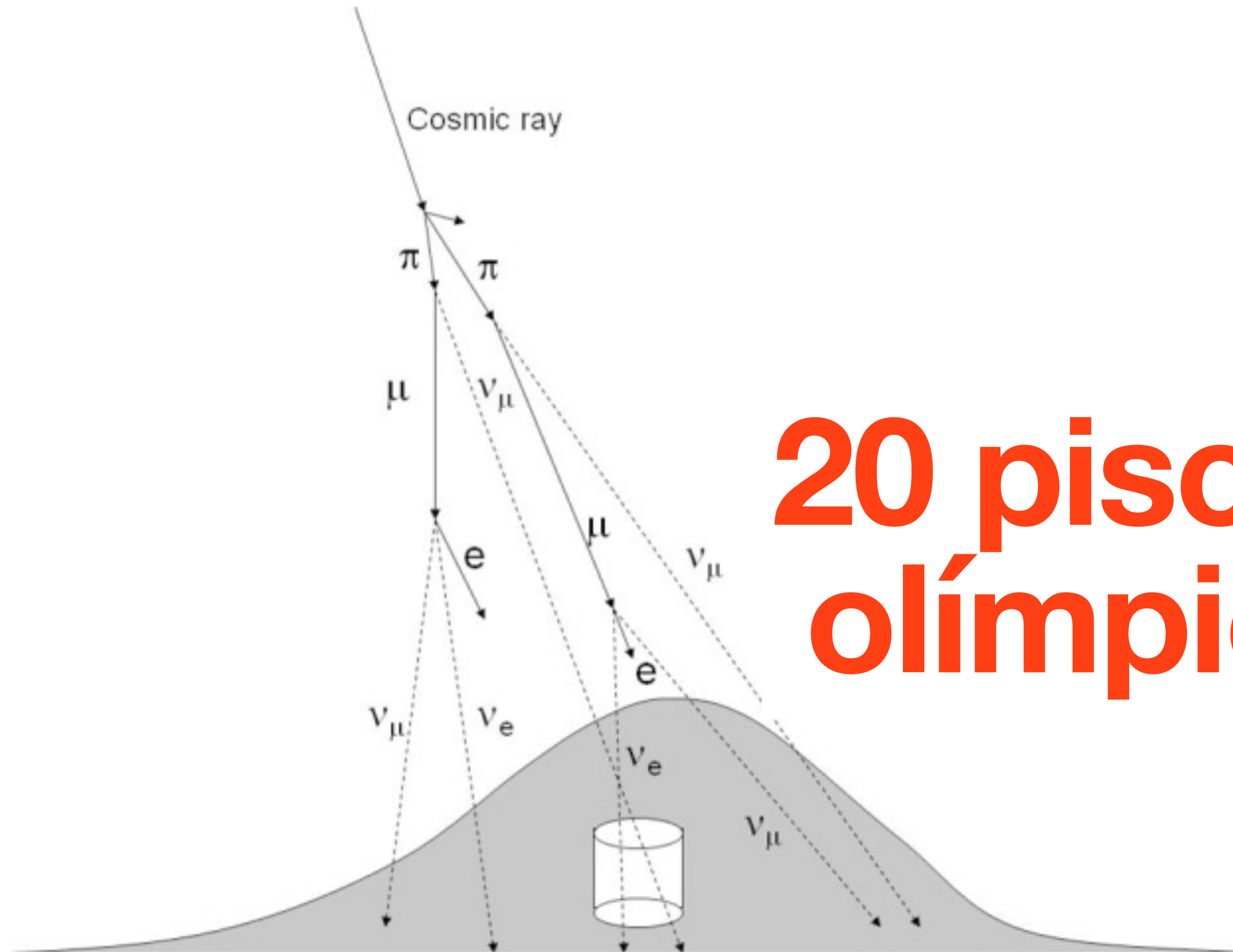
Neutrinos na atmosfera



**Super Kamiokande 50kt
water detector**

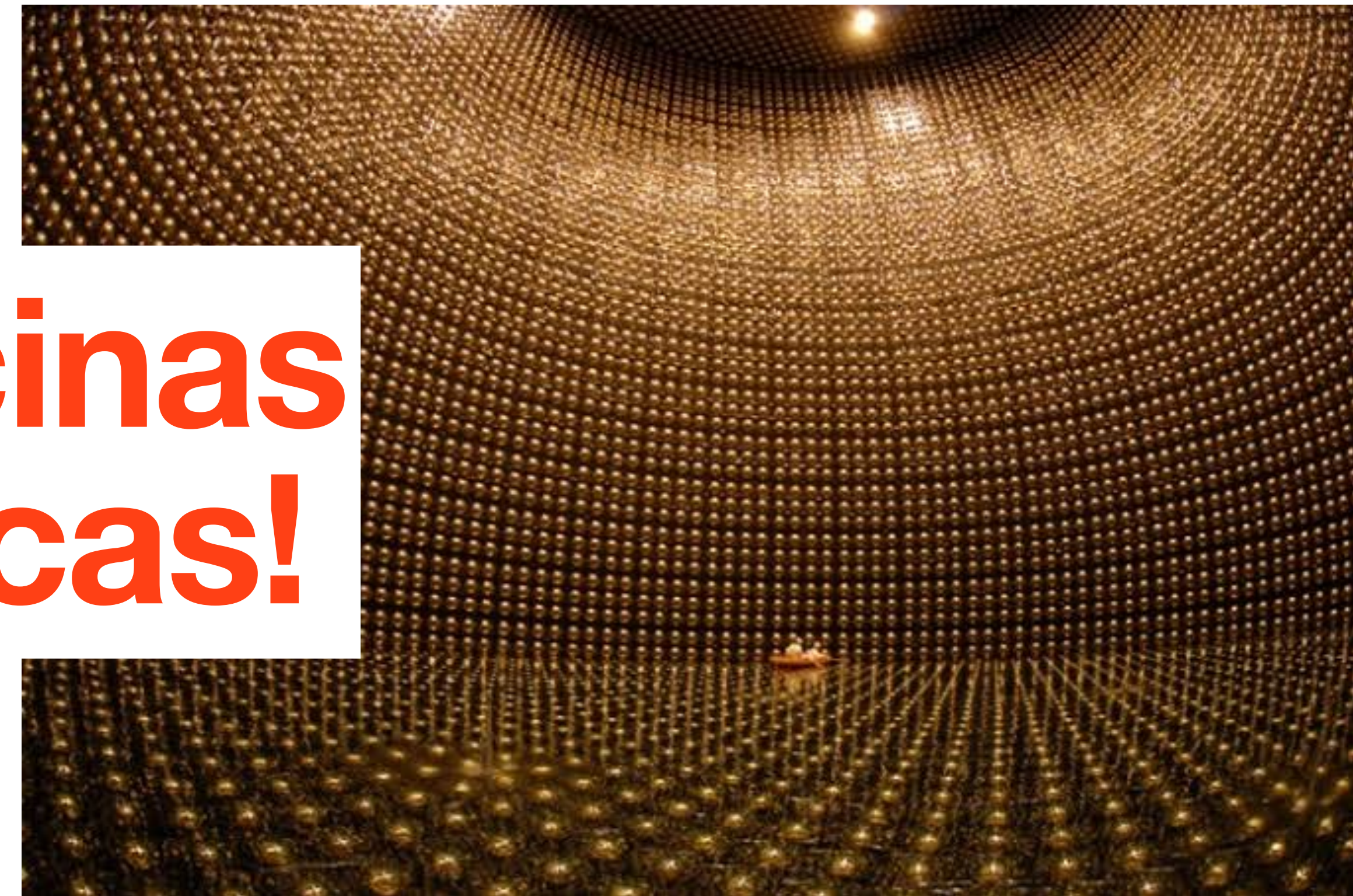


Neutrinos na atmosfera

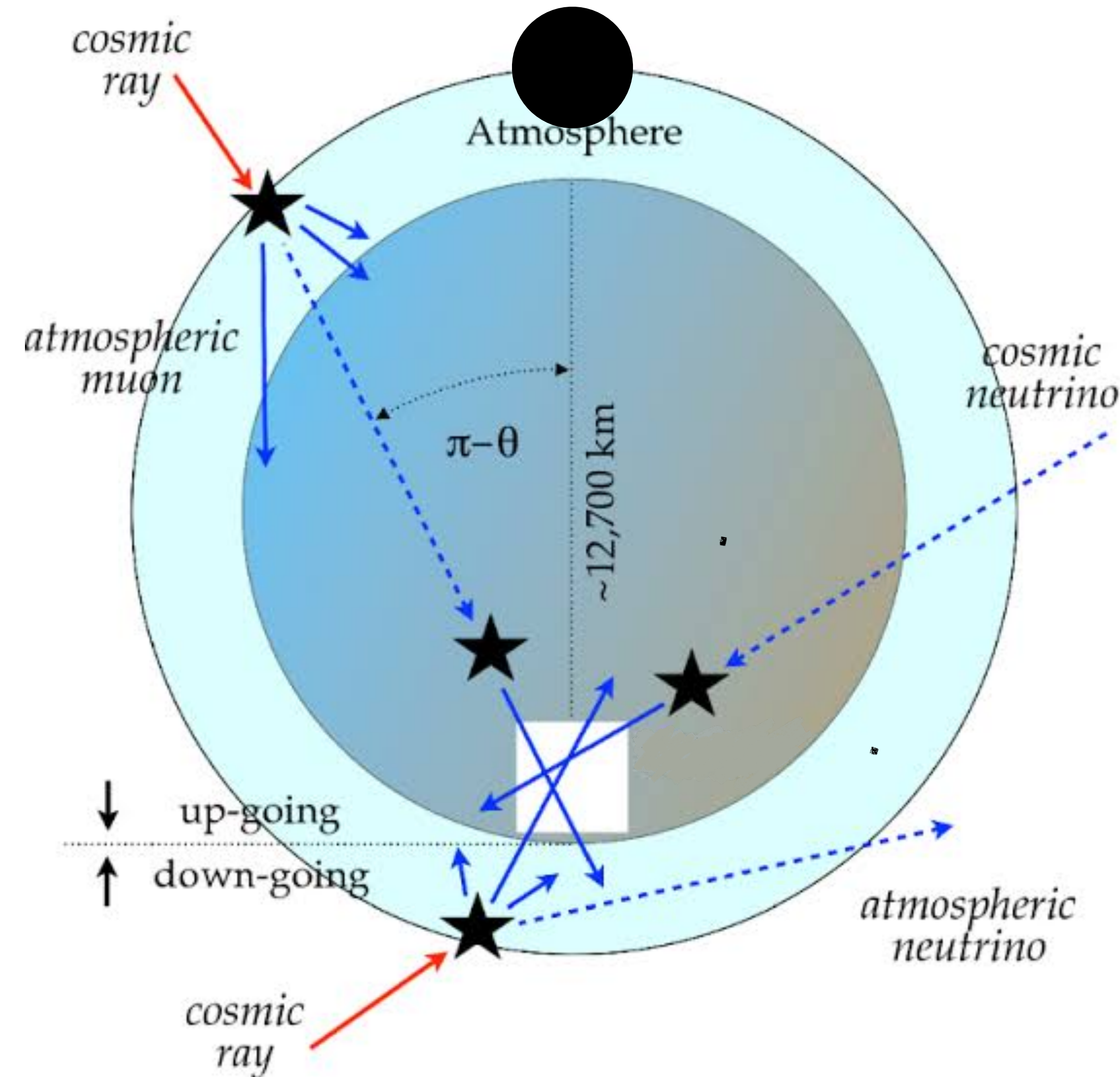


**20 piscinas
olímpicas!**

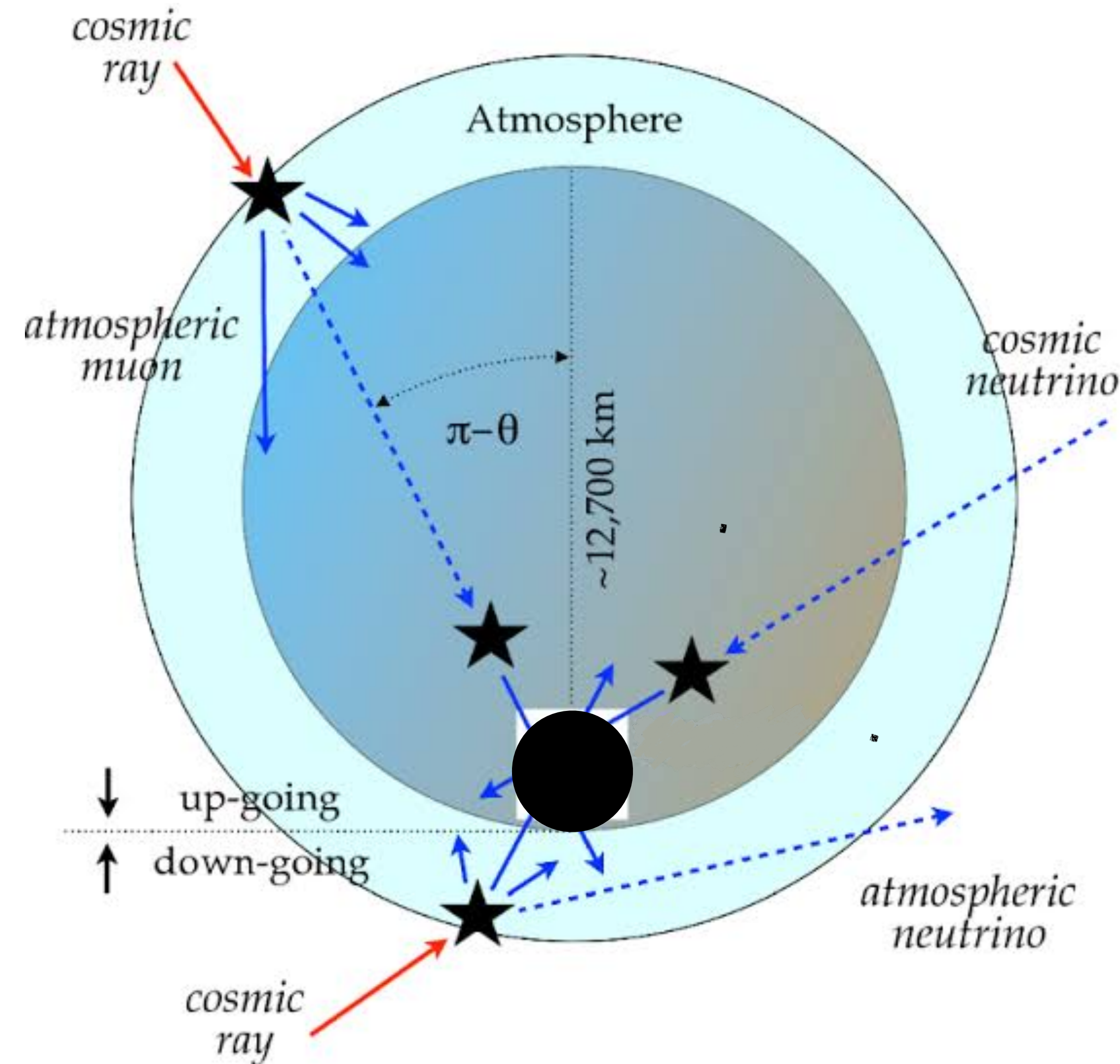
**Super Kamiokande 50kt
water detector**



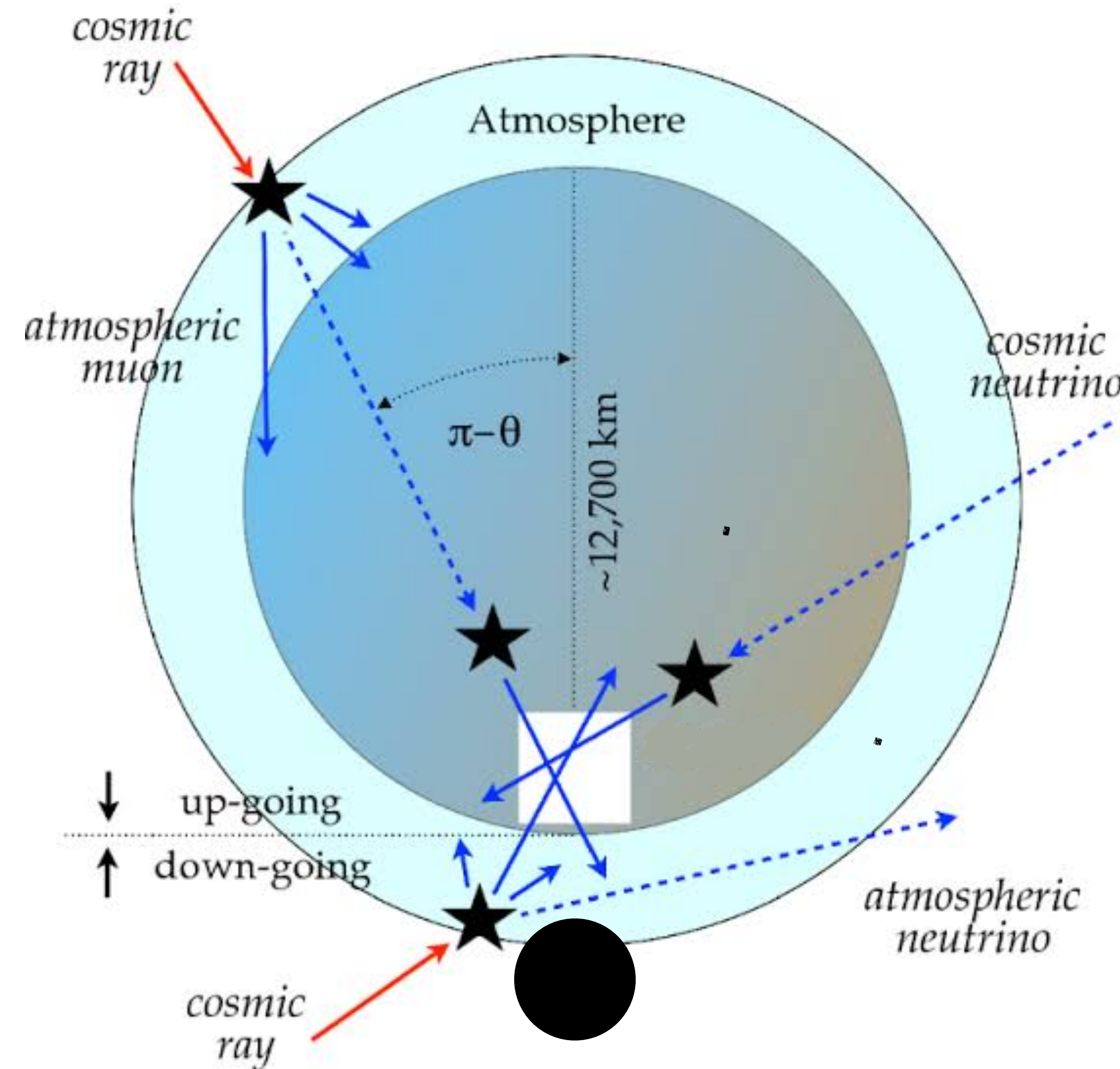
Neutrinos na atmosfera



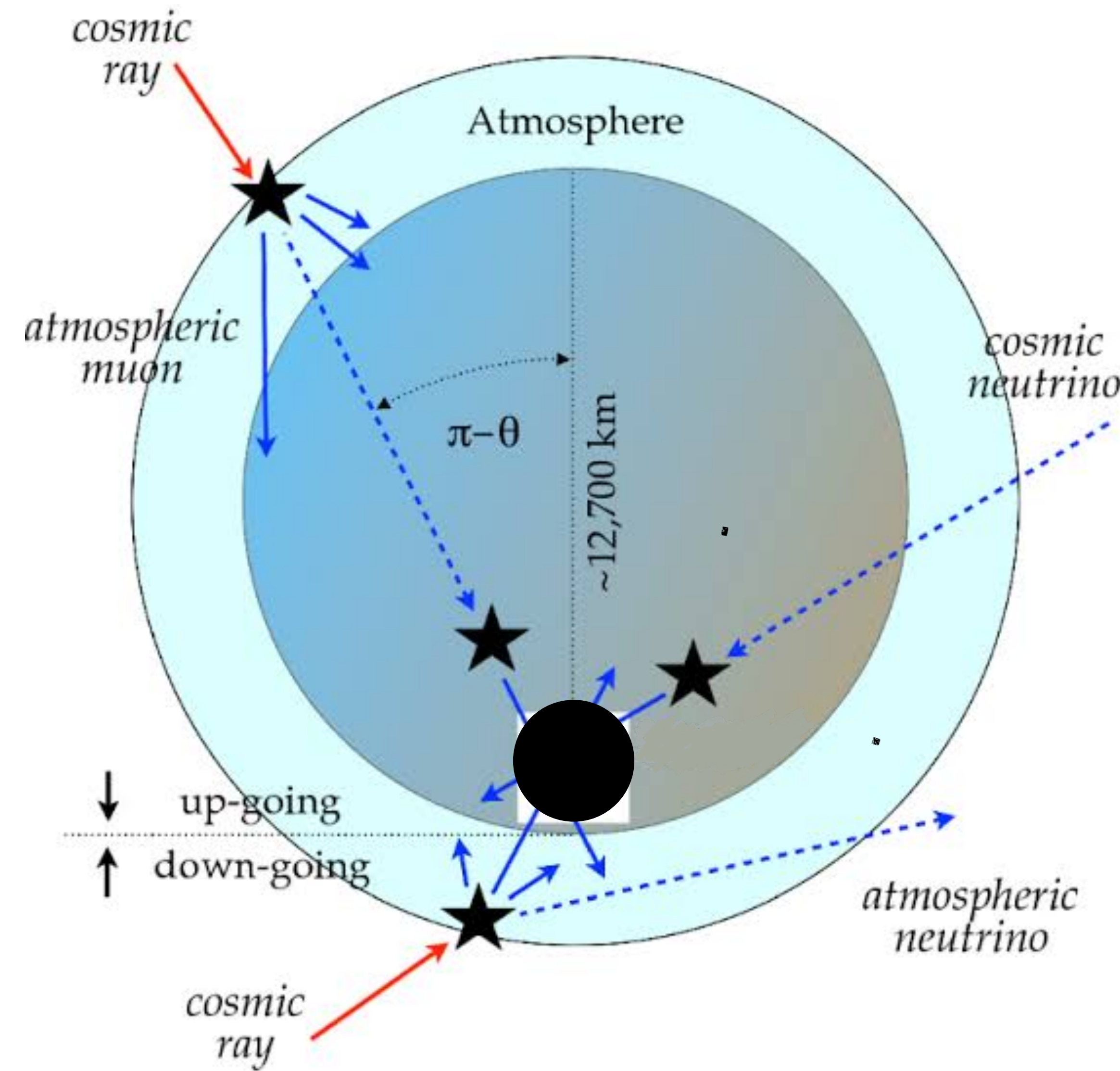
Neutrinos na atmosfera



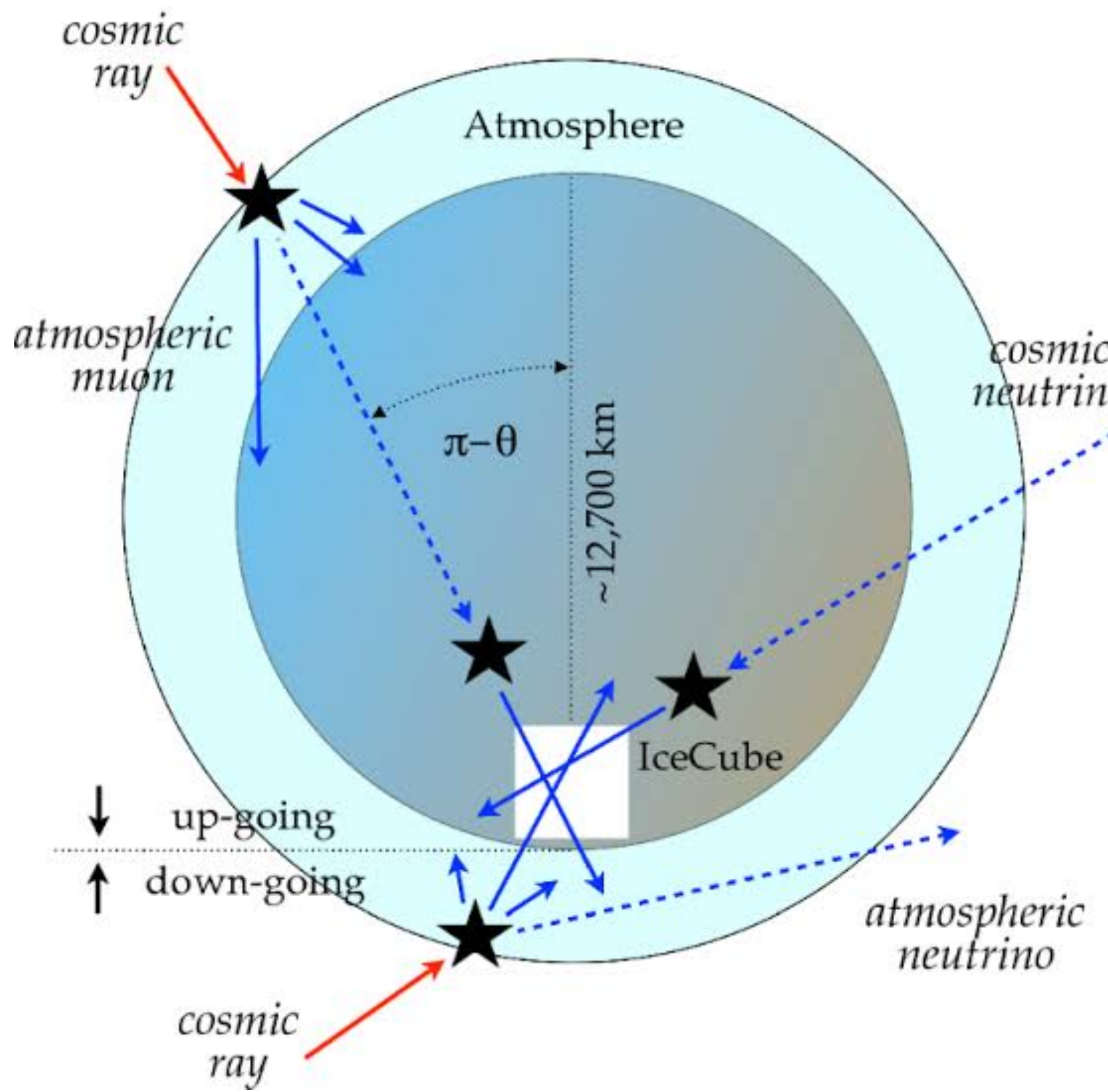
Neutrinos na atmosfera



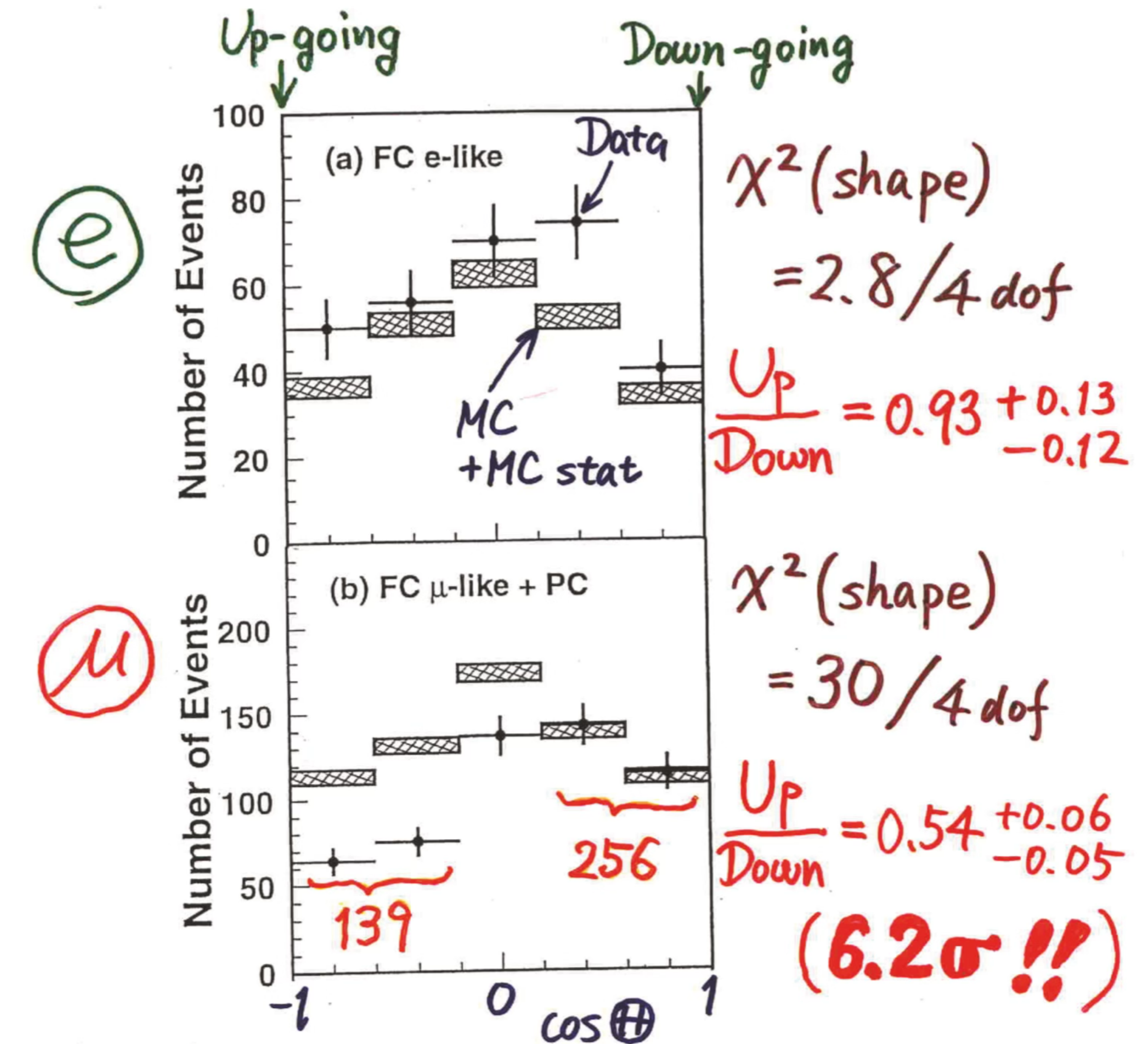
Neutrinos na atmosfera



Neutrinos na atmosfera



Zenith angle dependence
(Multi-GeV)



Oscilação de neutrinos

Nobel Prize in Physics 2015



© Nobel Media AB. Photo: A.
Mahmoud

Takaaki Kajita

Prize share: 1/2



© Nobel Media AB. Photo: A.
Mahmoud

Arthur B. McDonald

Prize share: 1/2

The Nobel Prize in Physics 2015 was awarded jointly to Takaaki Kajita and Arthur B. McDonald "for the discovery of neutrino oscillations, which shows that neutrinos have mass"

Oscilação de neutrinos

Nobel Prize in Physics 2015



© Nobel Media AB. Photo: A.
Mahmoud

Takaaki Kajita

Prize share: 1/2



© Nobel Media AB. Photo: A.
Mahmoud

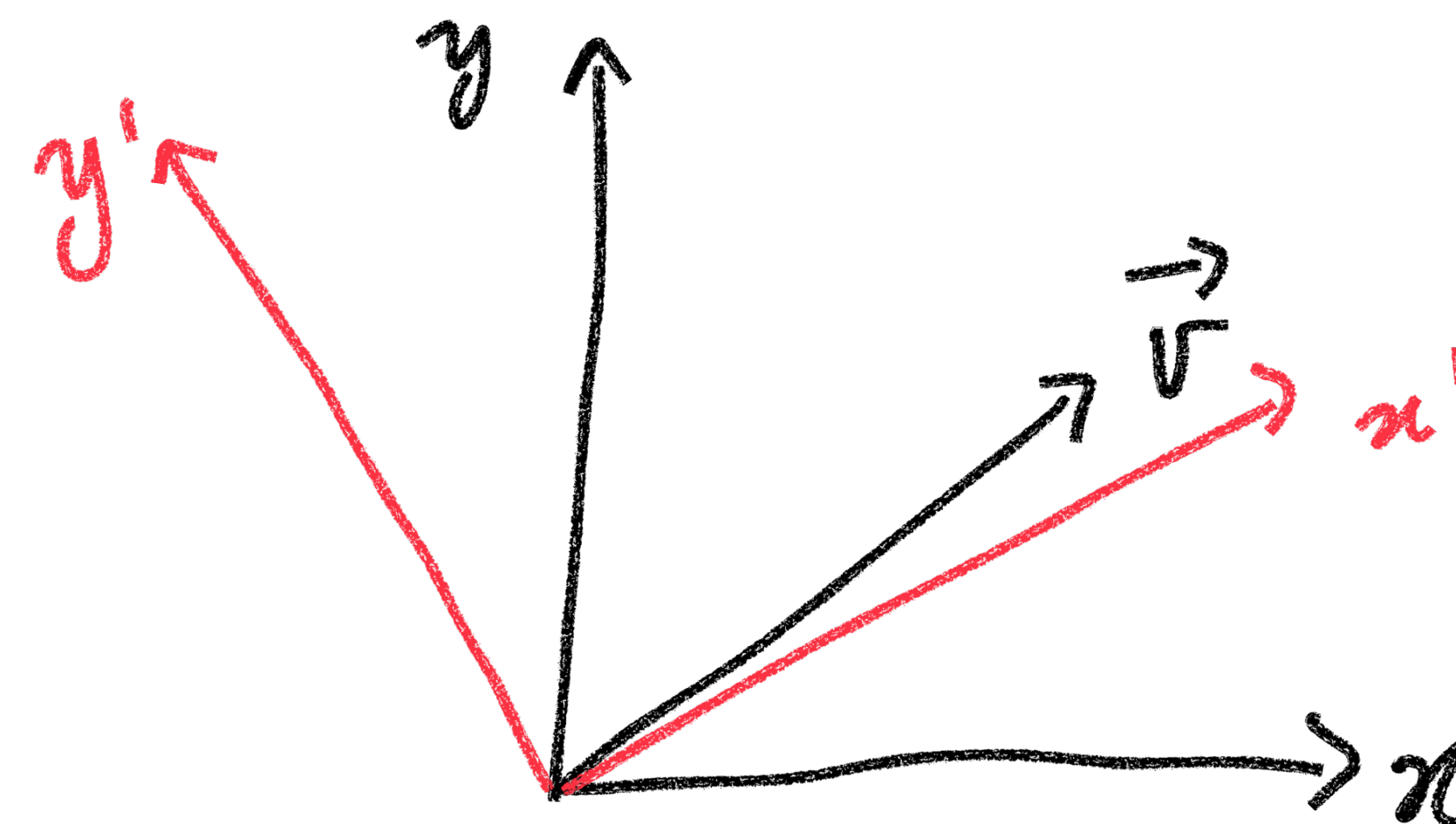
Arthur B. McDonald

Prize share: 1/2

The Nobel Prize in Physics 2015 was awarded jointly to Takaaki Kajita and Arthur B. McDonald "for the discovery of neutrino oscillations, which shows that neutrinos have mass"

Introdução simples ao fenômeno de oscilação

Bases em álgebra linear



$$\begin{aligned}\vec{v} &= v_1 \hat{i} + v_2 \hat{j} \\ &= v'_1 \hat{i}' + v'_2 \hat{j}'\end{aligned}$$

Introdução simples ao fenômeno de oscilação

Neutrinos

Base de sabor

$$|\nu_e\rangle, |\nu_\mu\rangle, |\nu_\tau\rangle$$

Base de massa

$$|\nu_1\rangle, |\nu_2\rangle, |\nu_3\rangle$$

Introdução simples ao fenômeno de oscilação

Neutrinos

Base de sabor

$$|\nu_e\rangle, |\nu_\mu\rangle, |\nu_\tau\rangle$$

**Produzidos nas
interações**

Base de massa

$$|\nu_1\rangle, |\nu_2\rangle, |\nu_3\rangle$$

Introdução simples ao fenômeno de oscilação

Neutrinos

Base de sabor

$$|\nu_e\rangle, |\nu_\mu\rangle, |\nu_\tau\rangle$$

**Produzidos nas
interações**

Base de massa

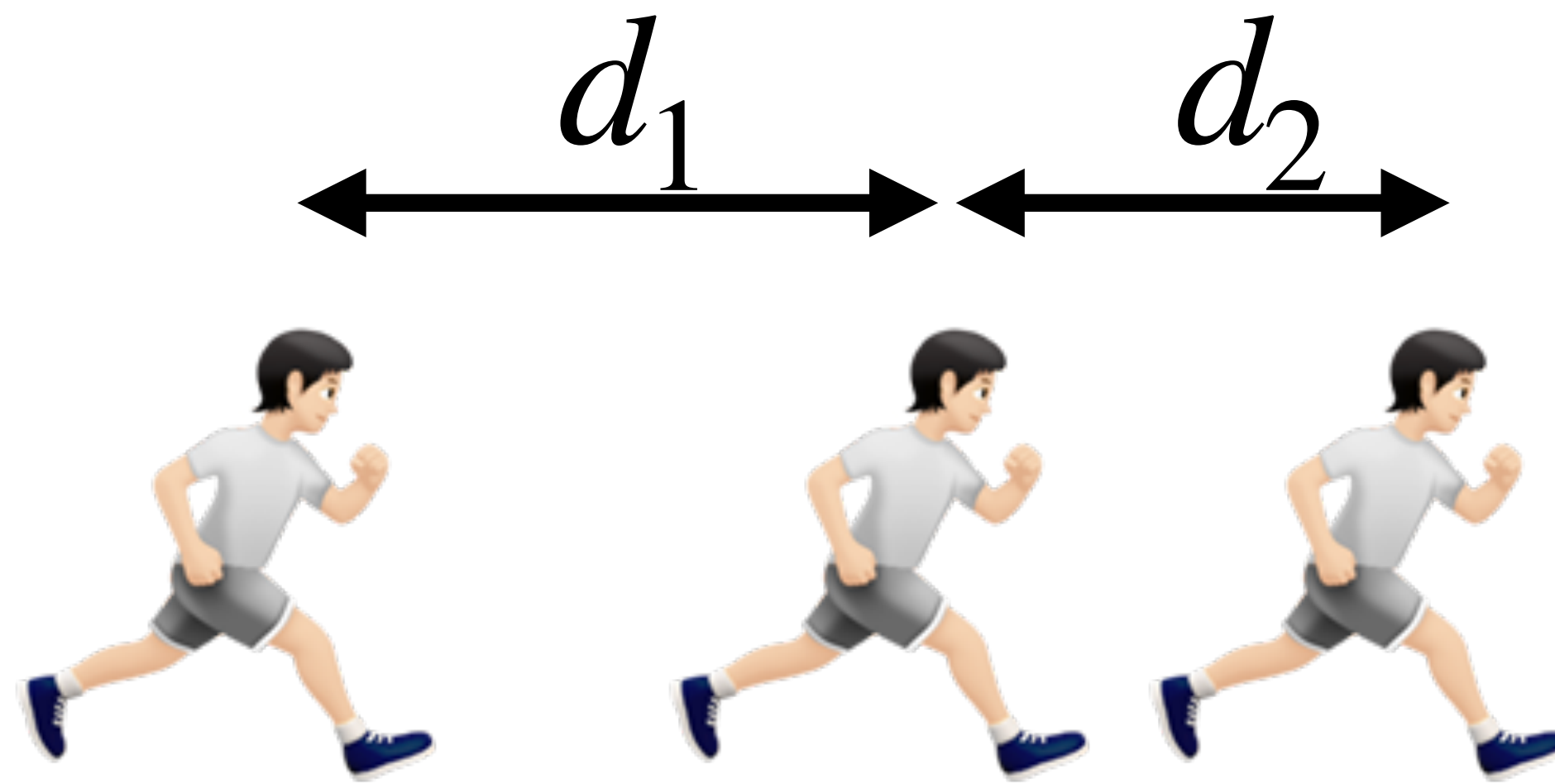
$$|\nu_1\rangle, |\nu_2\rangle, |\nu_3\rangle$$

**Estados que
propagam**

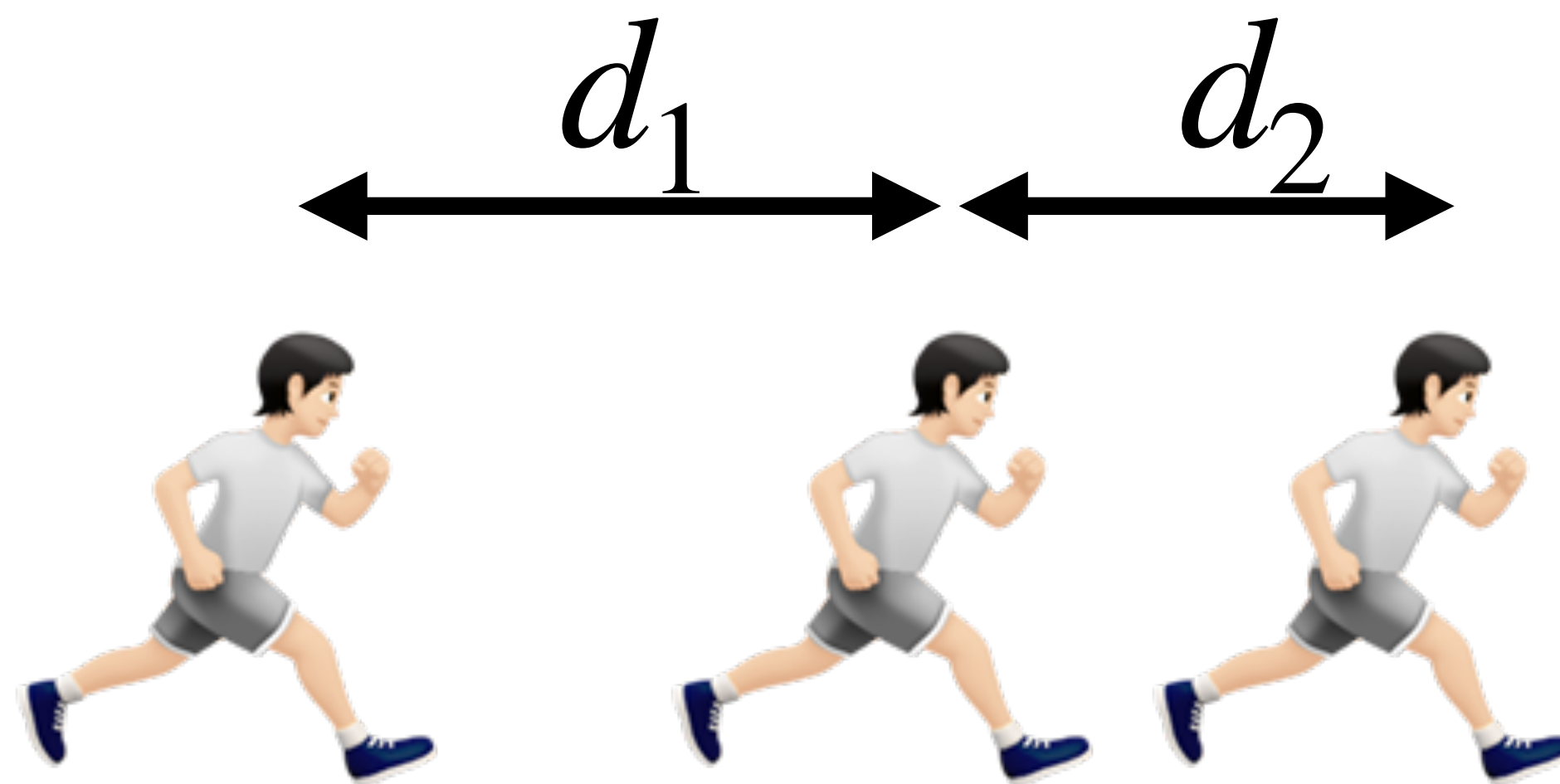
Introdução simples ao fenômeno de oscilação



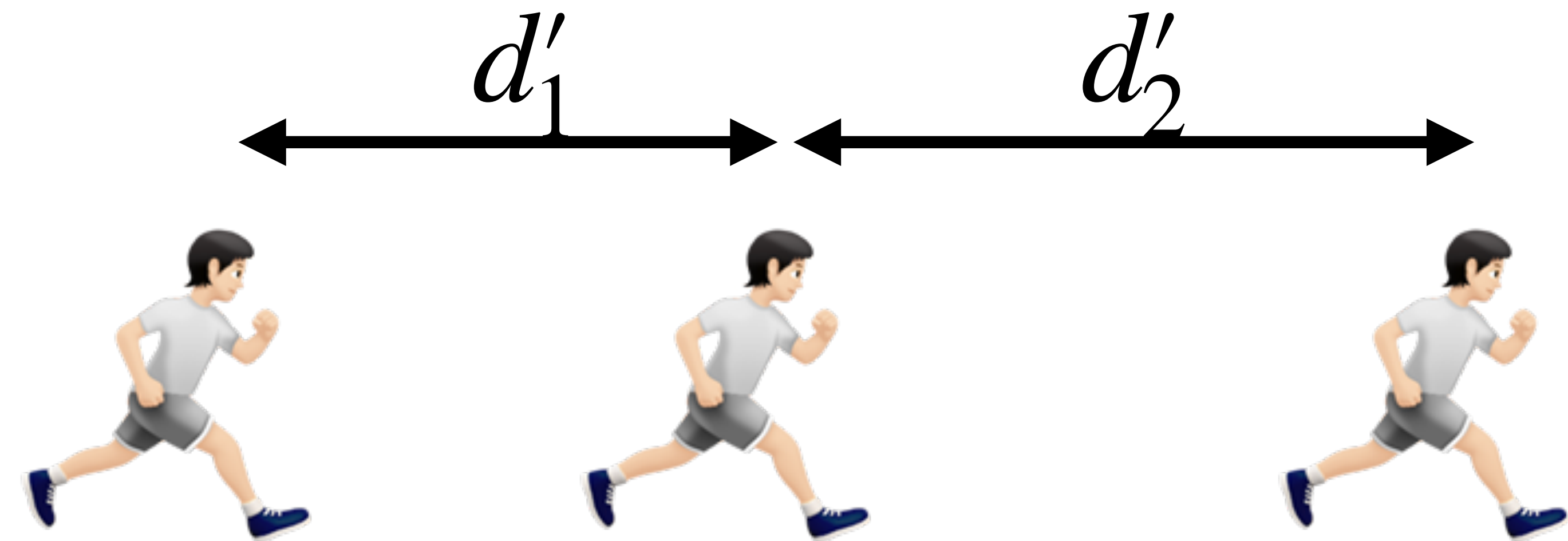
Introdução simples ao fenômeno de oscilação



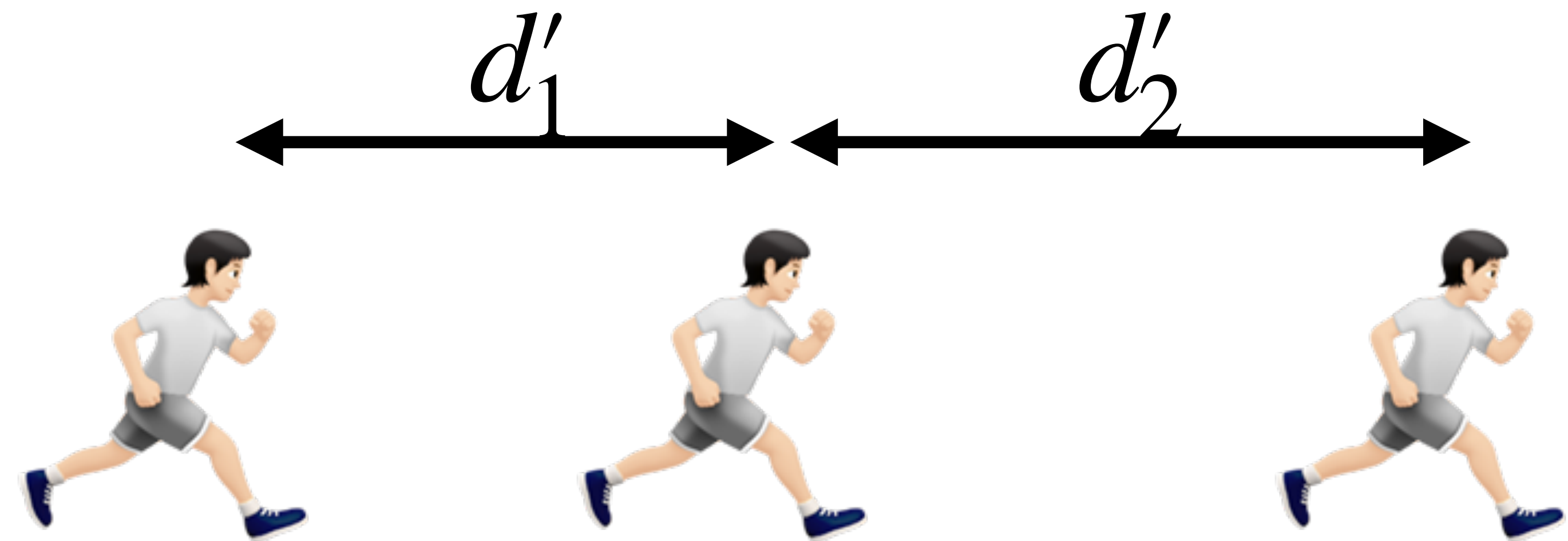
Introdução simples ao fenômeno de oscilação


$$| \nu_\mu \rangle$$

Introdução simples ao fenômeno de oscilação



Introdução simples ao fenômeno de oscilação


$$| \nu_e \rangle$$

Introdução simples ao fenômeno de oscilação

$|\nu_\mu\rangle$

$|\nu_\mu\rangle$

$|\nu_\mu\rangle$

$|\nu_\mu\rangle$

Introdução simples ao fenômeno de oscilação

$|\nu_e\rangle$

$|\nu_e\rangle$

$|\nu_e\rangle$

$|\nu_\mu\rangle$

Introdução simples ao fenômeno de oscilação

Mecânica quântica (2 gerações)

$$|\nu_\mu\rangle = U_{\mu 1} |\nu_1\rangle + U_{\mu 2} |\nu_2\rangle$$

Evolução temporal

$$|\nu_\mu\rangle = U_{\mu 1} e^{-iE_1 t} |\nu_1\rangle + U_{\mu 2} e^{-iE_2 t} |\nu_2\rangle$$

Probabilidade

$$\mathcal{P}_{\nu_\mu \rightarrow \nu_\mu}(t) = |\langle \nu_\mu | \nu_\mu \rangle|^2 = 1 - \sin^2 2\theta \sin^2 \left(\frac{\Delta m^2 L}{4E} \right)$$

Introdução simples ao fenômeno de oscilação

Mecânica quântica (2 gerações)

$$|\nu_\mu\rangle = U_{\mu 1} |\nu_1\rangle + U_{\mu 2} |\nu_2\rangle$$

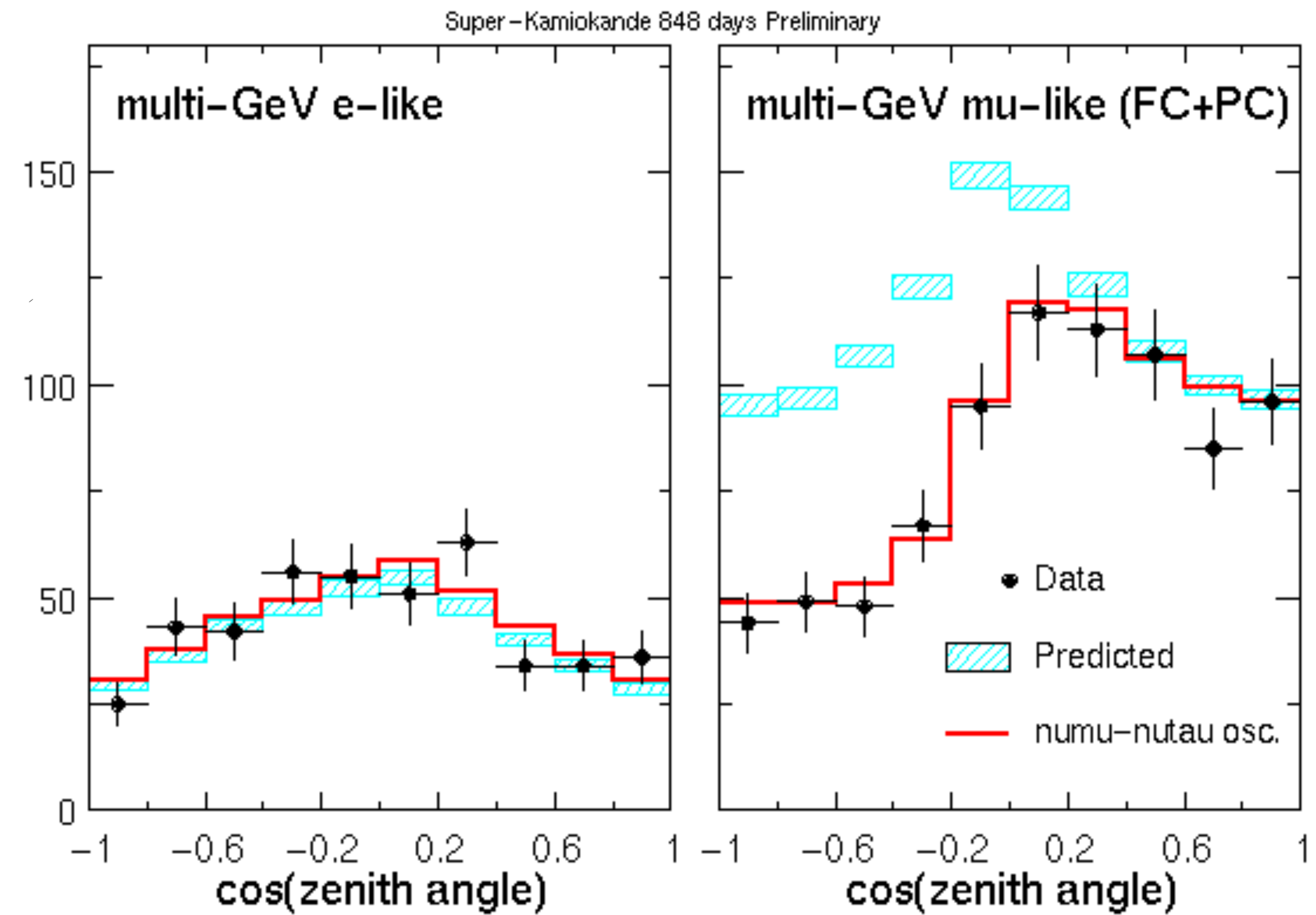
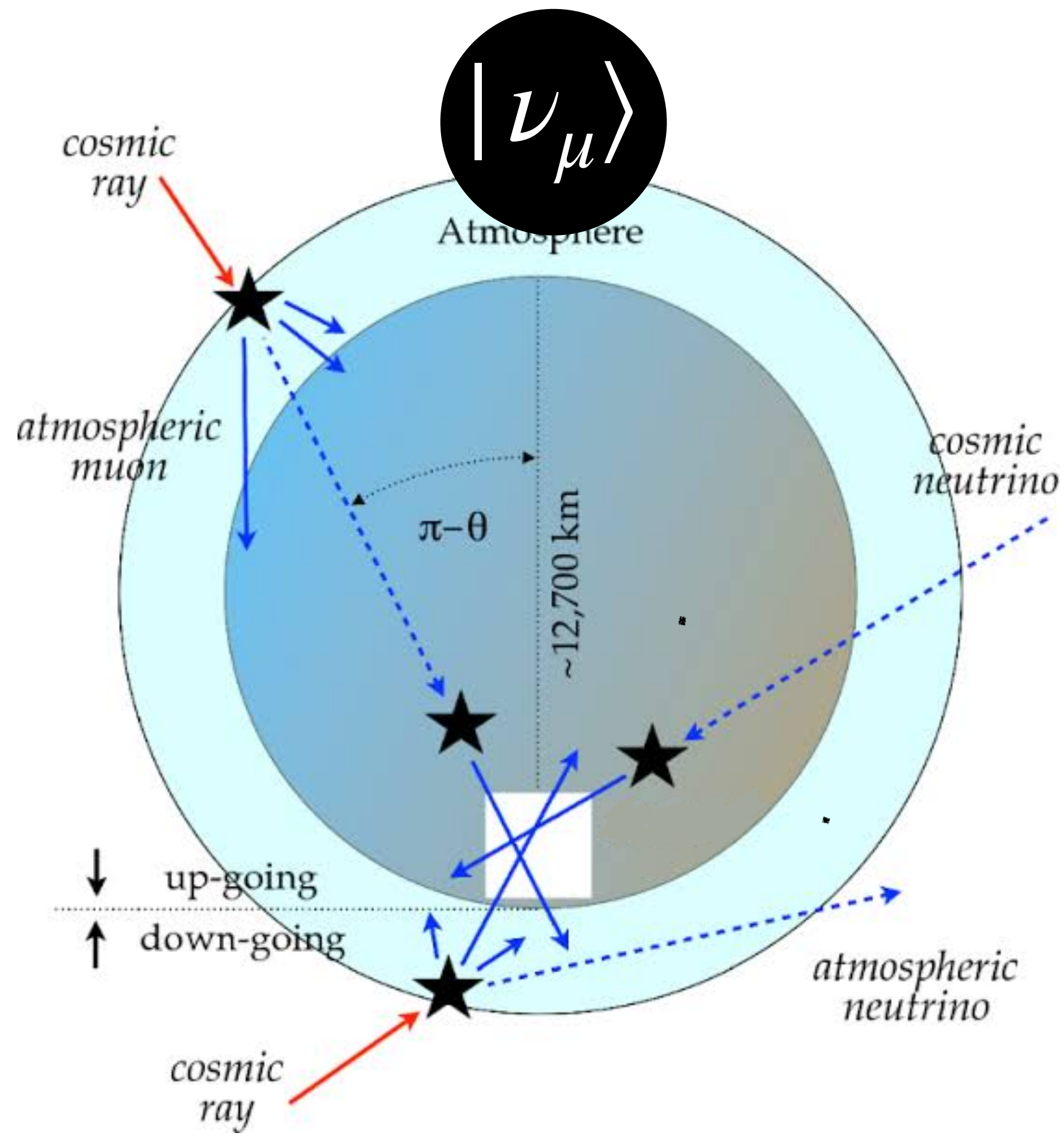
Evolução temporal

$$|\nu_\mu\rangle = U_{\mu 1} e^{-iE_1 t} |\nu_1\rangle + U_{\mu 2} e^{-iE_2 t} |\nu_2\rangle$$

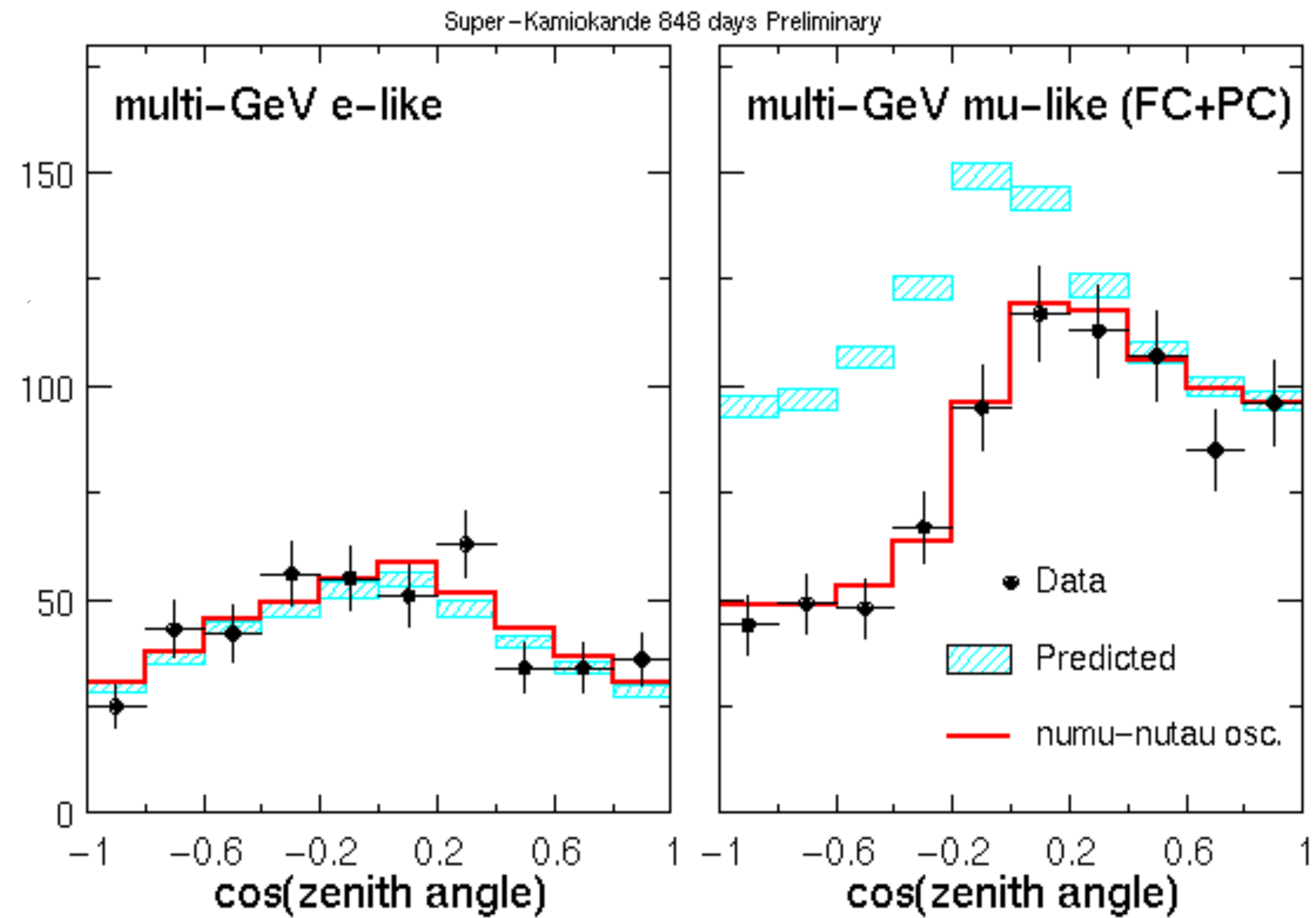
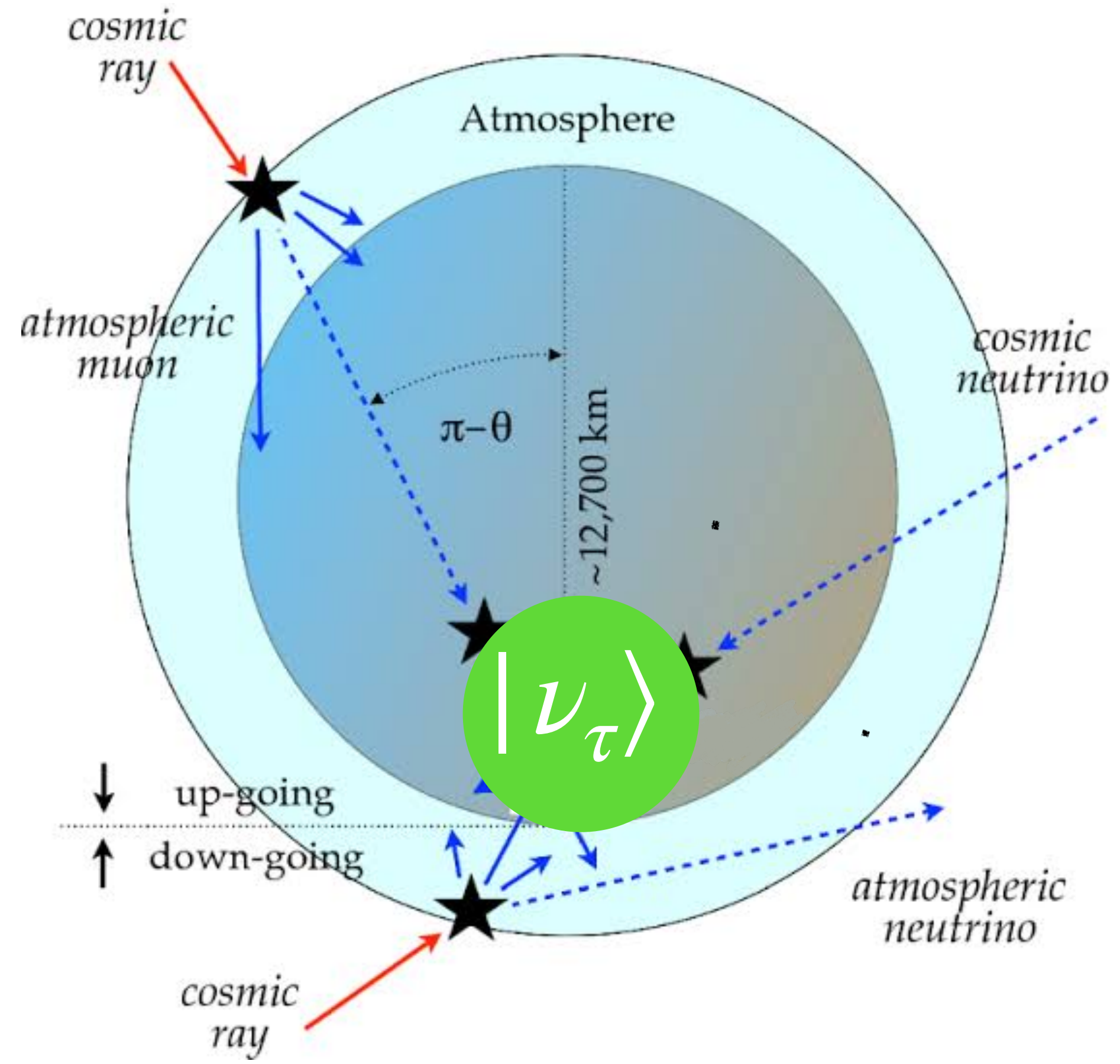
Probabilidade

$$\mathcal{P}_{\nu_\mu \rightarrow \nu_\mu}(t) = |\langle \nu_\mu | \nu_\mu \rangle|^2 = 1 - \sin^2 2\theta \sin^2 \left(\frac{\Delta m^2 L}{4E} \right)$$
$$\Delta m^2 = m_2^2 - m_1^2$$

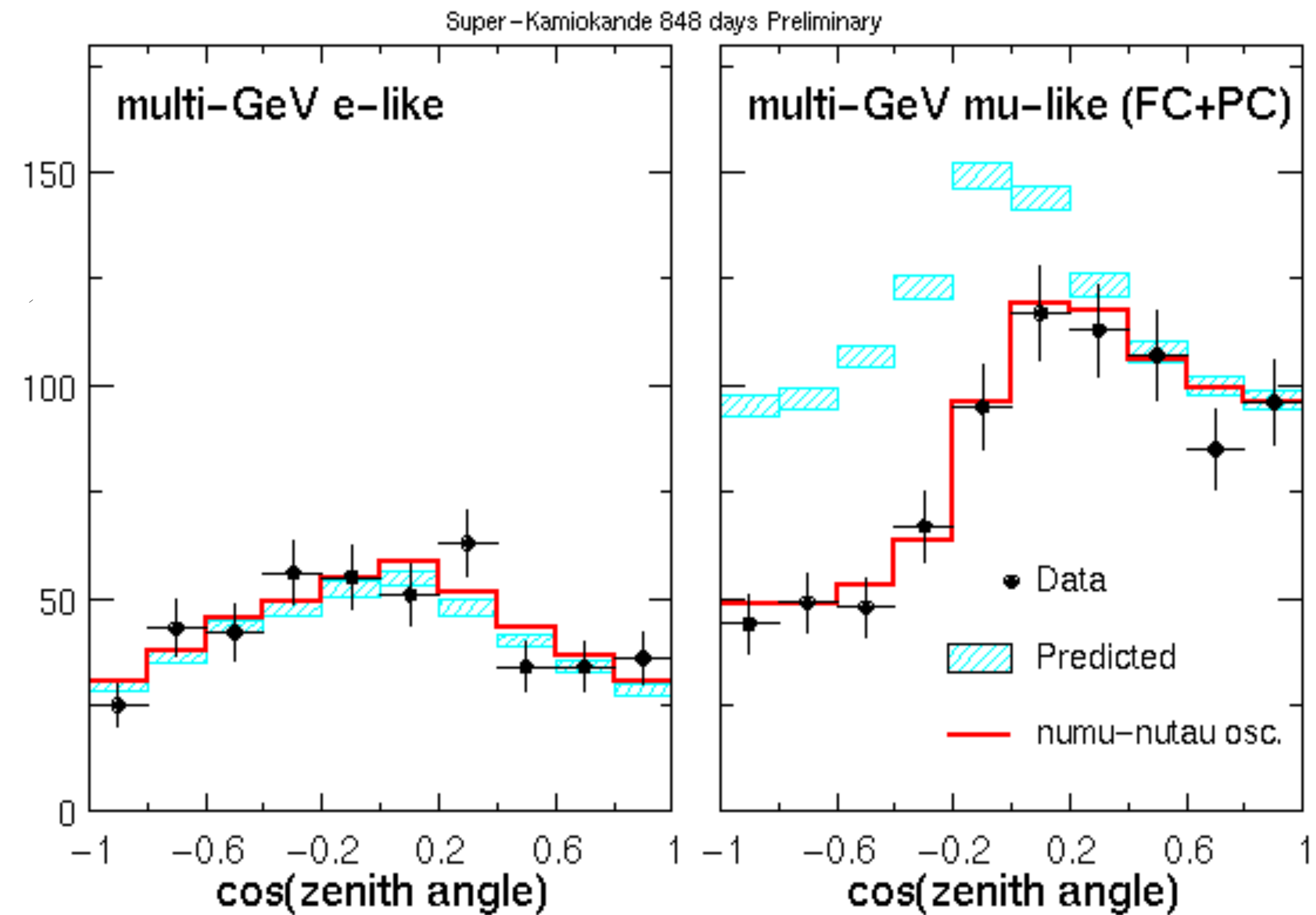
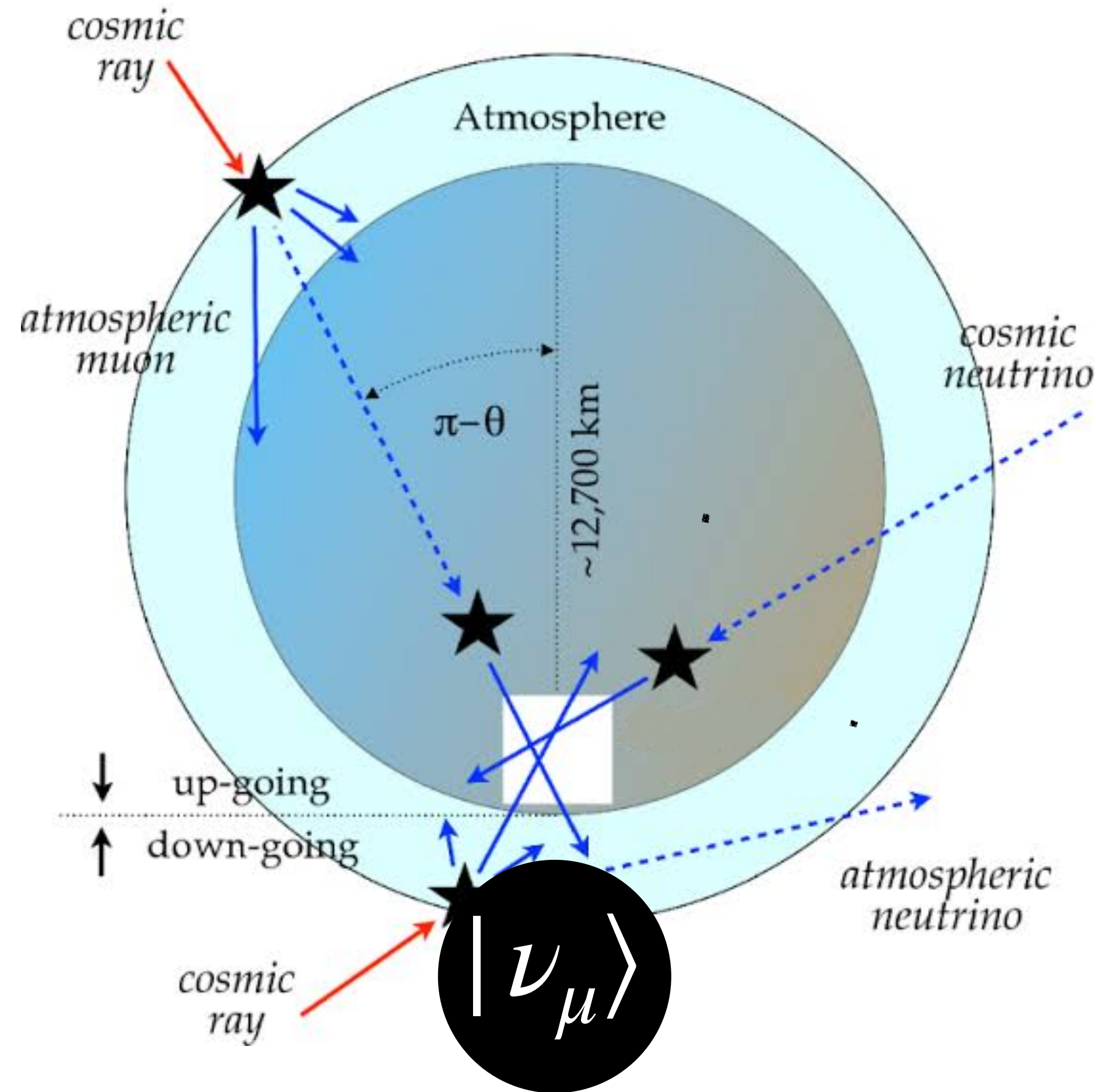
Introdução simples ao fenômeno de oscilação



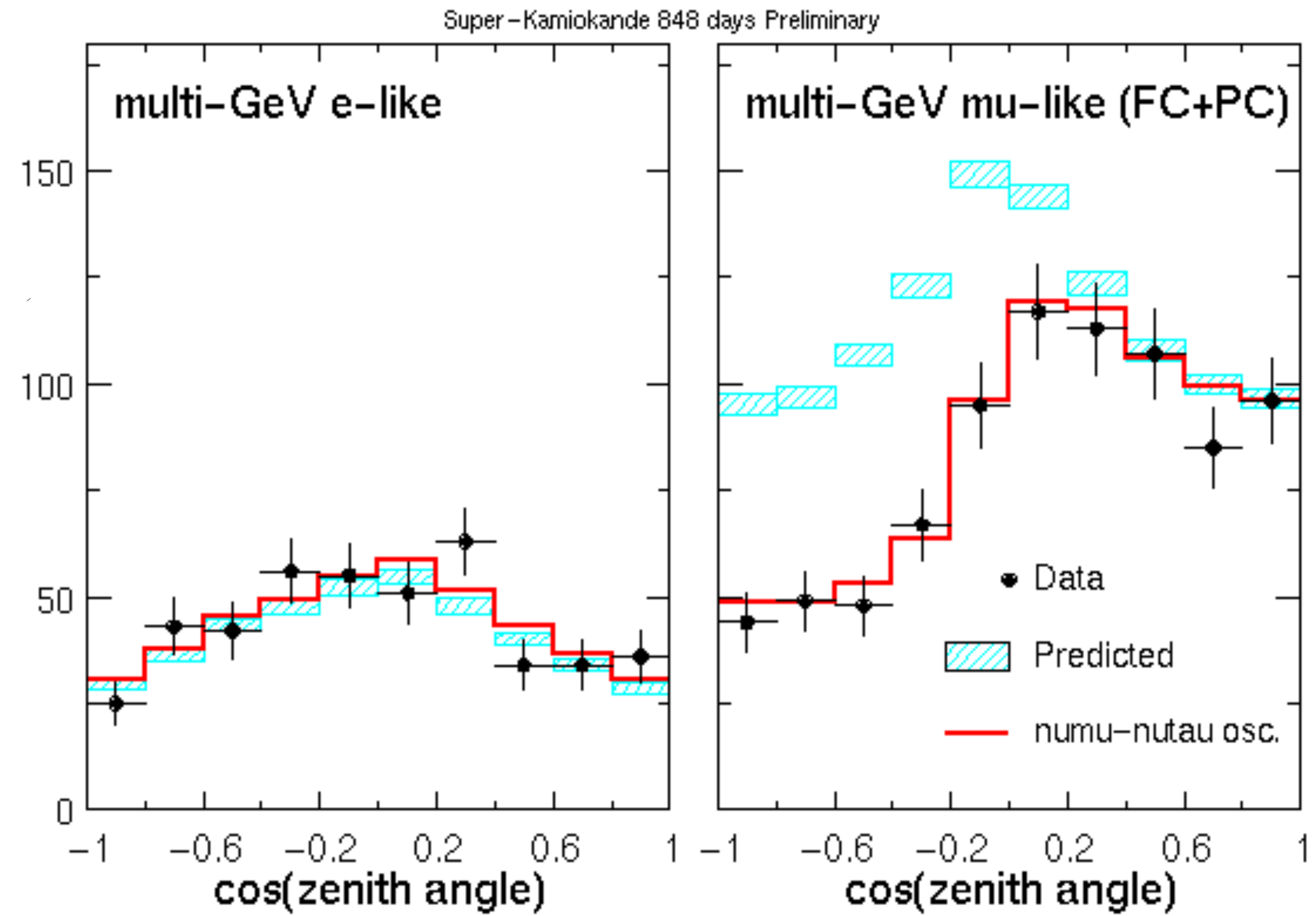
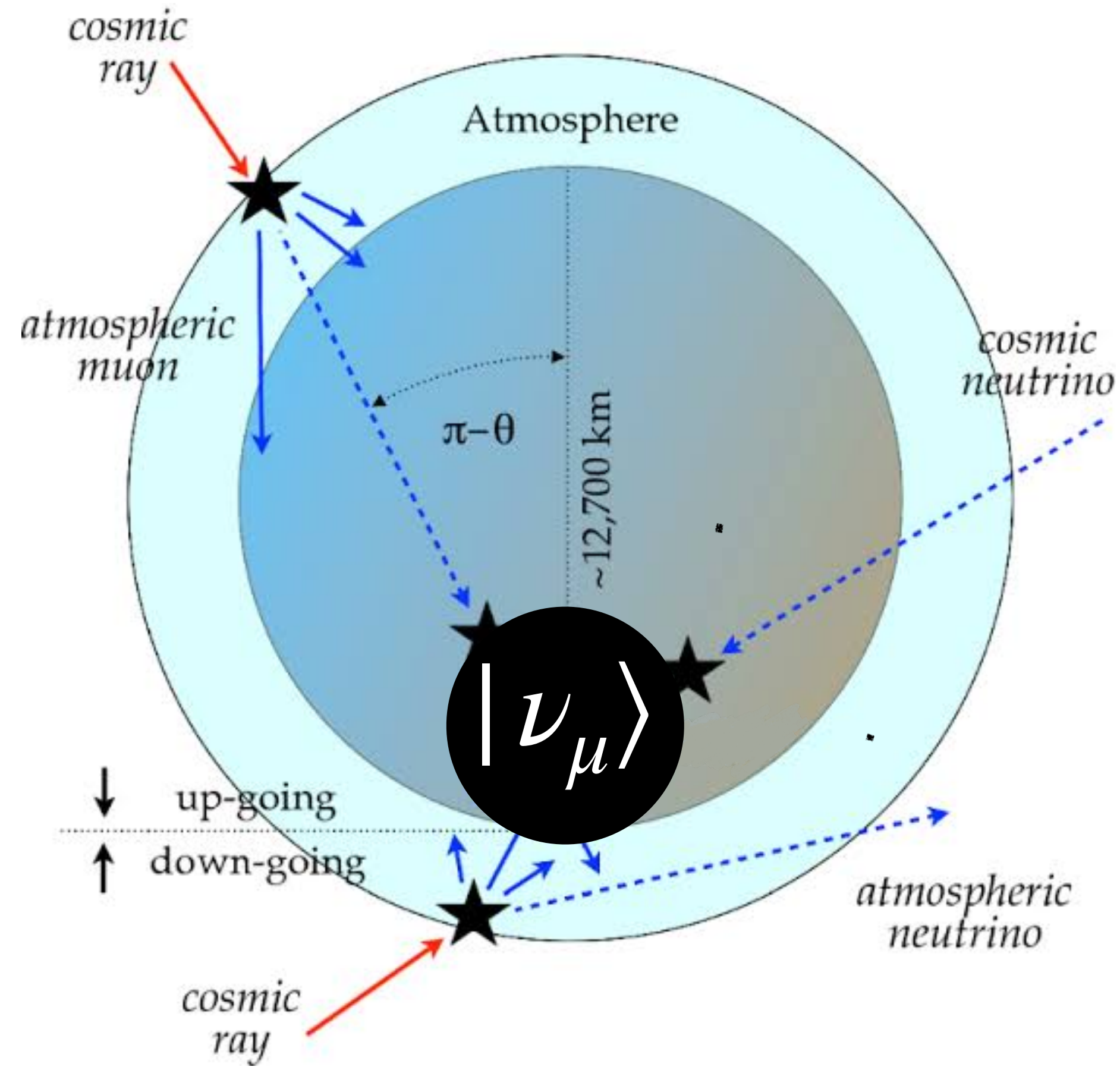
Introdução simples ao fenômeno de oscilação



Introdução simples ao fenômeno de oscilação



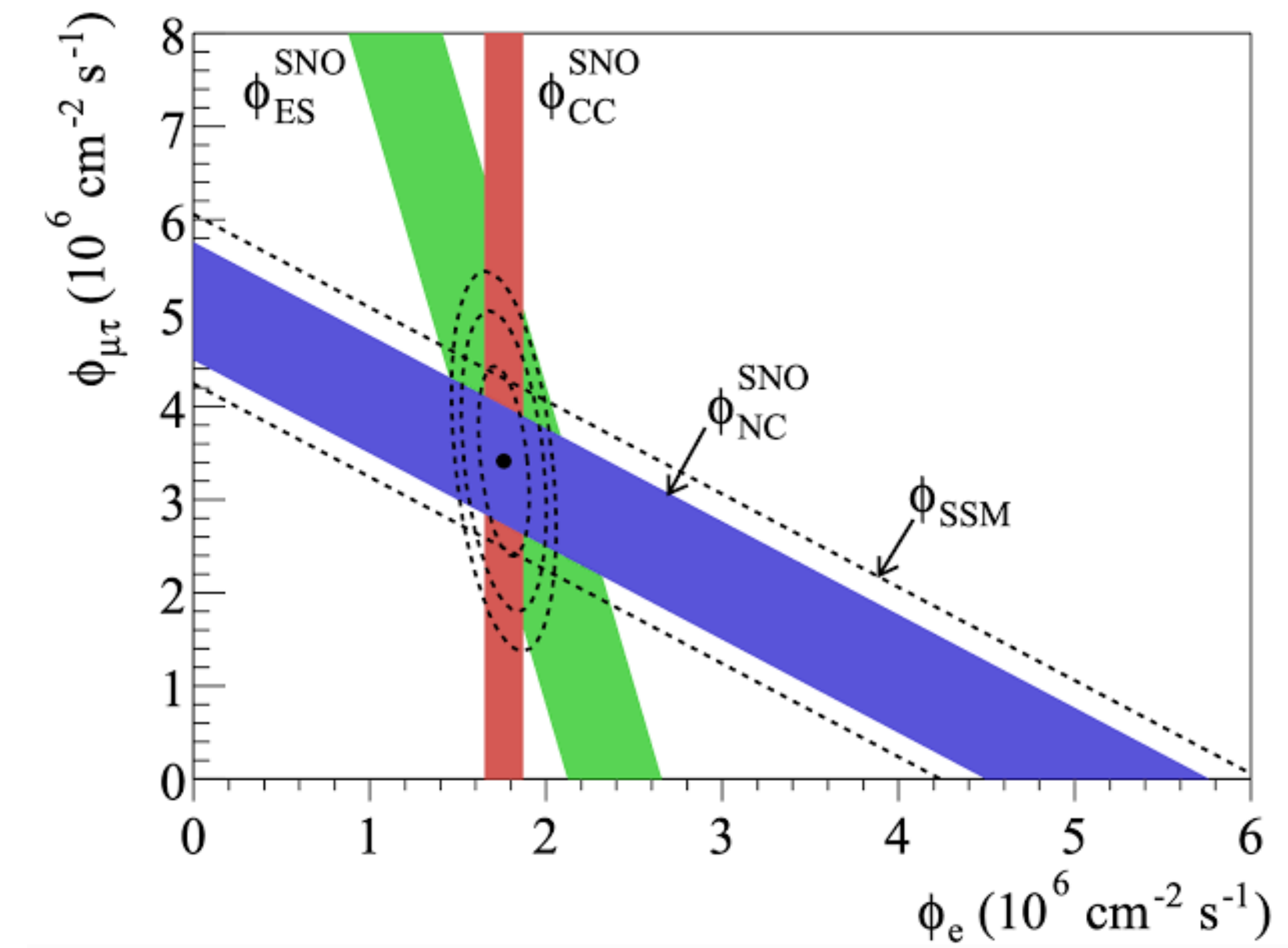
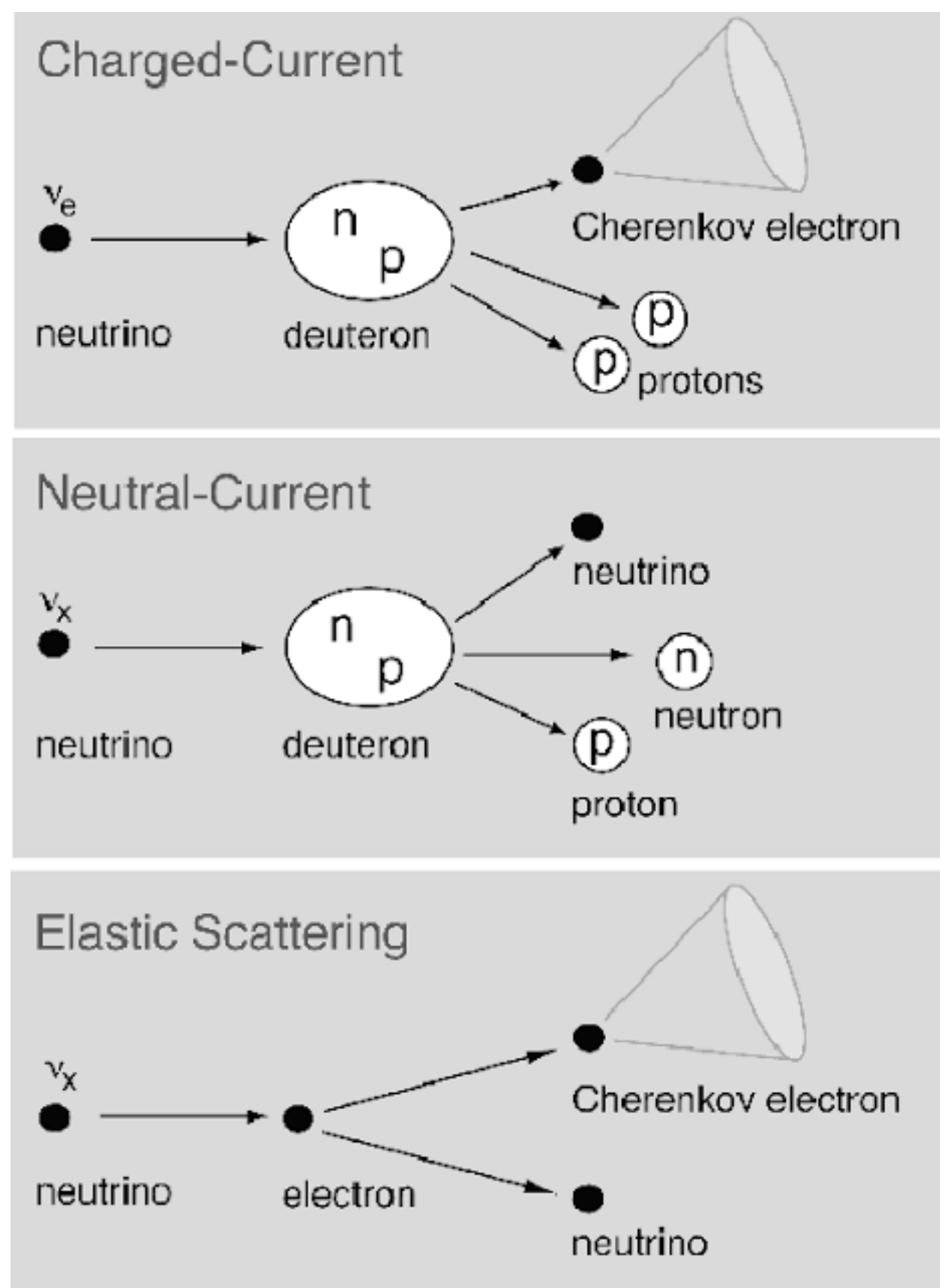
Introdução simples ao fenômeno de oscilação



Solução do problema solar

Solução do problema solar

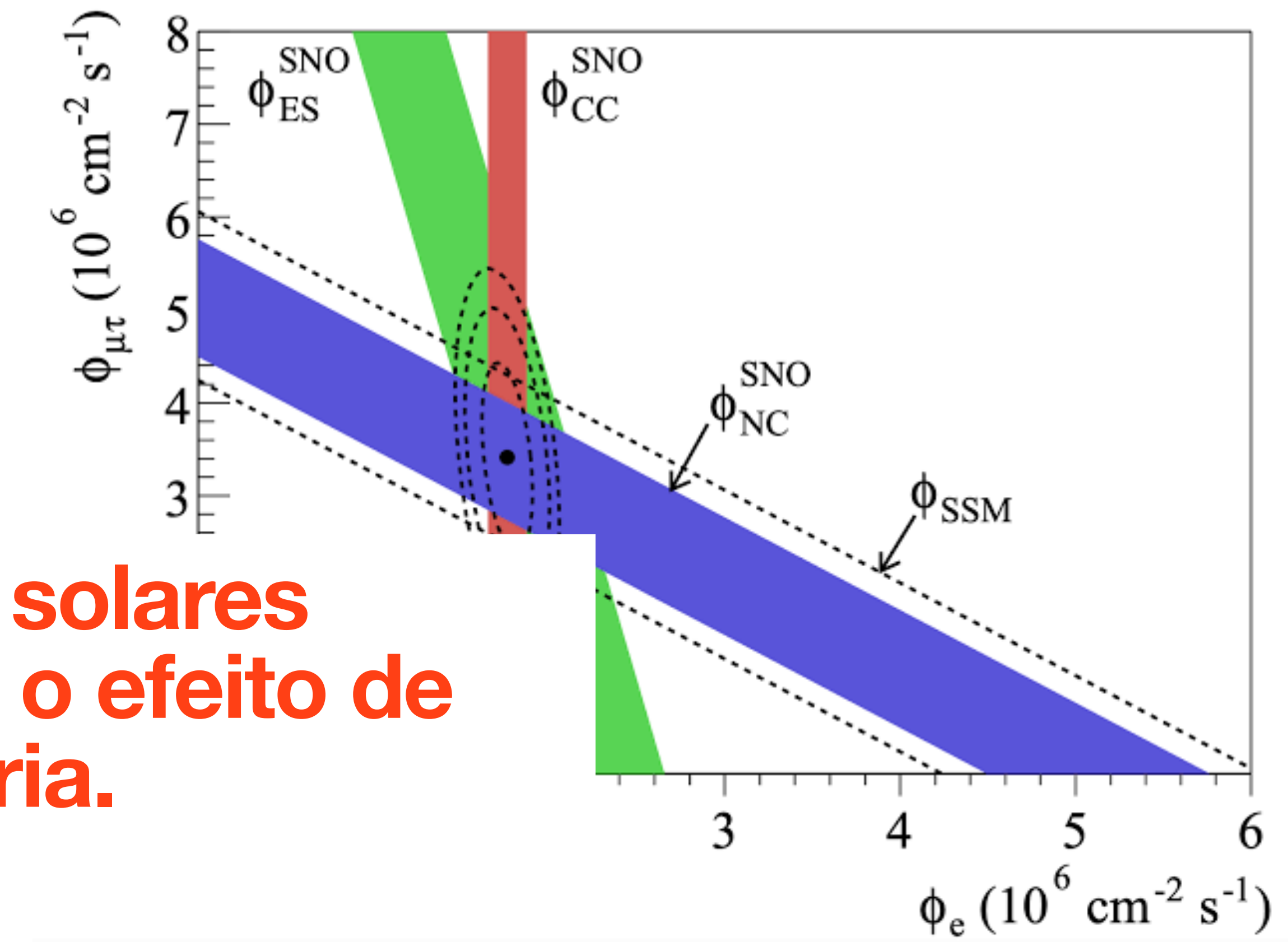
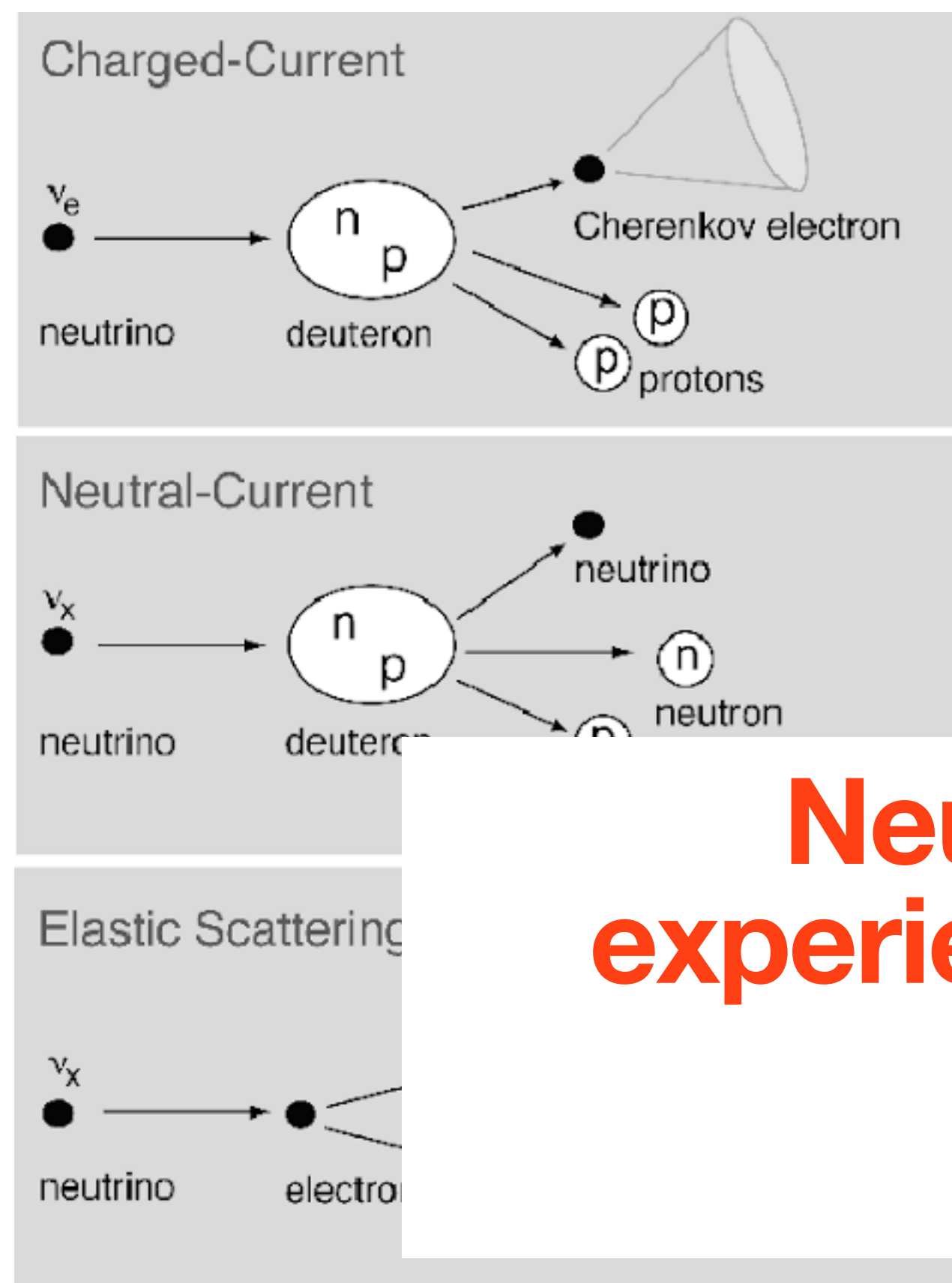
Todos neutrinos chegam. Nós só estávamos medindo neutrinos do elétron.



Experimento SNO

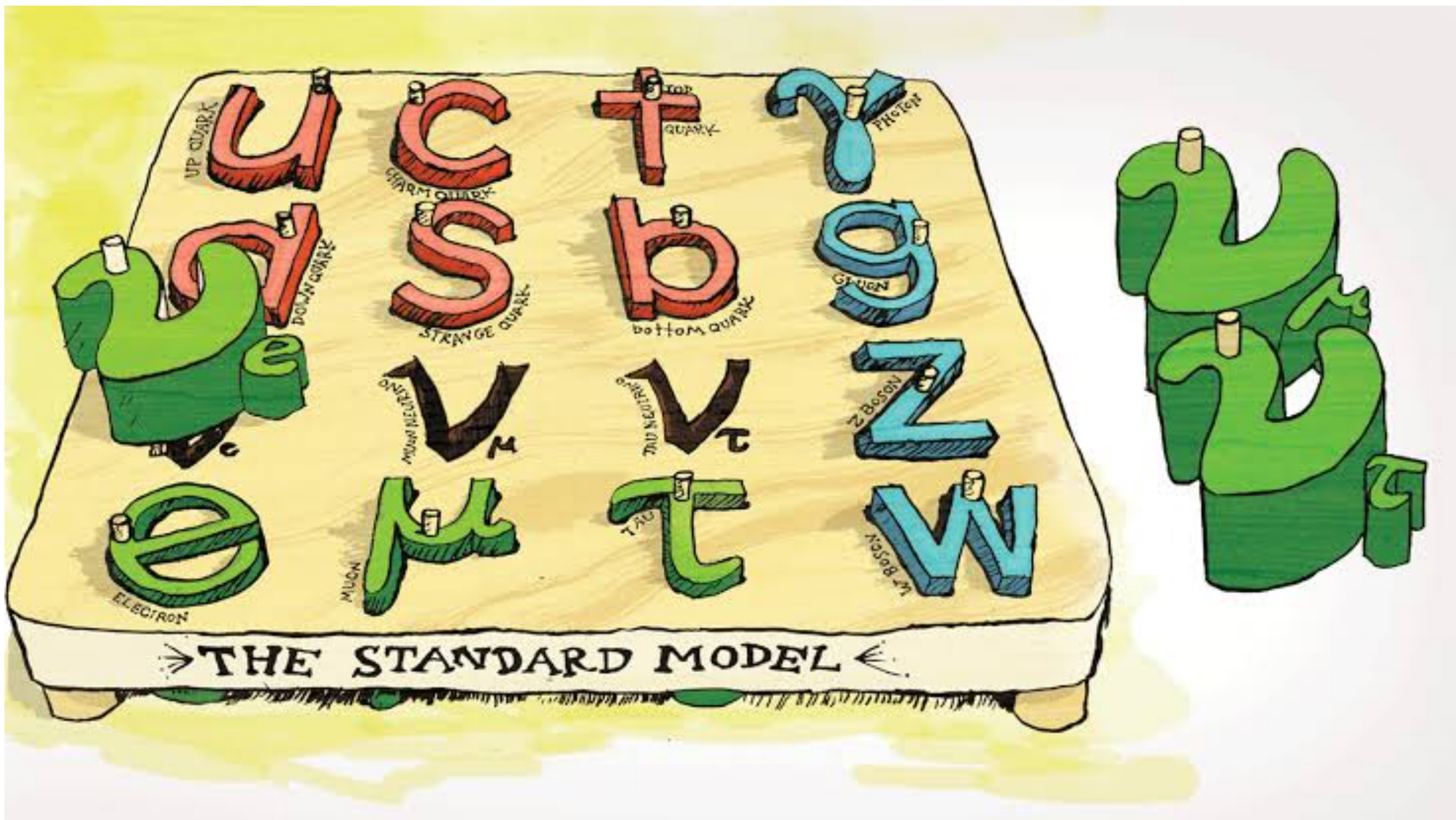
Solução do problema solar

Todos neutrinos chegam. Nós só estávamos medindo neutrinos do elétron.



**Neutrinos solares
experienciam o efeito de
matéria.**

Agora podemos entender o porque



Predição do Modelo Padrão:

Neutrinos são partículas sem massa

Predição do Modelo Padrão:

Neutrinos são partículas sem massa

Processos envolvendo neutrinos nos guiaram para construir o modelo padrão. Neutrinos agora podem nos guiar para ir além dele!

Predição do Modelo Padrão:

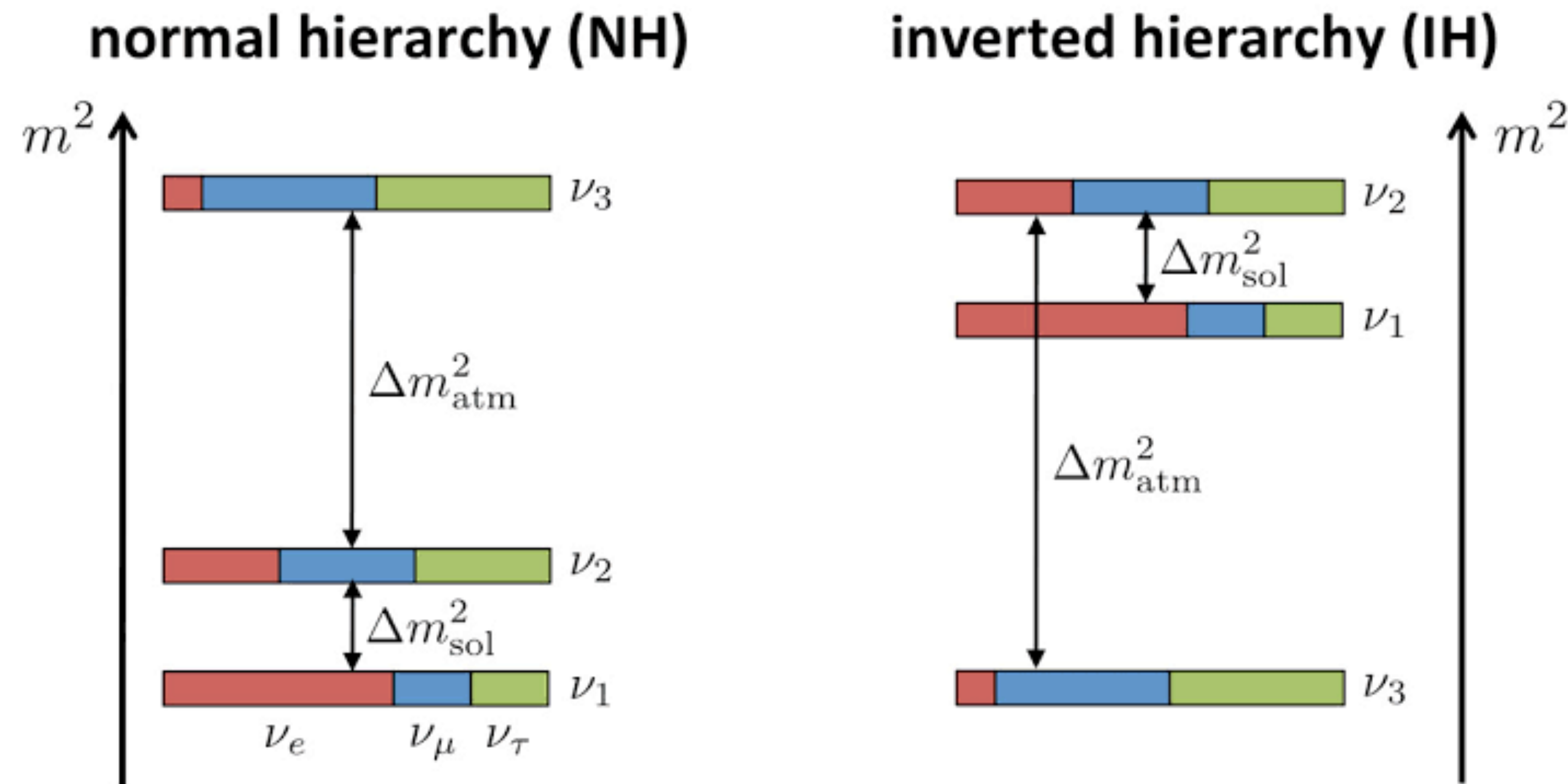
Neutrinos são partículas sem massa

Processos envolvendo neutrinos nos guiaram para construir o modelo padrão. Neutrinos agora podem nos guiar para ir além dele!

Oportunidades de trabalho!

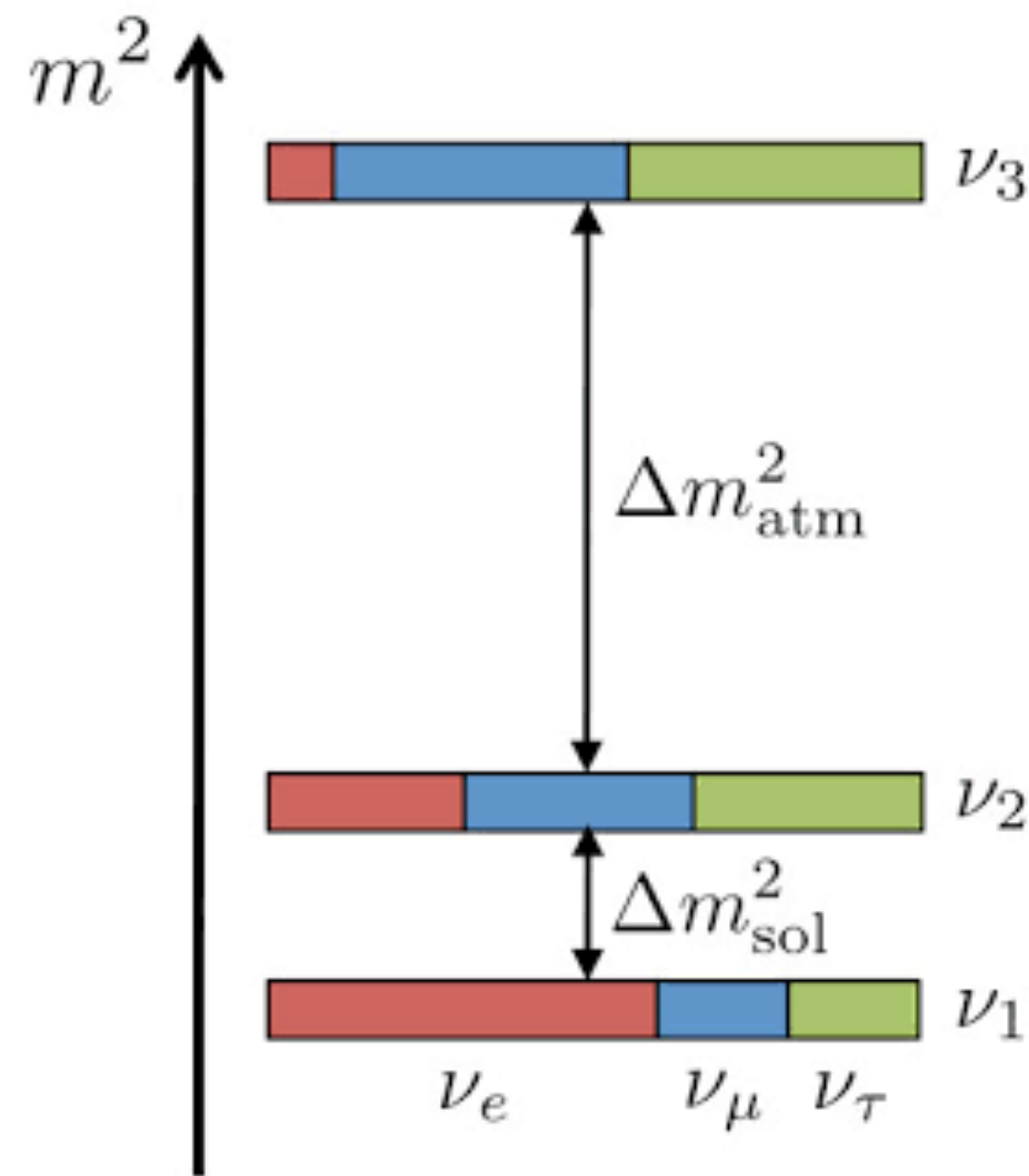
Criatividade + horas de dedicação + sorte

Ainda não sabemos muitas coisas sobre neutrinos

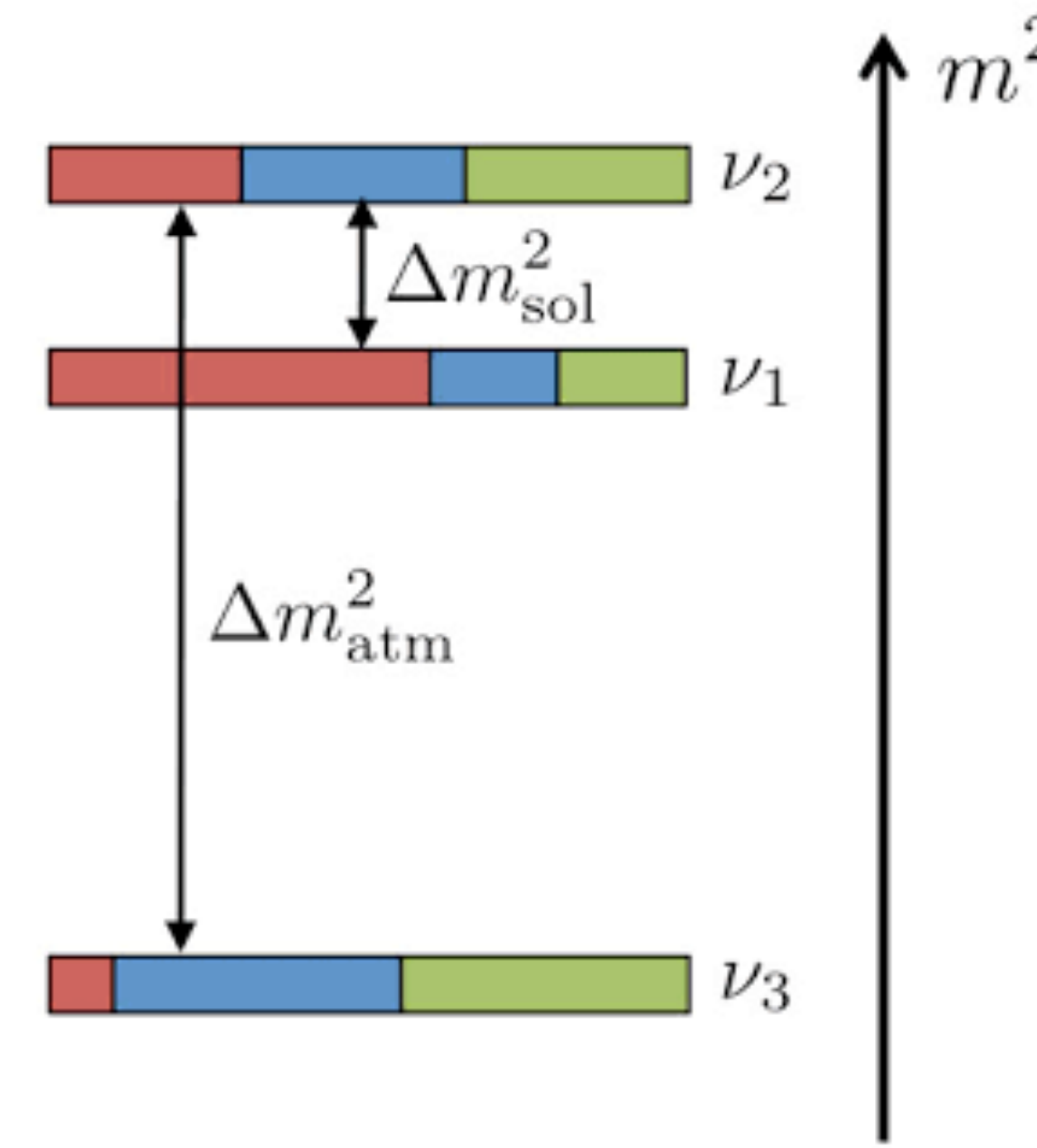


Ainda não sabemos muitas coisas sobre neutrinos

normal hierarchy (NH)



inverted hierarchy (IH)



Massa absoluta?

**Medir todos parâmetros
de oscilação**

Exemplos que tenho trabalhado

**Como explicar a origem da massa
dos neutrinos?**

Exemplos que tenho trabalhado

**Como explicar a origem da massa
dos neutrinos?**

Novas partículas?

Exemplos que tenho trabalhado

Como explicar a origem da massa
dos neutrinos?

Novas partículas?

Conectar com outros
problemas em aberto?

Exemplos que tenho trabalhado

Como explicar a origem da massa
dos neutrinos?

Novas partículas?

Conectar com outros
problemas em aberto?

Explorar o setor eletrofraco do
Modelo padrão.

Exemplos que tenho trabalhado

Como explicar a origem da massa
dos neutrinos?

Novas partículas?

Conectar com outros
problemas em aberto?

Explorar o setor eletrofraco do
Modelo padrão.



Exemplos que tenho trabalhado

Interface com outras áreas de pesquisa?

Searches for massive neutrinos with mechanical quantum sensors

[Daniel Carney](#), [Kyle G. Leach](#), [David C. Moore](#)

The development of quantum optomechanics now allows mechanical sensors with femtogram masses to be controlled and measured in the quantum regime. If the mechanical element contains isotopes that undergo nuclear decay, measuring the recoil of the sensor following the decay allows reconstruction of the total momentum of all emitted particles, including any neutral particles that may escape detection in traditional detectors. As an example, for weak nuclear decays the momentum of the emitted neutrino can be reconstructed on an event-by-event basis. We present the concept that a single nanometer-scale, optically levitated sensor operated with sensitivity near the standard quantum limit can search for heavy sterile neutrinos in the keV-MeV mass range with sensitivity significantly beyond existing constraints. We also comment on the possibility that mechanical sensors operated well into the quantum regime might ultimately reach the sensitivities required to provide an absolute measurement of the mass of the light neutrino states.

Exemplos que tenho trabalhado

Could SBND-PRISM probe lepton flavor violation? #8

Gustavo F.S. Alves (Sao Paulo U.), Renata Zukanovich Funchal (Sao Paulo U.), Pedro A.N. Machado (Fermilab) (May 1, 2024)

Published in: *Phys.Rev.D* 110 (2024) 3, 3 • e-Print: [2405.00777](#) [hep-ph]

[pdf](#) [links](#) [DOI](#) [cite](#) [claim](#) [reference search](#) [3 citations](#)

Limits on W_R from Meson Decays #9

Gustavo F.S. Alves (Sao Paulo U. and Fermilab), Chee Sheng Fong (ABC Federal U.), Luighi P.S. Leal (Sao Paulo U.), Renata Zukanovich Funchal (Sao Paulo U.) (Jul 10, 2023)

Published in: *Phys.Rev.Lett.* 133 (2024) 16, 16 • e-Print: [2307.04862](#) [hep-ph]

[pdf](#) [links](#) [DOI](#) [cite](#) [claim](#) [reference search](#) [7 citations](#)

Exploring the Neutrino Sector of the Minimal Left-Right Symmetric Model #10

Gustavo F.S. Alves (U. Sao Paulo (main)), Chee Sheng Fong (ABC Federal U.), Luighi P.S. Leal (U. Sao Paulo (main)), Renata Zukanovich Funchal (U. Sao Paulo (main)) (Aug 15, 2022)

e-Print: [2208.07378](#) [hep-ph]

[pdf](#) [cite](#) [claim](#) [reference search](#) [4 citations](#)

Mass reconstruction of heavy neutral leptons from stopped mesons #6

Gustavo F.S. Alves (Sao Paulo U. and Fermilab), P.S. Bhupal Dev (McDonnell Ctr. Space Sci.), Kevin J. Kelly (Texas A-M), Pedro A.N. Machado (Fermilab) (Sep 6, 2024)

Published in: *Phys.Rev.D* 111 (2025) 1, 1 • e-Print: [2409.04394](#) [hep-ph]

[pdf](#) [links](#) [DOI](#) [cite](#) [claim](#) [reference search](#) [2 citations](#)

Does the Sun have a dark disk? #7

Gustavo F.S. Alves (Fermilab and Sao Paulo U.), Susan Gardner (Kentucky U.), Pedro Machado (Fermilab), Mohammadreza Zakeri (Kentucky U.) (Jun 5, 2024)

Published in: *Phys.Rev.D* 111 (2025) 8, 083057 • e-Print: [2406.03607](#) [hep-ph]

[pdf](#) [links](#) [DOI](#) [cite](#) [claim](#) [reference search](#) [1 citation](#)

Measuring the weak mixing angle at SBND #5

Gustavo F.S. Alves (Sao Paulo U. and Fermilab), Antonio P. Ferreira (Sao Paulo U. and Fermilab), Shirley Weishi Li (Fermilab and UC, Irvine), Pedro A.N. Machado (Fermilab), Yuber F. Perez-Gonzalez (Durham U., IPPP) (Sep 11, 2024)

e-Print: [2409.07430](#) [hep-ph]

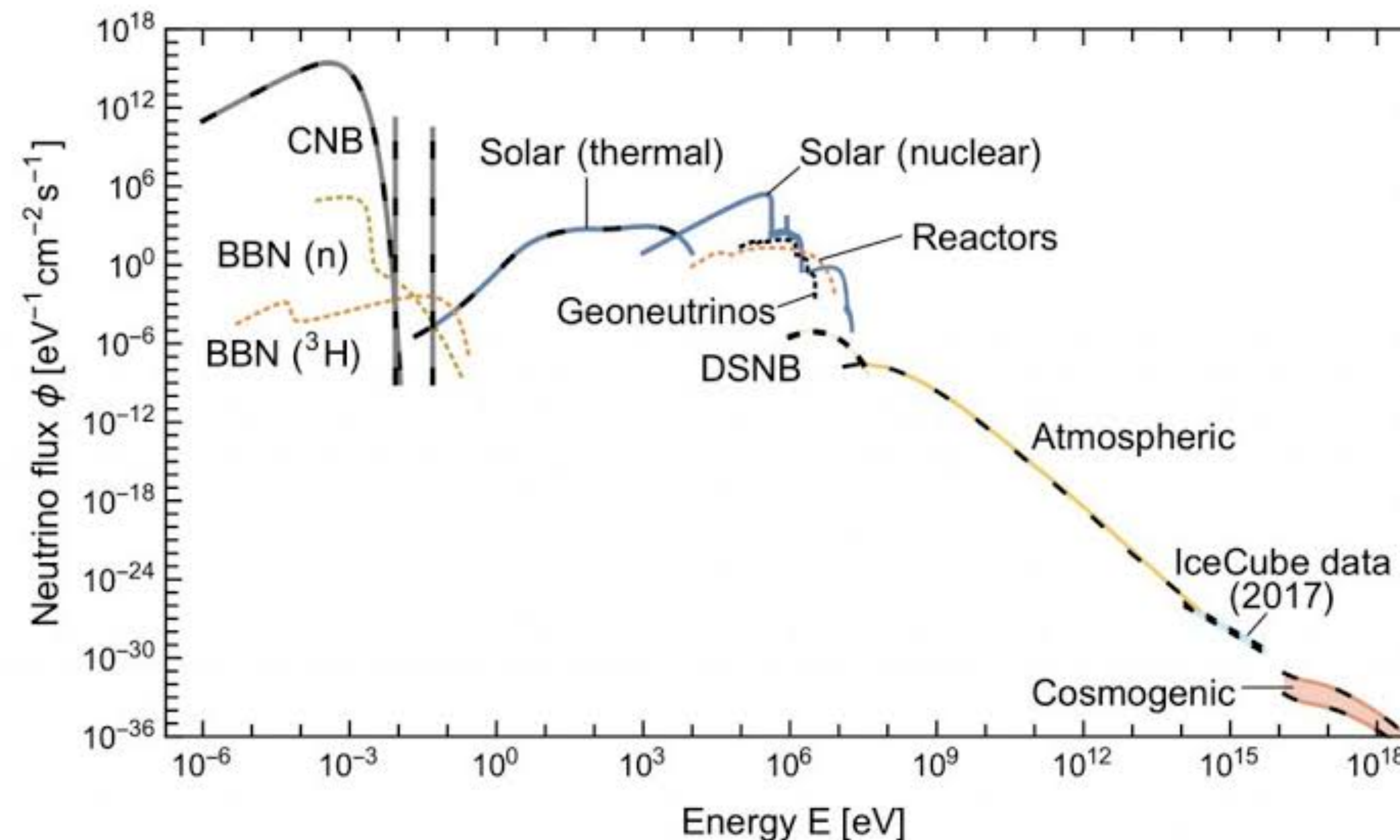
[pdf](#) [links](#) [cite](#) [claim](#) [reference search](#) [5 citations](#)

Física de neutrinos é uma área quente!

**Neutrinos são a segunda partícula
mais abundante do universo.**

Física de neutrinos é uma área quente!

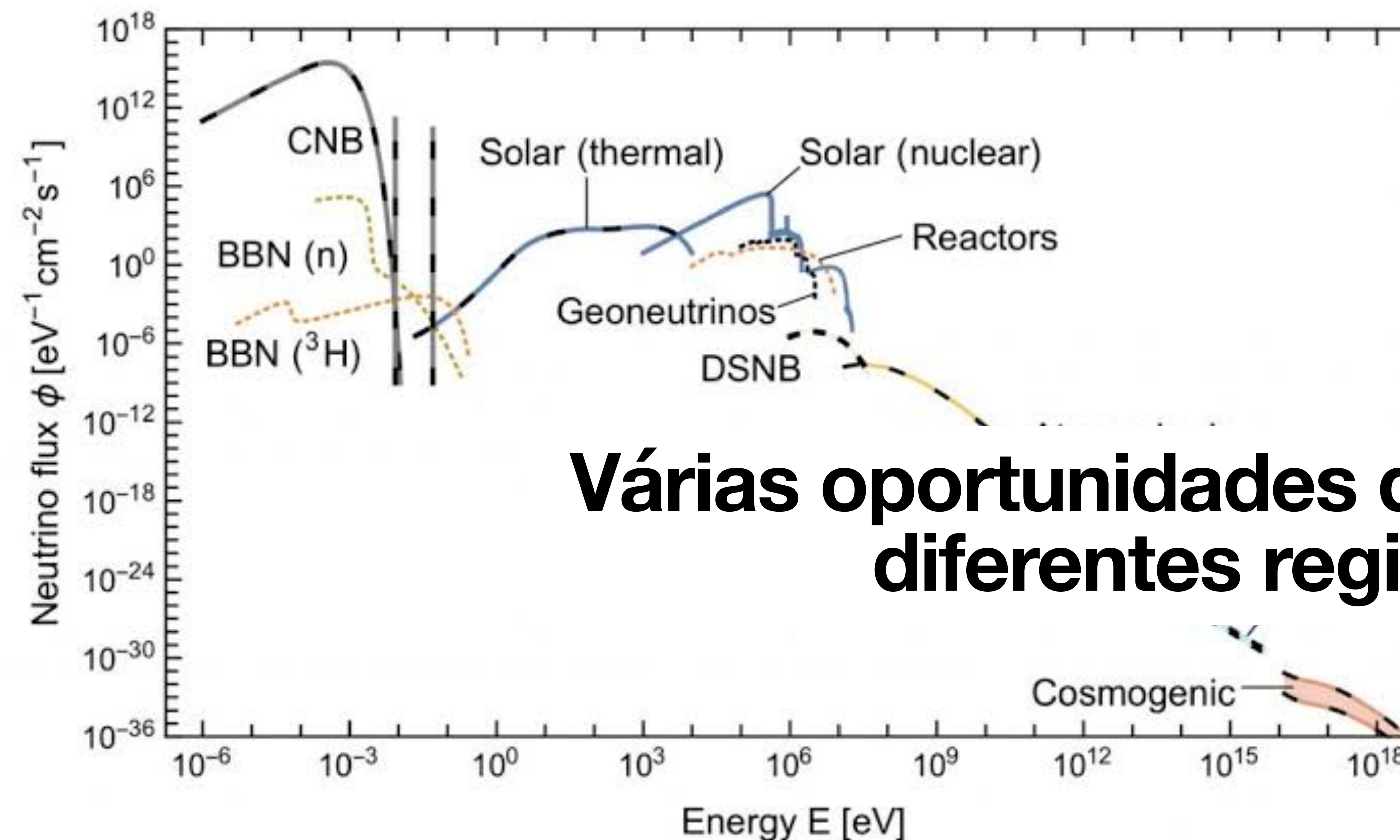
Produzidos em diferentes energias,
cobrindo 24 ordens de magnitude!



arxiv:1910.11878

Física de neutrinos é uma área quente!

Produzidos em diferentes energias,
cobrindo 24 ordens de magnitude!



Várias oportunidades de estudo em
diferentes regimes!

arxiv:1910.11878

Física de neutrinos é uma área quente!

Podemos estudar a terra

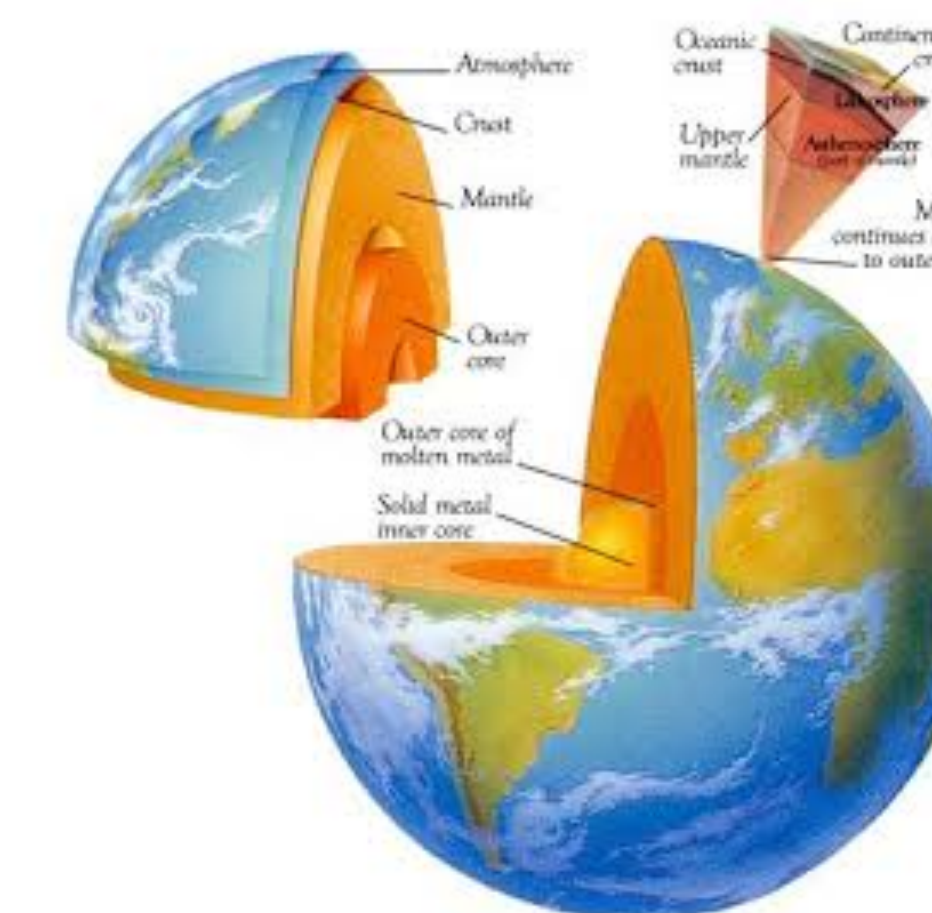
What are Geoneutrinos?

the antineutrinos produced by natural radioactivity in the Earth

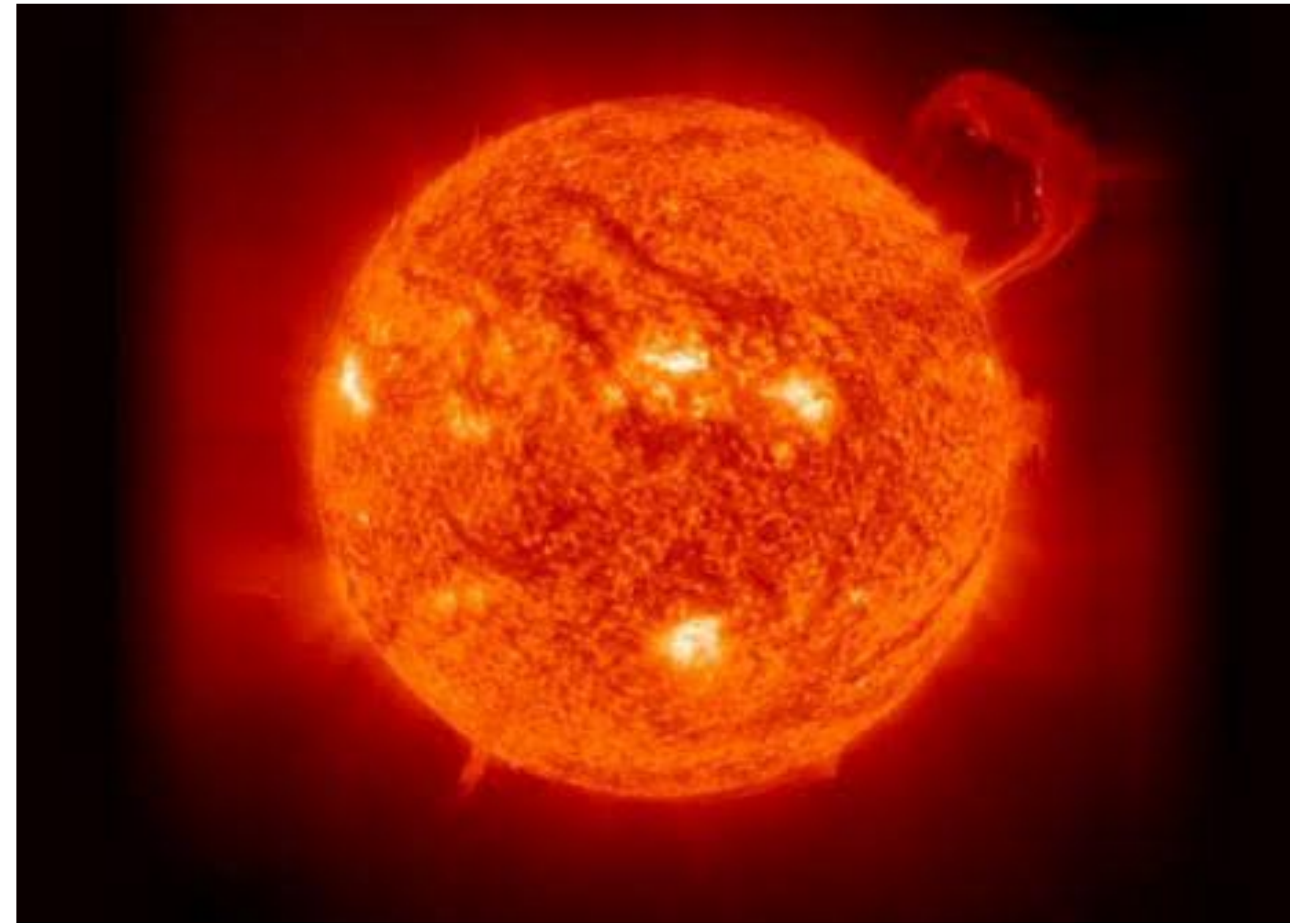
radioactive decay of
uranium, thorium and
from potassium-40
produces antineutrinos

$$\bar{\nu}_e$$

assay the entire Earth by
looking at its “neutrino glow”



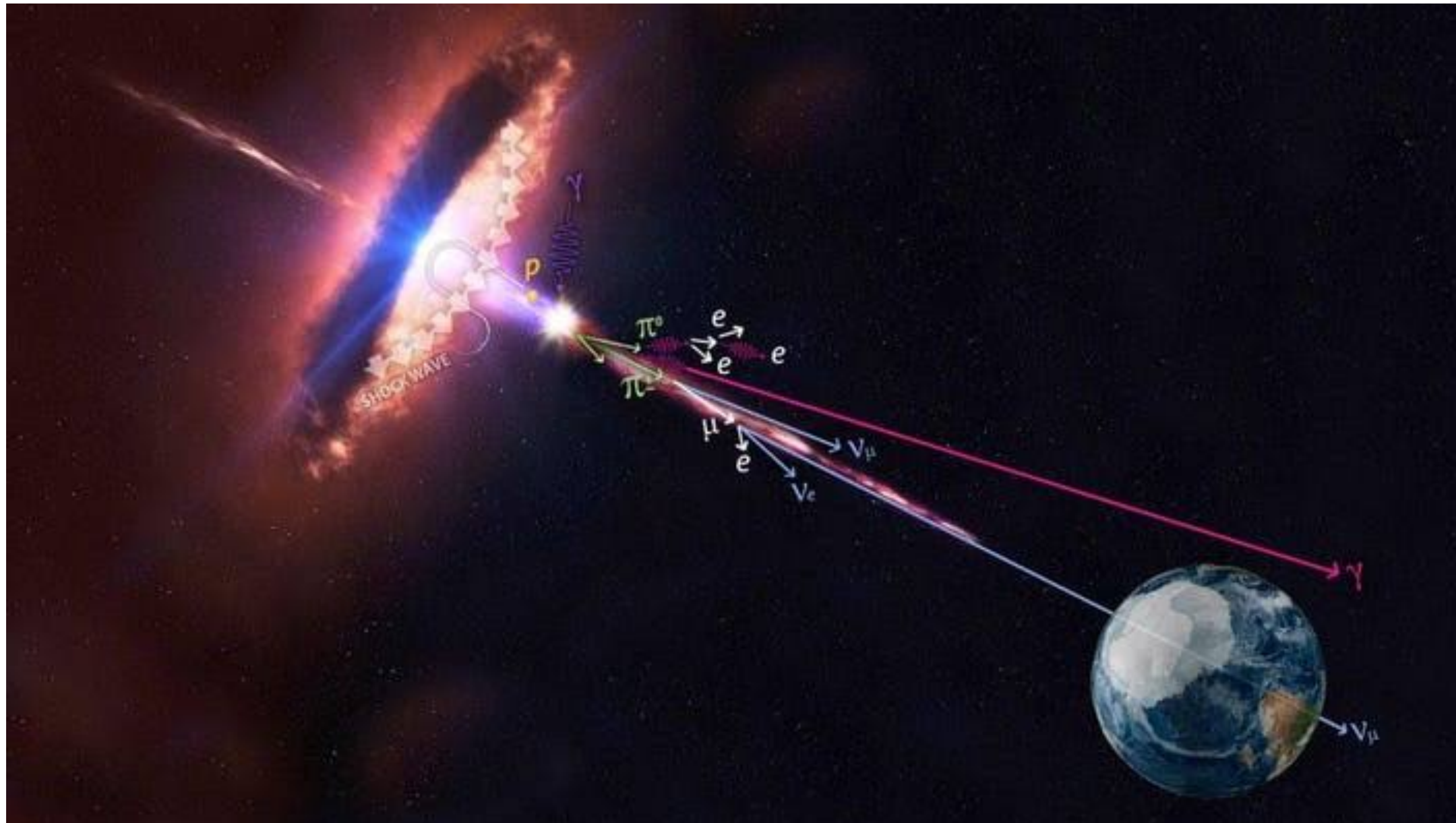
Física de neutrinos é uma área quente!



Podemos estudar o interior do Sol!

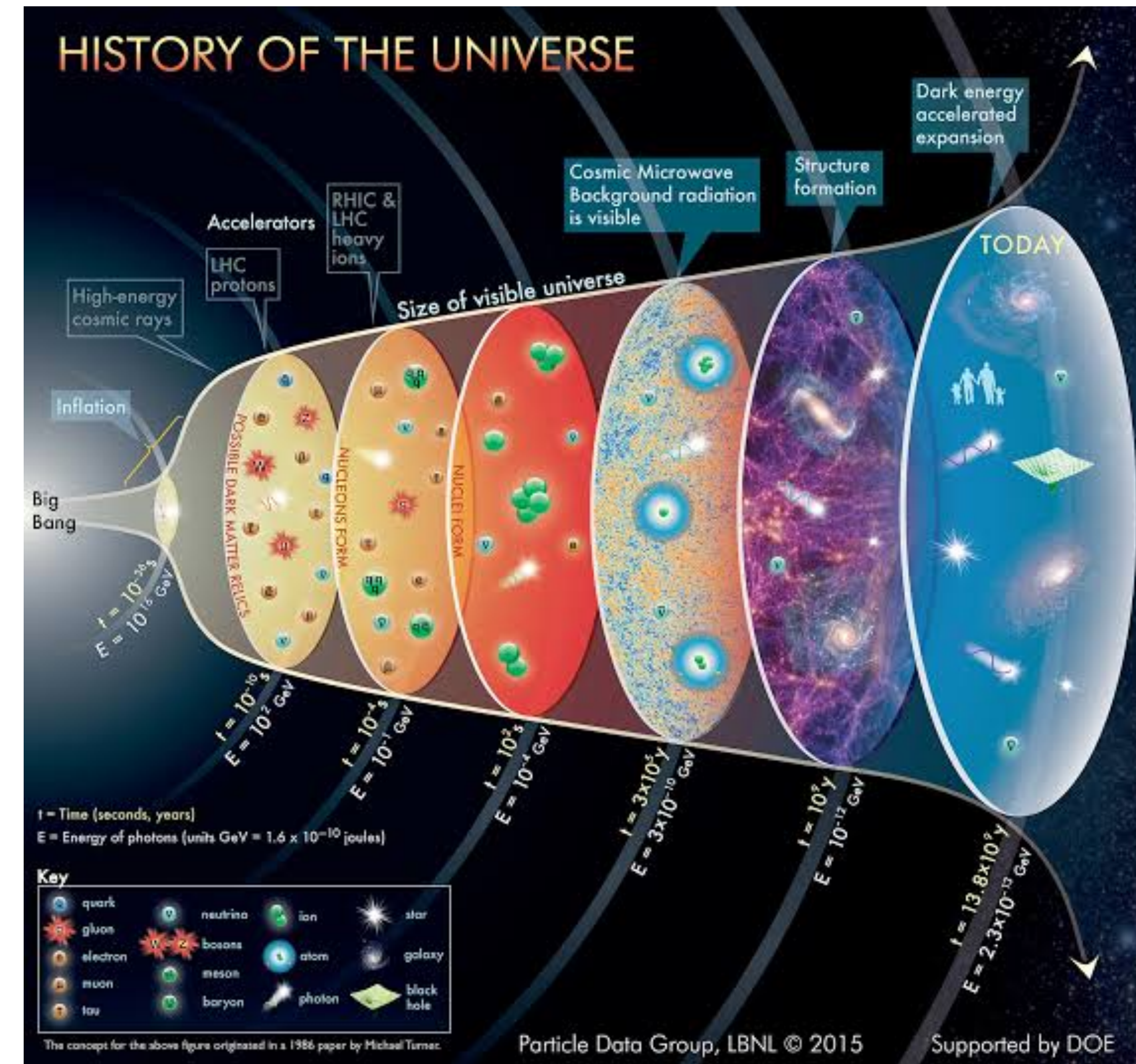
Física de neutrinos é uma área quente!

Amplamente produzidos nos eventos
mais energéticos do universo



Física de neutrinos é uma área quente!

Desempenham um papel importante na evolução do universo



Física de neutrinos é uma área quente!

Article | [Open access](#) | Published: 12 February 2025

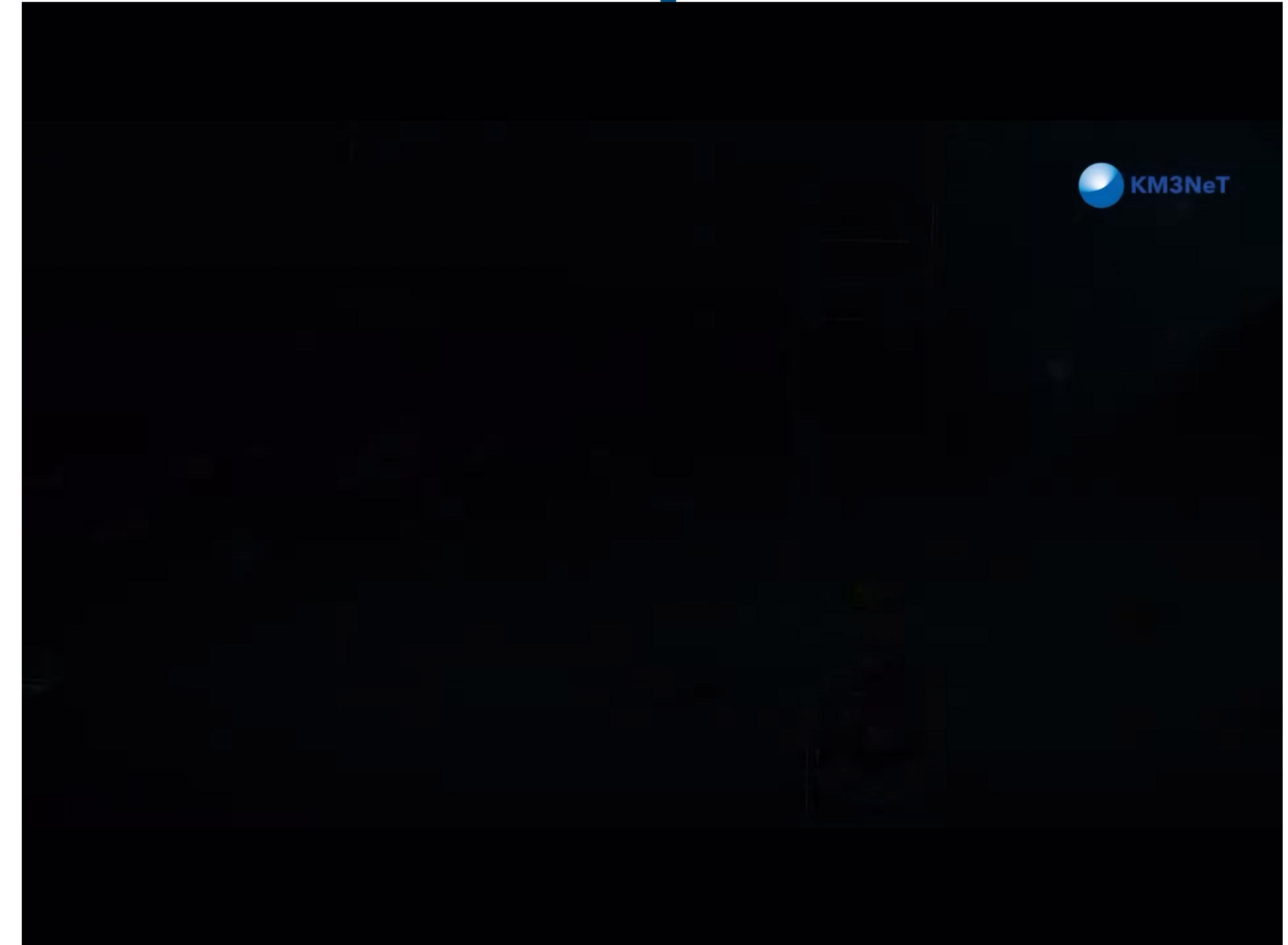
Observation of an ultra-high-energy cosmic neutrino with KM3NeT

[The KM3NeT Collaboration](#)

[Nature](#) **638**, 376–382 (2025) | [Cite this article](#)

133k Accesses | **33** Citations | **1632** Altmetric | [Metrics](#)

Física de neutrinos é uma área quente!

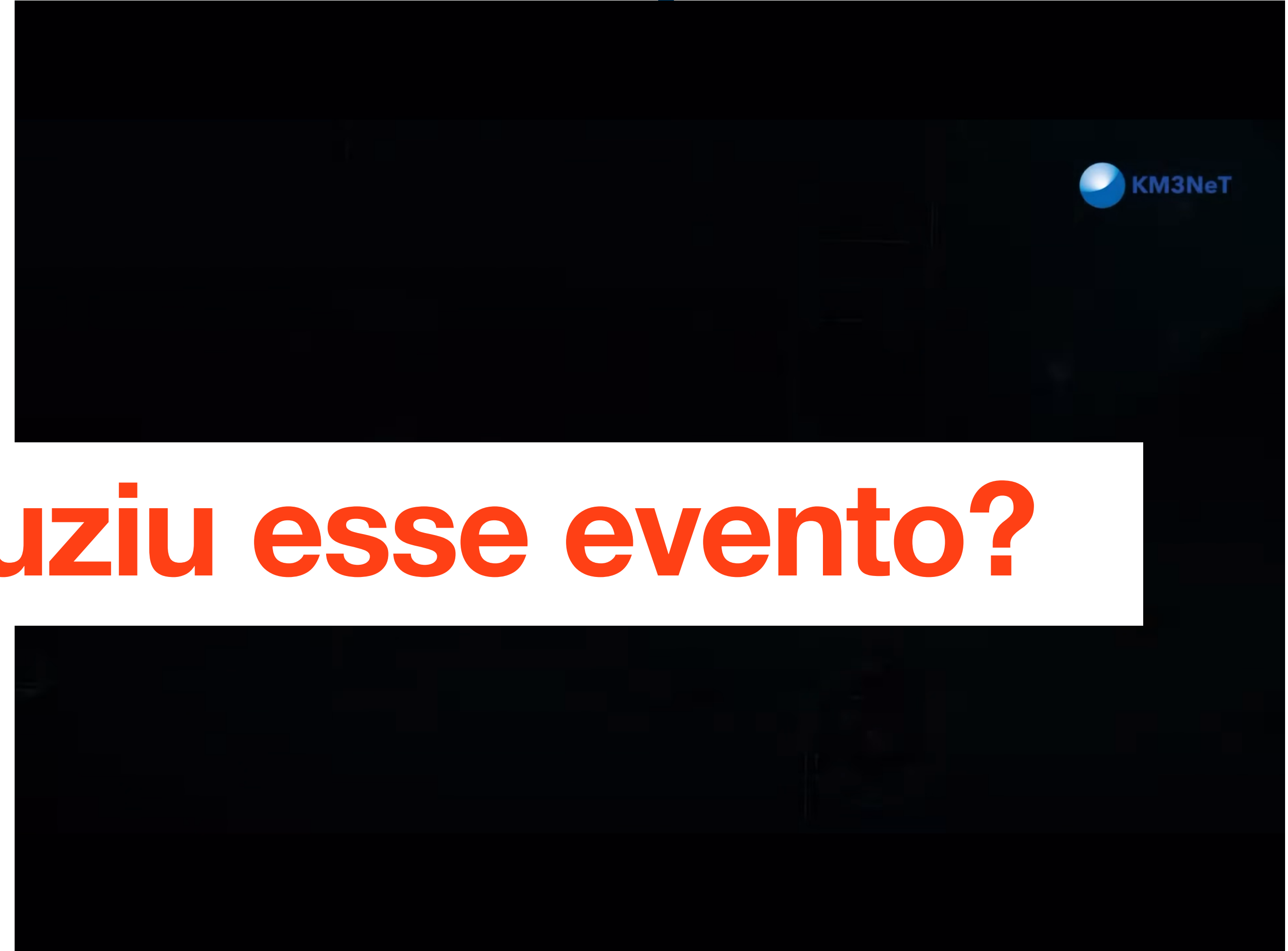


“The signal of the most energetic elementary particle ever observed.”

Física de neutrinos é uma área quente!

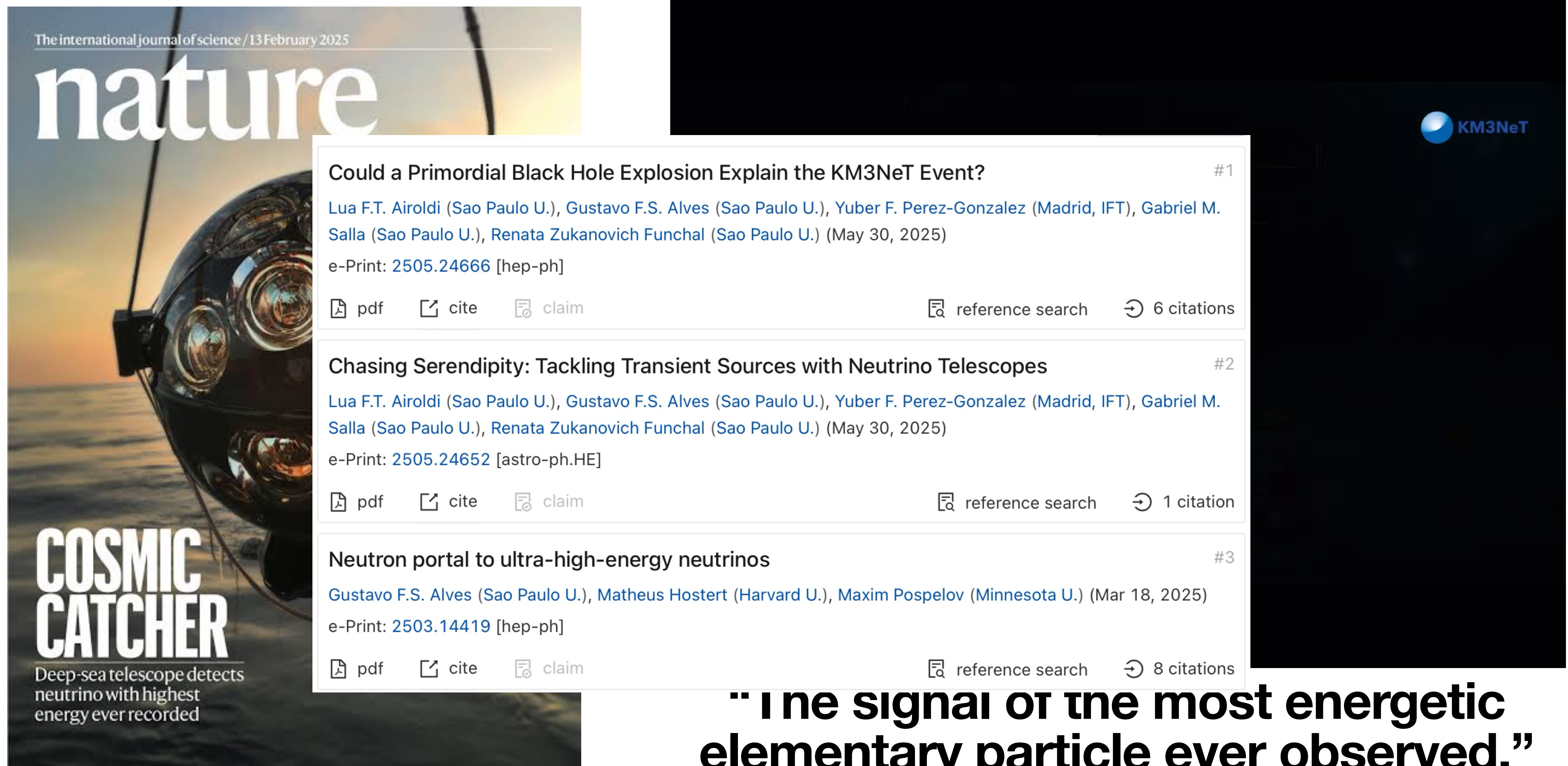


O que produziu esse evento?



“The signal of the most energetic elementary particle ever observed.”

Física de neutrinos é uma área quente!



The international journal of science / 13 February 2025

nature

KM3NeT

Could a Primordial Black Hole Explosion Explain the KM3NeT Event? #1

Lua F.T. Airoldi (Sao Paulo U.), Gustavo F.S. Alves (Sao Paulo U.), Yuber F. Perez-Gonzalez (Madrid, IFT), Gabriel M. Salla (Sao Paulo U.), Renata Zukanovich Funchal (Sao Paulo U.) (May 30, 2025)

e-Print: [2505.24666](#) [hep-ph]

[pdf](#) [cite](#) [claim](#) [reference search](#) [6 citations](#)

Chasing Serendipity: Tackling Transient Sources with Neutrino Telescopes #2

Lua F.T. Airoldi (Sao Paulo U.), Gustavo F.S. Alves (Sao Paulo U.), Yuber F. Perez-Gonzalez (Madrid, IFT), Gabriel M. Salla (Sao Paulo U.), Renata Zukanovich Funchal (Sao Paulo U.) (May 30, 2025)

e-Print: [2505.24652](#) [astro-ph.HE]

[pdf](#) [cite](#) [claim](#) [reference search](#) [1 citation](#)

Neutron portal to ultra-high-energy neutrinos #3

Gustavo F.S. Alves (Sao Paulo U.), Matheus Hostert (Harvard U.), Maxim Pospelov (Minnesota U.) (Mar 18, 2025)

e-Print: [2503.14419](#) [hep-ph]

[pdf](#) [cite](#) [claim](#) [reference search](#) [8 citations](#)

“The signal of the most energetic elementary particle ever observed.”

Física de neutrinos é uma área quente!

The JUNO (Jiangmen Underground Neutrino Observatory) experiment, a major neutrino research facility in China, is scheduled to begin operating in the latter half of 2025. Its primary goal is to determine the neutrino mass ordering by measuring the energy spectrum of reactor neutrinos with high precision, [according to Science News](#). The experiment is lo-



Uma das perguntas mais velhas da humanidade

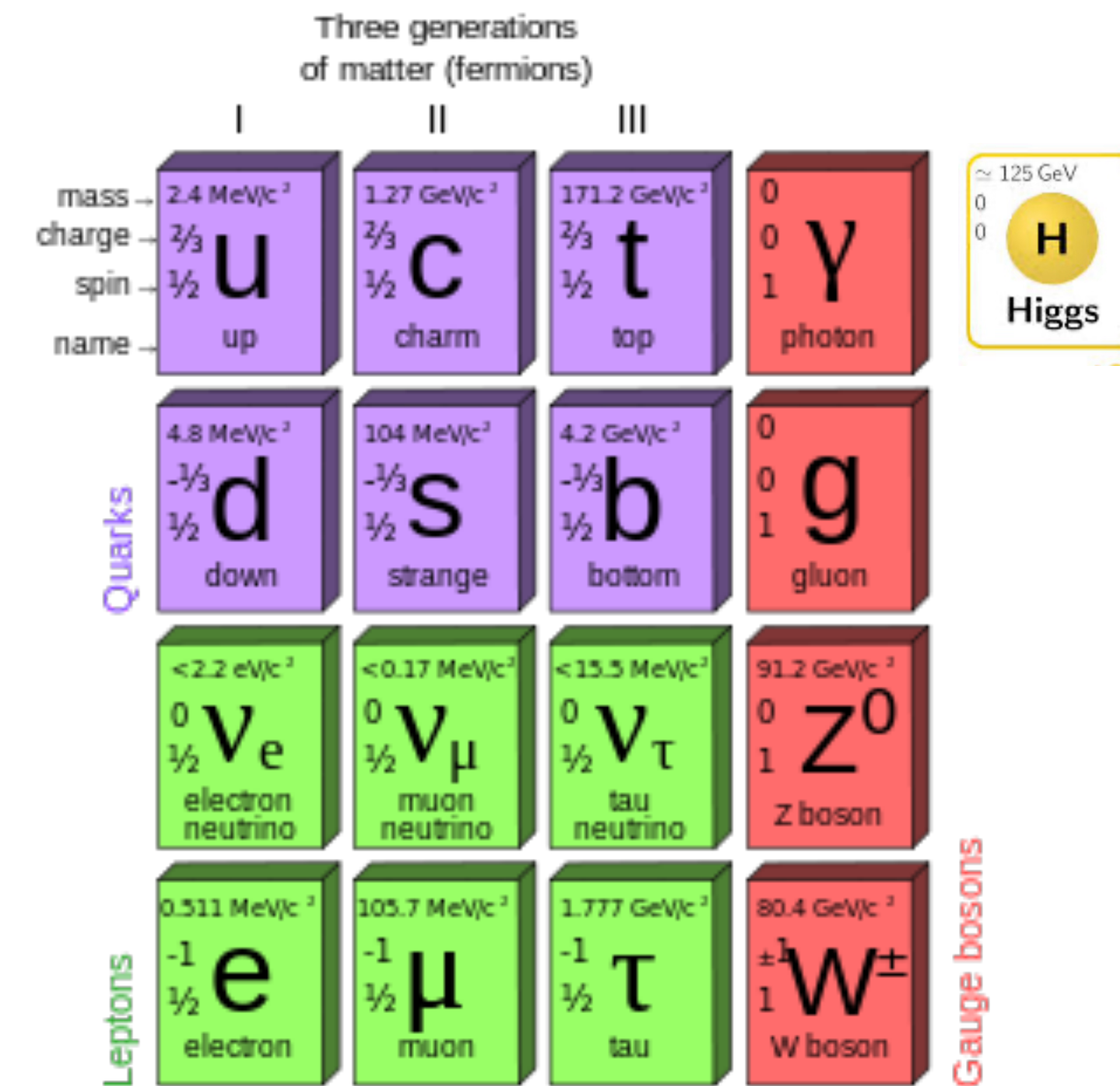
Uma das perguntas mais velhas da humanidade

Do que as coisas são feitas?

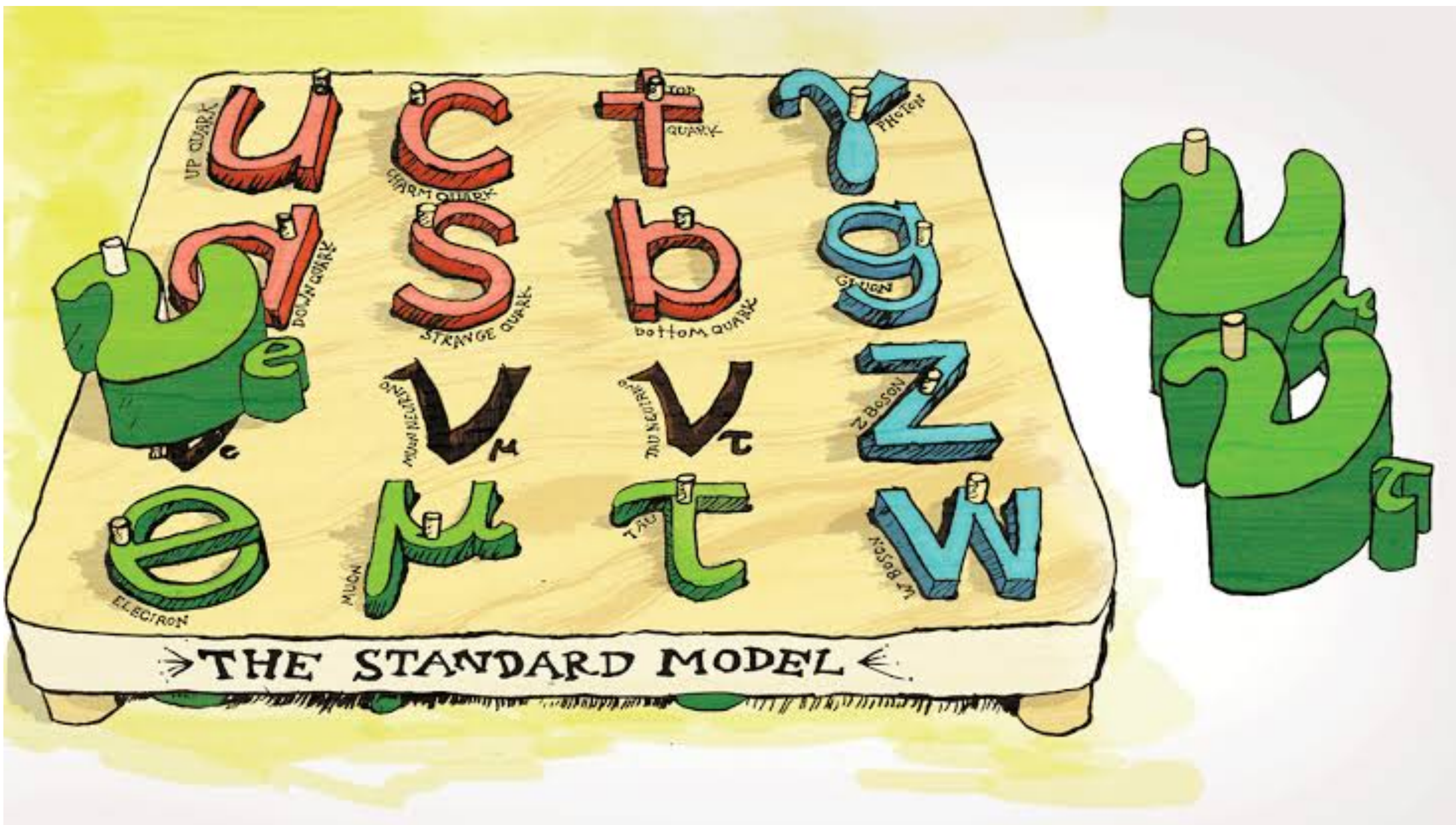
Uma das perguntas mais velhas da humanidade

Do que as coisas são feitas?

Nossa melhor resposta
até o momento:



Neutrinos são fundamentais para progredir nessa caminhada!



Neutrinos são fundamentais para progredir nessa caminhada!

